



AMMINISTRAZIONE PROVINCIALE DI SIENA

Settore Servizi Tecnici - Servizio Viabilità

PROGETTO

SISTEMAZIONE MOVIMENTO FRANOSO S.P. 35C
"DI RADICONDOLI" IN LOC. LE CELLE

PROGETTO DEFINITIVO - ESECUTIVO

ELABORATO

FASCICOLO DEI CALCOLI ESECUTIVI
DELLE OPERE DI CONSOLIDAMENTO
DEL MURO IN PIETRA ESISTENTE

ENTE ATTUATORE

AMMINISTRAZIONE PROVINCIALE DI SIENA

Settore Servizi Tecnici - Servizio Viabilità

Piazza Duomo, 9 - 53100 Siena (SI)

RESPONSABILE UNICO DEL PROCEDIMENTO

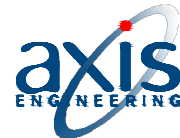
Dott. Arch. Maria Elena Di Trolio

UBICAZIONE

Comune di Radicondoli

S.P. 35C "di Radicondoli"

PROGETTO ED ELABORAZIONE GRAFICA



P R O G E T T I G L O B A L I

Via Alessandria, 55 - 53045 MONTEPULCIANO STAZIONE (SI)

Tel. +39 0578 737010 - Fax +39 0578 737721

E-Mail: info@axisengineering.eu - www.axisengineering.eu

GEOLOGIA

GE.MIN.A

GEOL. RITA NARDI

Geologia e Ingegneria Geotecnica

SPAZIO PER L'ENTE

COMMESSA	PARTE	FASE	SETTORE	VAR	ELABORATO	REV
18017	01	D	INF	0	R11	0
ARCHIVIO			DATA		RAPPORTO	
18017_01_DINF_0R11_0			GENNAIO 2022			
N. REV.	NOTA DI REVISIONE	DATA	REDATTO	CONTROLLATO	APPROVATO	
0	EMISSIONE	03/01/2022	GT	GT	GT	



P R O G E T T I G L O B A L I

Amministrazione Provinciale di Siena

Settore Servizi Tecnici - Servizio Viabilità

Comune di Radicondoli

Provincia di Siena

SISTEMAZIONE MOVIMENTO FRANOSO S.P. 35C

"DI RADICONDOLI" IN LOC. LE CELLE

PROGETTO DEFINITIVO - ESECUTIVO

**FASCICOLO DEI CALCOLI ESECUTIVI
DELLE OPERE DI CONSOLIDAMENTO DEL MURO IN PIETRA ESISTENTE**

Indice

Dati	3
Descrizione sezioni	3
Geometria tratti	3
Geometria pali.....	4
Geometria cordoli	6
Caratteristiche Nodi	6
Descrizione Elementi	10
Normativa.....	14
Carichi sul profilo	14
Carichi sulla paratia	15
<i>Simbologia adottata</i>	15
Elenco condizioni	15
Descrizione combinazioni di carico	15
Stratigrafia	16
Opzioni di calcolo	17
Impostazioni verifiche SLU	18
Risultati pali	19
Risultati cordoli.....	68
Risultati stabilità globale.....	71

Dati

Materiali impiegati

Calcestruzzo armato

Simbologia adottata

Descrizione	Descrizione del materiale
R _{ck}	Resistenza cubica caratteristica, espressa in [kPa]
E _c	Modulo elastico, espresso in [kPa]
γ	Peso specifico, espresso in [kN/mc]
n	Coeff. di omogenizzazione cls tesoro/compresso
α	coefficiente di dilatazione termica
Acciaio	Tipo di acciaio utilizzato per il c.a.

Descrizione	R _{ck}	E _c	γ	n	α	Acciaio
C32/40	40000	33642648	24,52	1.00	0,0000120	B450C
C25/30	30000	31447048	24,52	1.00	0,0000120	B450C

Acciaio per cemento armato

Simbologia adottata

Descrizione	Descrizione del materiale
σ _y	tensione di snervamento espressa in [kPa]
σ _r	tensione di rottura espressa in [kPa]
k	Fattore di incrudimento acciaio
ε _{uk}	Deformazione limite a rottura
ε _{ud}	Deformazione limite di progetto

Descrizione	σ _y	σ _r	k	ε _{uk}	ε _{ud}
B450C	450000	540000	0.000	0.07500	0.06750
B450C	450000	540000	0.000	0.07500	0.06750

Descrizione sezioni

Sezione n° 1

Descrizione **Sezione cordolo**

Sezione n° 2

Descrizione **Circolare D=24**

Tipo	Sezione circolare	
Diametro	D	0,2400 [m]
Area	A	0,045239 [mq]
Momento d'inerzia	Jz	0,0001628602 [m ⁴]
Fattore di taglio	χ	1.20

Geometria tratti

Simbologia adottata

It	Tratto della paratia
Xi, Xf	Ascissa iniziale e finale del tratto in pianta, espresse in [m]
Yi, Yf	Ordinata iniziale e finale del tratto in pianta, espresse in [m]
Z _{T, pi} , Z _{B, pi}	Quota testa e base paratia nel punto iniziale del tratto, espresse in [m]
Z _{T, pf} , Z _{B, pf}	Quota testa e base paratia nel punto finale del tratto, espresse in [m]
Z _{sc, pi} , Z _{sc, pf}	Altezza fondo scavo paratia nel punto iniziale e finale del tratto, espresse in [m]
L	Lunghezza del tratto, espressa in [m]
α	Inclinazione del tratto nel piano, espresso in [°]

It	Xi	Yi	Z _{T, pi}	Z _{B, pi}	Z _{sc, pi}	Xf	Yf	Z _{T, pf}	Z _{B, pf}	Z _{sc, pf}	L	α
1	0,00	0,00	12,00	0,00	11,00	22,00	0,00	12,00	0,00	7,50	22,00	0,00
2	22,00	0,00	12,00	0,00	7,50	35,00	0,00	12,00	0,00	11,00	13,00	0,00

Geometria pali

Simbologia adottata

It	Tratto della paratia
XI	Ascissa palo locale al tratto, espresse in [m]
YI	Ordinata palo locale al tratto, espresse in [m]
Alpha	Inclinazione palo rispetto al piano verticale del tratto, espresse in [°]
Sezione	Sezione del palo
Materiale	Materiale della sezione del palo
Posizione	Posizione del palo sul tratto (Centrale, Laterale, Angolare, Isolato)
Is	Interasse spinta

It	XI	YI	Alpha	Sezione	Materiale	Posizione	Is
1	0,50	-0,37	0.00	Circolare D=24	C25/30	Laterale	0.75
1	1,00	-0,97	30.00	Circolare D=24	C25/30	Centrale	0.50
1	1,50	-0,37	0.00	Circolare D=24	C25/30	Centrale	0.50
1	2,00	-0,97	30.00	Circolare D=24	C25/30	Centrale	0.50
1	2,50	-0,37	0.00	Circolare D=24	C25/30	Centrale	0.50
1	3,00	-0,97	30.00	Circolare D=24	C25/30	Centrale	0.50
1	3,50	-0,37	0.00	Circolare D=24	C25/30	Centrale	0.50
1	4,00	-0,97	30.00	Circolare D=24	C25/30	Centrale	0.50
1	4,50	-0,37	0.00	Circolare D=24	C25/30	Centrale	0.50
1	5,00	-0,97	30.00	Circolare D=24	C25/30	Centrale	0.50
1	5,50	-0,37	0.00	Circolare D=24	C25/30	Centrale	0.50
1	6,00	-0,97	30.00	Circolare D=24	C25/30	Centrale	0.50
1	6,50	-0,37	0.00	Circolare D=24	C25/30	Centrale	0.50
1	7,00	-0,97	30.00	Circolare D=24	C25/30	Centrale	0.50
1	7,50	-0,37	0.00	Circolare D=24	C25/30	Centrale	0.50
1	8,00	-0,97	30.00	Circolare D=24	C25/30	Centrale	0.50
1	8,50	-0,37	0.00	Circolare D=24	C25/30	Centrale	0.50
1	9,00	-0,97	30.00	Circolare D=24	C25/30	Centrale	0.50
1	9,50	-0,37	0.00	Circolare D=24	C25/30	Centrale	0.50
1	10,00	-0,97	30.00	Circolare D=24	C25/30	Centrale	0.50
1	10,50	-0,37	0.00	Circolare D=24	C25/30	Centrale	0.50
1	11,00	-0,97	30.00	Circolare D=24	C25/30	Centrale	0.50
1	11,50	-0,37	0.00	Circolare D=24	C25/30	Centrale	0.50
1	12,00	-0,97	30.00	Circolare D=24	C25/30	Centrale	0.50
1	12,50	-0,37	0.00	Circolare D=24	C25/30	Centrale	0.50
1	13,00	-0,97	30.00	Circolare D=24	C25/30	Centrale	0.50
1	13,50	-0,37	0.00	Circolare D=24	C25/30	Centrale	0.50
1	14,00	-0,97	30.00	Circolare D=24	C25/30	Centrale	0.50
1	14,50	-0,37	0.00	Circolare D=24	C25/30	Centrale	0.50
1	15,00	-0,97	30.00	Circolare D=24	C25/30	Centrale	0.50
1	15,50	-0,37	0.00	Circolare D=24	C25/30	Centrale	0.50
1	16,00	-0,97	30.00	Circolare D=24	C25/30	Centrale	0.50
1	16,50	-0,37	0.00	Circolare D=24	C25/30	Centrale	0.50
1	17,00	-0,97	30.00	Circolare D=24	C25/30	Centrale	0.50
1	17,50	-0,37	0.00	Circolare D=24	C25/30	Centrale	0.50
1	18,00	-0,97	30.00	Circolare D=24	C25/30	Centrale	0.50
1	18,50	-0,37	0.00	Circolare D=24	C25/30	Centrale	0.50
1	19,00	-0,97	30.00	Circolare D=24	C25/30	Centrale	0.50
1	19,50	-0,37	0.00	Circolare D=24	C25/30	Centrale	0.50
1	20,00	-0,97	30.00	Circolare D=24	C25/30	Centrale	0.50
1	20,50	-0,37	0.00	Circolare D=24	C25/30	Centrale	0.50
1	21,00	-0,97	30.00	Circolare D=24	C25/30	Centrale	0.50
1	21,50	-0,37	0.00	Circolare D=24	C25/30	Angolare	0.75
2	0,50	-0,37	0.00	Circolare D=24	C25/30	Angolare	0.75
2	1,00	-0,97	30.00	Circolare D=24	C25/30	Centrale	0.50
2	1,50	-0,37	0.00	Circolare D=24	C25/30	Centrale	0.50
2	2,00	-0,97	30.00	Circolare D=24	C25/30	Centrale	0.50
2	2,50	-0,37	0.00	Circolare D=24	C25/30	Centrale	0.50
2	3,00	-0,97	30.00	Circolare D=24	C25/30	Centrale	0.50
2	3,50	-0,37	0.00	Circolare D=24	C25/30	Centrale	0.50
2	4,00	-0,97	30.00	Circolare D=24	C25/30	Centrale	0.50
2	4,50	-0,37	0.00	Circolare D=24	C25/30	Centrale	0.50
2	5,00	-0,97	30.00	Circolare D=24	C25/30	Centrale	0.50
2	5,50	-0,37	0.00	Circolare D=24	C25/30	Centrale	0.50
2	6,00	-0,97	30.00	Circolare D=24	C25/30	Centrale	0.50
2	6,50	-0,37	0.00	Circolare D=24	C25/30	Centrale	0.50
2	7,00	-0,97	30.00	Circolare D=24	C25/30	Centrale	0.50
2	7,50	-0,37	0.00	Circolare D=24	C25/30	Centrale	0.50
2	8,00	-0,97	30.00	Circolare D=24	C25/30	Centrale	0.50
2	8,50	-0,37	0.00	Circolare D=24	C25/30	Centrale	0.50
2	9,00	-0,97	30.00	Circolare D=24	C25/30	Centrale	0.50

2	9,50	-0,37	0.00	Circolare D=24	C25/30	Centrale	0.50
2	10,00	-0,97	30.00	Circolare D=24	C25/30	Centrale	0.50
2	10,50	-0,37	0.00	Circolare D=24	C25/30	Centrale	0.50
2	11,00	-0,97	30.00	Circolare D=24	C25/30	Centrale	0.50
2	11,50	-0,37	0.00	Circolare D=24	C25/30	Centrale	0.50
2	12,00	-0,97	30.00	Circolare D=24	C25/30	Centrale	0.50
2	12,50	-0,37	0.00	Circolare D=24	C25/30	Laterale	0.75

Opzioni spinta e resistenza

Simbologia adottata

- SA Spinta attiva sul palo (automatica = interasse di lavoro del palo, imposta da utente, nulla)
- LI Interasse di spinta se imposto da utente, espresso in [m]
- RPV Resistenza passiva da valle sul palo (automatica = proiezione del palo sul tratto, imposta da utente, nulla)
- APV Aliquota di resistenza passiva da valle se imposta da utente, è adimensionale, espressa in relazione all'ingombro del palo
- RPM Resistenza passiva da monte sul palo (automatica = proiezione del palo sul tratto, imposta da utente, nulla)
- APM Aliquota di resistenza passiva da monte se imposta da utente, è adimensionale, espressa in relazione all'ingombro del palo

It	XI	YI	SA	LI	RPV	APV	RPM	APM
1	0,50	-0,37	Automatica	--	Automatica	--	Automatica	--
1	1,00	-0,97	Automatica	--	Automatica	--	Automatica	--
1	1,50	-0,37	Automatica	--	Automatica	--	Automatica	--
1	2,00	-0,97	Automatica	--	Automatica	--	Automatica	--
1	2,50	-0,37	Automatica	--	Automatica	--	Automatica	--
1	3,00	-0,97	Automatica	--	Automatica	--	Automatica	--
1	3,50	-0,37	Automatica	--	Automatica	--	Automatica	--
1	4,00	-0,97	Automatica	--	Automatica	--	Automatica	--
1	4,50	-0,37	Automatica	--	Automatica	--	Automatica	--
1	5,00	-0,97	Automatica	--	Automatica	--	Automatica	--
1	5,50	-0,37	Automatica	--	Automatica	--	Automatica	--
1	6,00	-0,97	Automatica	--	Automatica	--	Automatica	--
1	6,50	-0,37	Automatica	--	Automatica	--	Automatica	--
1	7,00	-0,97	Automatica	--	Automatica	--	Automatica	--
1	7,50	-0,37	Automatica	--	Automatica	--	Automatica	--
1	8,00	-0,97	Automatica	--	Automatica	--	Automatica	--
1	8,50	-0,37	Automatica	--	Automatica	--	Automatica	--
1	9,00	-0,97	Automatica	--	Automatica	--	Automatica	--
1	9,50	-0,37	Automatica	--	Automatica	--	Automatica	--
1	10,00	-0,97	Automatica	--	Automatica	--	Automatica	--
1	10,50	-0,37	Automatica	--	Automatica	--	Automatica	--
1	11,00	-0,97	Automatica	--	Automatica	--	Automatica	--
1	11,50	-0,37	Automatica	--	Automatica	--	Automatica	--
1	12,00	-0,97	Automatica	--	Automatica	--	Automatica	--
1	12,50	-0,37	Automatica	--	Automatica	--	Automatica	--
1	13,00	-0,97	Automatica	--	Automatica	--	Automatica	--
1	13,50	-0,37	Automatica	--	Automatica	--	Automatica	--
1	14,00	-0,97	Automatica	--	Automatica	--	Automatica	--
1	14,50	-0,37	Automatica	--	Automatica	--	Automatica	--
1	15,00	-0,97	Automatica	--	Automatica	--	Automatica	--
1	15,50	-0,37	Automatica	--	Automatica	--	Automatica	--
1	16,00	-0,97	Automatica	--	Automatica	--	Automatica	--
1	16,50	-0,37	Automatica	--	Automatica	--	Automatica	--
1	17,00	-0,97	Automatica	--	Automatica	--	Automatica	--
1	17,50	-0,37	Automatica	--	Automatica	--	Automatica	--
1	18,00	-0,97	Automatica	--	Automatica	--	Automatica	--
1	18,50	-0,37	Automatica	--	Automatica	--	Automatica	--
1	19,00	-0,97	Automatica	--	Automatica	--	Automatica	--
1	19,50	-0,37	Automatica	--	Automatica	--	Automatica	--
1	20,00	-0,97	Automatica	--	Automatica	--	Automatica	--
1	20,50	-0,37	Automatica	--	Automatica	--	Automatica	--
1	21,00	-0,97	Automatica	--	Automatica	--	Automatica	--
1	21,50	-0,37	Automatica	--	Automatica	--	Automatica	--
2	0,50	-0,37	Automatica	--	Automatica	--	Automatica	--
2	1,00	-0,97	Automatica	--	Automatica	--	Automatica	--
2	1,50	-0,37	Automatica	--	Automatica	--	Automatica	--
2	2,00	-0,97	Automatica	--	Automatica	--	Automatica	--
2	2,50	-0,37	Automatica	--	Automatica	--	Automatica	--
2	3,00	-0,97	Automatica	--	Automatica	--	Automatica	--
2	3,50	-0,37	Automatica	--	Automatica	--	Automatica	--
2	4,00	-0,97	Automatica	--	Automatica	--	Automatica	--
2	4,50	-0,37	Automatica	--	Automatica	--	Automatica	--
2	5,00	-0,97	Automatica	--	Automatica	--	Automatica	--
2	5,50	-0,37	Automatica	--	Automatica	--	Automatica	--
2	6,00	-0,97	Automatica	--	Automatica	--	Automatica	--
2	6,50	-0,37	Automatica	--	Automatica	--	Automatica	--

2	7,00	-0,97	Automatica	--	Automatica	--	Automatica	--
2	7,50	-0,37	Automatica	--	Automatica	--	Automatica	--
2	8,00	-0,97	Automatica	--	Automatica	--	Automatica	--
2	8,50	-0,37	Automatica	--	Automatica	--	Automatica	--
2	9,00	-0,97	Automatica	--	Automatica	--	Automatica	--
2	9,50	-0,37	Automatica	--	Automatica	--	Automatica	--
2	10,00	-0,97	Automatica	--	Automatica	--	Automatica	--
2	10,50	-0,37	Automatica	--	Automatica	--	Automatica	--
2	11,00	-0,97	Automatica	--	Automatica	--	Automatica	--
2	11,50	-0,37	Automatica	--	Automatica	--	Automatica	--
2	12,00	-0,97	Automatica	--	Automatica	--	Automatica	--
2	12,50	-0,37	Automatica	--	Automatica	--	Automatica	--

Geometria cordoli

Simbologia adottata

n°	Indice del cordolo
It	Tratto di appartenenza
Xi, Xf	Ascissa iniziale e finale del cordolo, espresse in [m]
Yi, Yf	Quota iniziale e finale del cordolo, espresse in [m]
L	Lunghezza del cordolo, espresa in [m]
α	Inclinazione del cordolo nel suo piano rispetto all'orizzontale, espresso in [°]
Sezione	Descrizione sezione cordolo

Le coordinate sono riferite al sistema di riferimento locale al tratto.

n°	It	Xi	Yi	Xf	Yf	L	α	Sezione
1	1	0,00	12,00	22,00	12,00	22,00	0.00	Sezione cordolo
2	2	0,00	12,00	13,00	12,00	13,00	0.00	Sezione cordolo

Caratteristiche Nodi

Simbologia adottata

n°	identificativo numerico
X, Y, Z	coordinate punto, espresse in [m]
V _x , V _y , V _z	vincolo alla traslazione in direzione x, y e z
V _{ox} , V _{oy} , V _{oz}	vincolo alla rotazione in direzione x, y e z
K _x , K _y , K _z	rigidezza alla traslazione in direzione x, y e z, espresa in [kN/m]
K _{ox} , K _{oy} , K _{oz}	rigidezza alla rotazione in direzione x, y e z, espresa in [kNm/°]
U _x , U _y , U _z	spostamento imposto in direzione x, y e z, espresso in [m]
U _{ox} , U _{oy} , U _{oz}	rotazione imposta in direzione x, y e z, espresa in [°]
Simbologia vincoli	B=Bloccato, L=Liberio, E=Elastico, C=Cedevole

n°	X	Y	Z	V _x (K _x , U _x)	V _y (K _y , U _y)	V _z (K _z , U _z)	V _{ox} (K _{ox} , U _{ox})	V _{oy} (K _{oy} , U _{oy})	V _{oz} (K _{oz} , U _{oz})
1	22,00	0,00	12,00	L	L	L	L	L	L
2	0,00	0,00	12,00	L	L	L	L	L	L
3	35,00	0,00	12,00	L	L	L	L	L	L
4	0,50	-0,37	0,00	L	L	L	L	L	L
5	0,50	-0,37	10,92	L	L	L	L	L	L
6	0,50	-0,37	12,00	L	L	L	L	L	L
7	0,50	0,00	12,00	L	L	L	L	L	L
8	1,50	-0,37	0,00	L	L	L	L	L	L
9	1,50	-0,37	10,76	L	L	L	L	L	L
10	1,50	-0,37	12,00	L	L	L	L	L	L
11	1,50	0,00	12,00	L	L	L	L	L	L
12	2,50	-0,37	0,00	L	L	L	L	L	L
13	2,50	-0,37	10,60	L	L	L	L	L	L
14	2,50	-0,37	12,00	L	L	L	L	L	L
15	2,50	0,00	12,00	L	L	L	L	L	L
16	3,50	-0,37	0,00	L	L	L	L	L	L
17	3,50	-0,37	10,44	L	L	L	L	L	L
18	3,50	-0,37	12,00	L	L	L	L	L	L
19	3,50	0,00	12,00	L	L	L	L	L	L
20	4,50	-0,37	0,00	L	L	L	L	L	L
21	4,50	-0,37	10,28	L	L	L	L	L	L
22	4,50	-0,37	12,00	L	L	L	L	L	L
23	4,50	0,00	12,00	L	L	L	L	L	L
24	5,50	-0,37	0,00	L	L	L	L	L	L
25	5,50	-0,37	10,13	L	L	L	L	L	L
26	5,50	-0,37	12,00	L	L	L	L	L	L
27	5,50	0,00	12,00	L	L	L	L	L	L

28	6,50	-0,37	0,00	L	L	L	L	L	L
29	6,50	-0,37	9,97	L	L	L	L	L	L
30	6,50	-0,37	12,00	L	L	L	L	L	L
31	6,50	0,00	12,00	L	L	L	L	L	L
32	7,50	-0,37	0,00	L	L	L	L	L	L
33	7,50	-0,37	9,81	L	L	L	L	L	L
34	7,50	-0,37	12,00	L	L	L	L	L	L
35	7,50	0,00	12,00	L	L	L	L	L	L
36	8,50	-0,37	0,00	L	L	L	L	L	L
37	8,50	-0,37	9,65	L	L	L	L	L	L
38	8,50	-0,37	12,00	L	L	L	L	L	L
39	8,50	0,00	12,00	L	L	L	L	L	L
40	9,50	-0,37	0,00	L	L	L	L	L	L
41	9,50	-0,37	9,49	L	L	L	L	L	L
42	9,50	-0,37	12,00	L	L	L	L	L	L
43	9,50	0,00	12,00	L	L	L	L	L	L
44	10,50	-0,37	0,00	L	L	L	L	L	L
45	10,50	-0,37	9,33	L	L	L	L	L	L
46	10,50	-0,37	12,00	L	L	L	L	L	L
47	10,50	0,00	12,00	L	L	L	L	L	L
48	11,50	-0,37	0,00	L	L	L	L	L	L
49	11,50	-0,37	9,17	L	L	L	L	L	L
50	11,50	-0,37	12,00	L	L	L	L	L	L
51	11,50	0,00	12,00	L	L	L	L	L	L
52	12,50	-0,37	0,00	L	L	L	L	L	L
53	12,50	-0,37	9,01	L	L	L	L	L	L
54	12,50	-0,37	12,00	L	L	L	L	L	L
55	12,50	0,00	12,00	L	L	L	L	L	L
56	13,50	-0,37	0,00	L	L	L	L	L	L
57	13,50	-0,37	8,85	L	L	L	L	L	L
58	13,50	-0,37	12,00	L	L	L	L	L	L
59	13,50	0,00	12,00	L	L	L	L	L	L
60	14,50	-0,37	0,00	L	L	L	L	L	L
61	14,50	-0,37	8,69	L	L	L	L	L	L
62	14,50	-0,37	12,00	L	L	L	L	L	L
63	14,50	0,00	12,00	L	L	L	L	L	L
64	15,50	-0,37	0,00	L	L	L	L	L	L
65	15,50	-0,37	8,53	L	L	L	L	L	L
66	15,50	-0,37	12,00	L	L	L	L	L	L
67	15,50	0,00	12,00	L	L	L	L	L	L
68	16,50	-0,37	0,00	L	L	L	L	L	L
69	16,50	-0,37	8,38	L	L	L	L	L	L
70	16,50	-0,37	12,00	L	L	L	L	L	L
71	16,50	0,00	12,00	L	L	L	L	L	L
72	17,50	-0,37	0,00	L	L	L	L	L	L
73	17,50	-0,37	8,22	L	L	L	L	L	L
74	17,50	-0,37	12,00	L	L	L	L	L	L
75	17,50	0,00	12,00	L	L	L	L	L	L
76	18,50	-0,37	0,00	L	L	L	L	L	L
77	18,50	-0,37	8,06	L	L	L	L	L	L
78	18,50	-0,37	12,00	L	L	L	L	L	L
79	18,50	0,00	12,00	L	L	L	L	L	L
80	19,50	-0,37	0,00	L	L	L	L	L	L
81	19,50	-0,37	7,90	L	L	L	L	L	L
82	19,50	-0,37	12,00	L	L	L	L	L	L
83	19,50	0,00	12,00	L	L	L	L	L	L
84	20,50	-0,37	0,00	L	L	L	L	L	L
85	20,50	-0,37	7,74	L	L	L	L	L	L
86	20,50	-0,37	12,00	L	L	L	L	L	L
87	20,50	0,00	12,00	L	L	L	L	L	L
88	21,50	-0,37	0,00	L	L	L	L	L	L
89	21,50	-0,37	7,58	L	L	L	L	L	L
90	21,50	-0,37	12,00	L	L	L	L	L	L
91	21,50	0,00	12,00	L	L	L	L	L	L
92	1,00	-6,97	1,61	L	L	L	L	L	L
93	1,00	-1,55	11,00	L	L	L	L	L	L
94	1,00	-0,97	12,00	L	L	L	L	L	L
95	1,00	0,00	12,00	L	L	L	L	L	L
96	2,00	-6,97	1,61	L	L	L	L	L	L
97	2,00	-1,63	10,86	L	L	L	L	L	L
98	2,00	-0,97	12,00	L	L	L	L	L	L
99	2,00	0,00	12,00	L	L	L	L	L	L
100	3,00	-6,97	1,61	L	L	L	L	L	L

101	3,00	-1,71	10,72	L	L	L	L	L	L
102	3,00	-0,97	12,00	L	L	L	L	L	L
103	3,00	0,00	12,00	L	L	L	L	L	L
104	4,00	-6,97	1,61	L	L	L	L	L	L
105	4,00	-1,79	10,58	L	L	L	L	L	L
106	4,00	-0,97	12,00	L	L	L	L	L	L
107	4,00	0,00	12,00	L	L	L	L	L	L
108	5,00	-6,97	1,61	L	L	L	L	L	L
109	5,00	-1,87	10,45	L	L	L	L	L	L
110	5,00	-0,97	12,00	L	L	L	L	L	L
111	5,00	0,00	12,00	L	L	L	L	L	L
112	6,00	-6,97	1,61	L	L	L	L	L	L
113	6,00	-1,95	10,31	L	L	L	L	L	L
114	6,00	-0,97	12,00	L	L	L	L	L	L
115	6,00	0,00	12,00	L	L	L	L	L	L
116	7,00	-6,97	1,61	L	L	L	L	L	L
117	7,00	-2,03	10,17	L	L	L	L	L	L
118	7,00	-0,97	12,00	L	L	L	L	L	L
119	7,00	0,00	12,00	L	L	L	L	L	L
120	8,00	-6,97	1,61	L	L	L	L	L	L
121	8,00	-2,11	10,03	L	L	L	L	L	L
122	8,00	-0,97	12,00	L	L	L	L	L	L
123	8,00	0,00	12,00	L	L	L	L	L	L
124	9,00	-6,97	1,61	L	L	L	L	L	L
125	9,00	-2,19	9,89	L	L	L	L	L	L
126	9,00	-0,97	12,00	L	L	L	L	L	L
127	9,00	0,00	12,00	L	L	L	L	L	L
128	10,00	-6,97	1,61	L	L	L	L	L	L
129	10,00	-2,27	9,76	L	L	L	L	L	L
130	10,00	-0,97	12,00	L	L	L	L	L	L
131	10,00	0,00	12,00	L	L	L	L	L	L
132	11,00	-6,97	1,61	L	L	L	L	L	L
133	11,00	-2,35	9,62	L	L	L	L	L	L
134	11,00	-0,97	12,00	L	L	L	L	L	L
135	11,00	0,00	12,00	L	L	L	L	L	L
136	12,00	-6,97	1,61	L	L	L	L	L	L
137	12,00	-2,42	9,48	L	L	L	L	L	L
138	12,00	-0,97	12,00	L	L	L	L	L	L
139	12,00	0,00	12,00	L	L	L	L	L	L
140	13,00	-6,97	1,61	L	L	L	L	L	L
141	13,00	-2,50	9,34	L	L	L	L	L	L
142	13,00	-0,97	12,00	L	L	L	L	L	L
143	13,00	0,00	12,00	L	L	L	L	L	L
144	14,00	-6,97	1,61	L	L	L	L	L	L
145	14,00	-2,58	9,21	L	L	L	L	L	L
146	14,00	-0,97	12,00	L	L	L	L	L	L
147	14,00	0,00	12,00	L	L	L	L	L	L
148	15,00	-6,97	1,61	L	L	L	L	L	L
149	15,00	-2,66	9,07	L	L	L	L	L	L
150	15,00	-0,97	12,00	L	L	L	L	L	L
151	15,00	0,00	12,00	L	L	L	L	L	L
152	16,00	-6,97	1,61	L	L	L	L	L	L
153	16,00	-2,74	8,93	L	L	L	L	L	L
154	16,00	-0,97	12,00	L	L	L	L	L	L
155	16,00	0,00	12,00	L	L	L	L	L	L
156	17,00	-6,97	1,61	L	L	L	L	L	L
157	17,00	-2,82	8,79	L	L	L	L	L	L
158	17,00	-0,97	12,00	L	L	L	L	L	L
159	17,00	0,00	12,00	L	L	L	L	L	L
160	18,00	-6,97	1,61	L	L	L	L	L	L
161	18,00	-2,90	8,65	L	L	L	L	L	L
162	18,00	-0,97	12,00	L	L	L	L	L	L
163	18,00	0,00	12,00	L	L	L	L	L	L
164	19,00	-6,97	1,61	L	L	L	L	L	L
165	19,00	-2,98	8,52	L	L	L	L	L	L
166	19,00	-0,97	12,00	L	L	L	L	L	L
167	19,00	0,00	12,00	L	L	L	L	L	L
168	20,00	-6,97	1,61	L	L	L	L	L	L
169	20,00	-3,06	8,38	L	L	L	L	L	L
170	20,00	-0,97	12,00	L	L	L	L	L	L
171	20,00	0,00	12,00	L	L	L	L	L	L
172	21,00	-6,97	1,61	L	L	L	L	L	L
173	21,00	-3,14	8,24	L	L	L	L	L	L

174	21,00	-0,97	12,00	L	L	L	L	L	L
175	21,00	0,00	12,00	L	L	L	L	L	L
176	22,50	-0,37	0,00	L	L	L	L	L	L
177	22,50	-0,37	7,63	L	L	L	L	L	L
178	22,50	-0,37	12,00	L	L	L	L	L	L
179	22,50	0,00	12,00	L	L	L	L	L	L
180	23,50	-0,37	0,00	L	L	L	L	L	L
181	23,50	-0,37	7,90	L	L	L	L	L	L
182	23,50	-0,37	12,00	L	L	L	L	L	L
183	23,50	0,00	12,00	L	L	L	L	L	L
184	24,50	-0,37	0,00	L	L	L	L	L	L
185	24,50	-0,37	8,17	L	L	L	L	L	L
186	24,50	-0,37	12,00	L	L	L	L	L	L
187	24,50	0,00	12,00	L	L	L	L	L	L
188	25,50	-0,37	0,00	L	L	L	L	L	L
189	25,50	-0,37	8,44	L	L	L	L	L	L
190	25,50	-0,37	12,00	L	L	L	L	L	L
191	25,50	0,00	12,00	L	L	L	L	L	L
192	26,50	-0,37	0,00	L	L	L	L	L	L
193	26,50	-0,37	8,71	L	L	L	L	L	L
194	26,50	-0,37	12,00	L	L	L	L	L	L
195	26,50	0,00	12,00	L	L	L	L	L	L
196	27,50	-0,37	0,00	L	L	L	L	L	L
197	27,50	-0,37	8,98	L	L	L	L	L	L
198	27,50	-0,37	12,00	L	L	L	L	L	L
199	27,50	0,00	12,00	L	L	L	L	L	L
200	28,50	-0,37	0,00	L	L	L	L	L	L
201	28,50	-0,37	9,25	L	L	L	L	L	L
202	28,50	-0,37	12,00	L	L	L	L	L	L
203	28,50	0,00	12,00	L	L	L	L	L	L
204	29,50	-0,37	0,00	L	L	L	L	L	L
205	29,50	-0,37	9,52	L	L	L	L	L	L
206	29,50	-0,37	12,00	L	L	L	L	L	L
207	29,50	0,00	12,00	L	L	L	L	L	L
208	30,50	-0,37	0,00	L	L	L	L	L	L
209	30,50	-0,37	9,79	L	L	L	L	L	L
210	30,50	-0,37	12,00	L	L	L	L	L	L
211	30,50	0,00	12,00	L	L	L	L	L	L
212	31,50	-0,37	0,00	L	L	L	L	L	L
213	31,50	-0,37	10,06	L	L	L	L	L	L
214	31,50	-0,37	12,00	L	L	L	L	L	L
215	31,50	0,00	12,00	L	L	L	L	L	L
216	32,50	-0,37	0,00	L	L	L	L	L	L
217	32,50	-0,37	10,33	L	L	L	L	L	L
218	32,50	-0,37	12,00	L	L	L	L	L	L
219	32,50	0,00	12,00	L	L	L	L	L	L
220	33,50	-0,37	0,00	L	L	L	L	L	L
221	33,50	-0,37	10,60	L	L	L	L	L	L
222	33,50	-0,37	12,00	L	L	L	L	L	L
223	33,50	0,00	12,00	L	L	L	L	L	L
224	34,50	-0,37	0,00	L	L	L	L	L	L
225	34,50	-0,37	10,87	L	L	L	L	L	L
226	34,50	-0,37	12,00	L	L	L	L	L	L
227	34,50	0,00	12,00	L	L	L	L	L	L
228	23,00	-6,97	1,61	L	L	L	L	L	L
229	23,00	-3,09	8,34	L	L	L	L	L	L
230	23,00	-0,97	12,00	L	L	L	L	L	L
231	23,00	0,00	12,00	L	L	L	L	L	L
232	24,00	-6,97	1,61	L	L	L	L	L	L
233	24,00	-2,95	8,57	L	L	L	L	L	L
234	24,00	-0,97	12,00	L	L	L	L	L	L
235	24,00	0,00	12,00	L	L	L	L	L	L
236	25,00	-6,97	1,61	L	L	L	L	L	L
237	25,00	-2,82	8,80	L	L	L	L	L	L
238	25,00	-0,97	12,00	L	L	L	L	L	L
239	25,00	0,00	12,00	L	L	L	L	L	L
240	26,00	-6,97	1,61	L	L	L	L	L	L
241	26,00	-2,68	9,04	L	L	L	L	L	L
242	26,00	-0,97	12,00	L	L	L	L	L	L
243	26,00	0,00	12,00	L	L	L	L	L	L
244	27,00	-6,97	1,61	L	L	L	L	L	L
245	27,00	-2,55	9,27	L	L	L	L	L	L
246	27,00	-0,97	12,00	L	L	L	L	L	L

247	27,00	0,00	12,00	L	L	L	L	L	L
248	28,00	-6,97	1,61	L	L	L	L	L	L
249	28,00	-2,41	9,50	L	L	L	L	L	L
250	28,00	-0,97	12,00	L	L	L	L	L	L
251	28,00	0,00	12,00	L	L	L	L	L	L
252	29,00	-6,97	1,61	L	L	L	L	L	L
253	29,00	-2,28	9,74	L	L	L	L	L	L
254	29,00	-0,97	12,00	L	L	L	L	L	L
255	29,00	0,00	12,00	L	L	L	L	L	L
256	30,00	-6,97	1,61	L	L	L	L	L	L
257	30,00	-2,14	9,97	L	L	L	L	L	L
258	30,00	-0,97	12,00	L	L	L	L	L	L
259	30,00	0,00	12,00	L	L	L	L	L	L
260	31,00	-6,97	1,61	L	L	L	L	L	L
261	31,00	-2,01	10,20	L	L	L	L	L	L
262	31,00	-0,97	12,00	L	L	L	L	L	L
263	31,00	0,00	12,00	L	L	L	L	L	L
264	32,00	-6,97	1,61	L	L	L	L	L	L
265	32,00	-1,87	10,43	L	L	L	L	L	L
266	32,00	-0,97	12,00	L	L	L	L	L	L
267	32,00	0,00	12,00	L	L	L	L	L	L
268	33,00	-6,97	1,61	L	L	L	L	L	L
269	33,00	-1,74	10,67	L	L	L	L	L	L
270	33,00	-0,97	12,00	L	L	L	L	L	L
271	33,00	0,00	12,00	L	L	L	L	L	L
272	34,00	-6,97	1,61	L	L	L	L	L	L
273	34,00	-1,60	10,90	L	L	L	L	L	L
274	34,00	-0,97	12,00	L	L	L	L	L	L
275	34,00	0,00	12,00	L	L	L	L	L	L

Descrizione Elementi

Simbologia adottata

N°	Identificativo numerico
i	Incidenza nodale i
j	Incidenza nodale j
I _m	Indice del materiale adottato
I _s	Indice della sezione adottata
α	Rotazione sezione espressa in [°]
U _i , W _i , R _{y_i}	Svincoli nodo i ('X' = svincolato; '-' = vincolato)
U _j , W _j , R _{y_j}	Svincoli nodo j ('X' = svincolato; '-' = vincolato)
K _w	Costante di Winkler trasversale espressa in [kPa/m]

I	J	I _m	I _s	α	(U, V, W, Rx, Ry, Rz) _i	(U, V, W, Rx, Ry, Rz) _j
4	5	3	2	0.00	(0, 0, 0, 0, 0, 0)	(0, 0, 0, 0, 0, 0)
5	6	3	2	0.00	(0, 0, 0, 0, 0, 0)	(0, 0, 0, 0, 0, 0)
92	93	3	2	0.00	(0, 0, 0, 0, 0, 0)	(0, 0, 0, 0, 0, 0)
93	94	3	2	0.00	(0, 0, 0, 0, 0, 0)	(0, 0, 0, 0, 0, 0)
8	9	3	2	0.00	(0, 0, 0, 0, 0, 0)	(0, 0, 0, 0, 0, 0)
9	10	3	2	0.00	(0, 0, 0, 0, 0, 0)	(0, 0, 0, 0, 0, 0)
96	97	3	2	0.00	(0, 0, 0, 0, 0, 0)	(0, 0, 0, 0, 0, 0)
97	98	3	2	0.00	(0, 0, 0, 0, 0, 0)	(0, 0, 0, 0, 0, 0)
12	13	3	2	0.00	(0, 0, 0, 0, 0, 0)	(0, 0, 0, 0, 0, 0)
13	14	3	2	0.00	(0, 0, 0, 0, 0, 0)	(0, 0, 0, 0, 0, 0)
100	101	3	2	0.00	(0, 0, 0, 0, 0, 0)	(0, 0, 0, 0, 0, 0)
101	102	3	2	0.00	(0, 0, 0, 0, 0, 0)	(0, 0, 0, 0, 0, 0)
16	17	3	2	0.00	(0, 0, 0, 0, 0, 0)	(0, 0, 0, 0, 0, 0)
17	18	3	2	0.00	(0, 0, 0, 0, 0, 0)	(0, 0, 0, 0, 0, 0)
104	105	3	2	0.00	(0, 0, 0, 0, 0, 0)	(0, 0, 0, 0, 0, 0)
105	106	3	2	0.00	(0, 0, 0, 0, 0, 0)	(0, 0, 0, 0, 0, 0)
20	21	3	2	0.00	(0, 0, 0, 0, 0, 0)	(0, 0, 0, 0, 0, 0)
21	22	3	2	0.00	(0, 0, 0, 0, 0, 0)	(0, 0, 0, 0, 0, 0)
108	109	3	2	0.00	(0, 0, 0, 0, 0, 0)	(0, 0, 0, 0, 0, 0)
109	110	3	2	0.00	(0, 0, 0, 0, 0, 0)	(0, 0, 0, 0, 0, 0)
24	25	3	2	0.00	(0, 0, 0, 0, 0, 0)	(0, 0, 0, 0, 0, 0)
25	26	3	2	0.00	(0, 0, 0, 0, 0, 0)	(0, 0, 0, 0, 0, 0)
112	113	3	2	0.00	(0, 0, 0, 0, 0, 0)	(0, 0, 0, 0, 0, 0)
113	114	3	2	0.00	(0, 0, 0, 0, 0, 0)	(0, 0, 0, 0, 0, 0)
28	29	3	2	0.00	(0, 0, 0, 0, 0, 0)	(0, 0, 0, 0, 0, 0)
29	30	3	2	0.00	(0, 0, 0, 0, 0, 0)	(0, 0, 0, 0, 0, 0)
116	117	3	2	0.00	(0, 0, 0, 0, 0, 0)	(0, 0, 0, 0, 0, 0)

117	118	3	2	0.00	(0, 0, 0, 0, 0, 0)	(0, 0, 0, 0, 0, 0)
32	33	3	2	0.00	(0, 0, 0, 0, 0, 0)	(0, 0, 0, 0, 0, 0)
33	34	3	2	0.00	(0, 0, 0, 0, 0, 0)	(0, 0, 0, 0, 0, 0)
120	121	3	2	0.00	(0, 0, 0, 0, 0, 0)	(0, 0, 0, 0, 0, 0)
121	122	3	2	0.00	(0, 0, 0, 0, 0, 0)	(0, 0, 0, 0, 0, 0)
36	37	3	2	0.00	(0, 0, 0, 0, 0, 0)	(0, 0, 0, 0, 0, 0)
37	38	3	2	0.00	(0, 0, 0, 0, 0, 0)	(0, 0, 0, 0, 0, 0)
124	125	3	2	0.00	(0, 0, 0, 0, 0, 0)	(0, 0, 0, 0, 0, 0)
125	126	3	2	0.00	(0, 0, 0, 0, 0, 0)	(0, 0, 0, 0, 0, 0)
40	41	3	2	0.00	(0, 0, 0, 0, 0, 0)	(0, 0, 0, 0, 0, 0)
41	42	3	2	0.00	(0, 0, 0, 0, 0, 0)	(0, 0, 0, 0, 0, 0)
128	129	3	2	0.00	(0, 0, 0, 0, 0, 0)	(0, 0, 0, 0, 0, 0)
129	130	3	2	0.00	(0, 0, 0, 0, 0, 0)	(0, 0, 0, 0, 0, 0)
44	45	3	2	0.00	(0, 0, 0, 0, 0, 0)	(0, 0, 0, 0, 0, 0)
45	46	3	2	0.00	(0, 0, 0, 0, 0, 0)	(0, 0, 0, 0, 0, 0)
132	133	3	2	0.00	(0, 0, 0, 0, 0, 0)	(0, 0, 0, 0, 0, 0)
133	134	3	2	0.00	(0, 0, 0, 0, 0, 0)	(0, 0, 0, 0, 0, 0)
48	49	3	2	0.00	(0, 0, 0, 0, 0, 0)	(0, 0, 0, 0, 0, 0)
49	50	3	2	0.00	(0, 0, 0, 0, 0, 0)	(0, 0, 0, 0, 0, 0)
136	137	3	2	0.00	(0, 0, 0, 0, 0, 0)	(0, 0, 0, 0, 0, 0)
137	138	3	2	0.00	(0, 0, 0, 0, 0, 0)	(0, 0, 0, 0, 0, 0)
52	53	3	2	0.00	(0, 0, 0, 0, 0, 0)	(0, 0, 0, 0, 0, 0)
53	54	3	2	0.00	(0, 0, 0, 0, 0, 0)	(0, 0, 0, 0, 0, 0)
140	141	3	2	0.00	(0, 0, 0, 0, 0, 0)	(0, 0, 0, 0, 0, 0)
141	142	3	2	0.00	(0, 0, 0, 0, 0, 0)	(0, 0, 0, 0, 0, 0)
56	57	3	2	0.00	(0, 0, 0, 0, 0, 0)	(0, 0, 0, 0, 0, 0)
57	58	3	2	0.00	(0, 0, 0, 0, 0, 0)	(0, 0, 0, 0, 0, 0)
144	145	3	2	0.00	(0, 0, 0, 0, 0, 0)	(0, 0, 0, 0, 0, 0)
145	146	3	2	0.00	(0, 0, 0, 0, 0, 0)	(0, 0, 0, 0, 0, 0)
60	61	3	2	0.00	(0, 0, 0, 0, 0, 0)	(0, 0, 0, 0, 0, 0)
61	62	3	2	0.00	(0, 0, 0, 0, 0, 0)	(0, 0, 0, 0, 0, 0)
148	149	3	2	0.00	(0, 0, 0, 0, 0, 0)	(0, 0, 0, 0, 0, 0)
149	150	3	2	0.00	(0, 0, 0, 0, 0, 0)	(0, 0, 0, 0, 0, 0)
64	65	3	2	0.00	(0, 0, 0, 0, 0, 0)	(0, 0, 0, 0, 0, 0)
65	66	3	2	0.00	(0, 0, 0, 0, 0, 0)	(0, 0, 0, 0, 0, 0)
152	153	3	2	0.00	(0, 0, 0, 0, 0, 0)	(0, 0, 0, 0, 0, 0)
153	154	3	2	0.00	(0, 0, 0, 0, 0, 0)	(0, 0, 0, 0, 0, 0)
68	69	3	2	0.00	(0, 0, 0, 0, 0, 0)	(0, 0, 0, 0, 0, 0)
69	70	3	2	0.00	(0, 0, 0, 0, 0, 0)	(0, 0, 0, 0, 0, 0)
156	157	3	2	0.00	(0, 0, 0, 0, 0, 0)	(0, 0, 0, 0, 0, 0)
157	158	3	2	0.00	(0, 0, 0, 0, 0, 0)	(0, 0, 0, 0, 0, 0)
72	73	3	2	0.00	(0, 0, 0, 0, 0, 0)	(0, 0, 0, 0, 0, 0)
73	74	3	2	0.00	(0, 0, 0, 0, 0, 0)	(0, 0, 0, 0, 0, 0)
160	161	3	2	0.00	(0, 0, 0, 0, 0, 0)	(0, 0, 0, 0, 0, 0)
161	162	3	2	0.00	(0, 0, 0, 0, 0, 0)	(0, 0, 0, 0, 0, 0)
76	77	3	2	0.00	(0, 0, 0, 0, 0, 0)	(0, 0, 0, 0, 0, 0)
77	78	3	2	0.00	(0, 0, 0, 0, 0, 0)	(0, 0, 0, 0, 0, 0)
164	165	3	2	0.00	(0, 0, 0, 0, 0, 0)	(0, 0, 0, 0, 0, 0)
165	166	3	2	0.00	(0, 0, 0, 0, 0, 0)	(0, 0, 0, 0, 0, 0)
80	81	3	2	0.00	(0, 0, 0, 0, 0, 0)	(0, 0, 0, 0, 0, 0)
81	82	3	2	0.00	(0, 0, 0, 0, 0, 0)	(0, 0, 0, 0, 0, 0)
168	169	3	2	0.00	(0, 0, 0, 0, 0, 0)	(0, 0, 0, 0, 0, 0)
169	170	3	2	0.00	(0, 0, 0, 0, 0, 0)	(0, 0, 0, 0, 0, 0)
84	85	3	2	0.00	(0, 0, 0, 0, 0, 0)	(0, 0, 0, 0, 0, 0)
85	86	3	2	0.00	(0, 0, 0, 0, 0, 0)	(0, 0, 0, 0, 0, 0)
172	173	3	2	0.00	(0, 0, 0, 0, 0, 0)	(0, 0, 0, 0, 0, 0)
173	174	3	2	0.00	(0, 0, 0, 0, 0, 0)	(0, 0, 0, 0, 0, 0)
88	89	3	2	0.00	(0, 0, 0, 0, 0, 0)	(0, 0, 0, 0, 0, 0)
89	90	3	2	0.00	(0, 0, 0, 0, 0, 0)	(0, 0, 0, 0, 0, 0)
176	177	3	2	0.00	(0, 0, 0, 0, 0, 0)	(0, 0, 0, 0, 0, 0)
177	178	3	2	0.00	(0, 0, 0, 0, 0, 0)	(0, 0, 0, 0, 0, 0)
228	229	3	2	0.00	(0, 0, 0, 0, 0, 0)	(0, 0, 0, 0, 0, 0)
229	230	3	2	0.00	(0, 0, 0, 0, 0, 0)	(0, 0, 0, 0, 0, 0)
180	181	3	2	0.00	(0, 0, 0, 0, 0, 0)	(0, 0, 0, 0, 0, 0)
181	182	3	2	0.00	(0, 0, 0, 0, 0, 0)	(0, 0, 0, 0, 0, 0)
232	233	3	2	0.00	(0, 0, 0, 0, 0, 0)	(0, 0, 0, 0, 0, 0)
233	234	3	2	0.00	(0, 0, 0, 0, 0, 0)	(0, 0, 0, 0, 0, 0)
184	185	3	2	0.00	(0, 0, 0, 0, 0, 0)	(0, 0, 0, 0, 0, 0)
185	186	3	2	0.00	(0, 0, 0, 0, 0, 0)	(0, 0, 0, 0, 0, 0)
236	237	3	2	0.00	(0, 0, 0, 0, 0, 0)	(0, 0, 0, 0, 0, 0)
237	238	3	2	0.00	(0, 0, 0, 0, 0, 0)	(0, 0, 0, 0, 0, 0)
188	189	3	2	0.00	(0, 0, 0, 0, 0, 0)	(0, 0, 0, 0, 0, 0)
189	190	3	2	0.00	(0, 0, 0, 0, 0, 0)	(0, 0, 0, 0, 0, 0)

240	241	3	2	0.00	(0, 0, 0, 0, 0, 0)	(0, 0, 0, 0, 0, 0)
241	242	3	2	0.00	(0, 0, 0, 0, 0, 0)	(0, 0, 0, 0, 0, 0)
192	193	3	2	0.00	(0, 0, 0, 0, 0, 0)	(0, 0, 0, 0, 0, 0)
193	194	3	2	0.00	(0, 0, 0, 0, 0, 0)	(0, 0, 0, 0, 0, 0)
244	245	3	2	0.00	(0, 0, 0, 0, 0, 0)	(0, 0, 0, 0, 0, 0)
245	246	3	2	0.00	(0, 0, 0, 0, 0, 0)	(0, 0, 0, 0, 0, 0)
196	197	3	2	0.00	(0, 0, 0, 0, 0, 0)	(0, 0, 0, 0, 0, 0)
197	198	3	2	0.00	(0, 0, 0, 0, 0, 0)	(0, 0, 0, 0, 0, 0)
248	249	3	2	0.00	(0, 0, 0, 0, 0, 0)	(0, 0, 0, 0, 0, 0)
249	250	3	2	0.00	(0, 0, 0, 0, 0, 0)	(0, 0, 0, 0, 0, 0)
200	201	3	2	0.00	(0, 0, 0, 0, 0, 0)	(0, 0, 0, 0, 0, 0)
201	202	3	2	0.00	(0, 0, 0, 0, 0, 0)	(0, 0, 0, 0, 0, 0)
252	253	3	2	0.00	(0, 0, 0, 0, 0, 0)	(0, 0, 0, 0, 0, 0)
253	254	3	2	0.00	(0, 0, 0, 0, 0, 0)	(0, 0, 0, 0, 0, 0)
204	205	3	2	0.00	(0, 0, 0, 0, 0, 0)	(0, 0, 0, 0, 0, 0)
205	206	3	2	0.00	(0, 0, 0, 0, 0, 0)	(0, 0, 0, 0, 0, 0)
256	257	3	2	0.00	(0, 0, 0, 0, 0, 0)	(0, 0, 0, 0, 0, 0)
257	258	3	2	0.00	(0, 0, 0, 0, 0, 0)	(0, 0, 0, 0, 0, 0)
208	209	3	2	0.00	(0, 0, 0, 0, 0, 0)	(0, 0, 0, 0, 0, 0)
209	210	3	2	0.00	(0, 0, 0, 0, 0, 0)	(0, 0, 0, 0, 0, 0)
260	261	3	2	0.00	(0, 0, 0, 0, 0, 0)	(0, 0, 0, 0, 0, 0)
261	262	3	2	0.00	(0, 0, 0, 0, 0, 0)	(0, 0, 0, 0, 0, 0)
212	213	3	2	0.00	(0, 0, 0, 0, 0, 0)	(0, 0, 0, 0, 0, 0)
213	214	3	2	0.00	(0, 0, 0, 0, 0, 0)	(0, 0, 0, 0, 0, 0)
264	265	3	2	0.00	(0, 0, 0, 0, 0, 0)	(0, 0, 0, 0, 0, 0)
265	266	3	2	0.00	(0, 0, 0, 0, 0, 0)	(0, 0, 0, 0, 0, 0)
216	217	3	2	0.00	(0, 0, 0, 0, 0, 0)	(0, 0, 0, 0, 0, 0)
217	218	3	2	0.00	(0, 0, 0, 0, 0, 0)	(0, 0, 0, 0, 0, 0)
268	269	3	2	0.00	(0, 0, 0, 0, 0, 0)	(0, 0, 0, 0, 0, 0)
269	270	3	2	0.00	(0, 0, 0, 0, 0, 0)	(0, 0, 0, 0, 0, 0)
220	221	3	2	0.00	(0, 0, 0, 0, 0, 0)	(0, 0, 0, 0, 0, 0)
221	222	3	2	0.00	(0, 0, 0, 0, 0, 0)	(0, 0, 0, 0, 0, 0)
272	273	3	2	0.00	(0, 0, 0, 0, 0, 0)	(0, 0, 0, 0, 0, 0)
273	274	3	2	0.00	(0, 0, 0, 0, 0, 0)	(0, 0, 0, 0, 0, 0)
224	225	3	2	0.00	(0, 0, 0, 0, 0, 0)	(0, 0, 0, 0, 0, 0)
225	226	3	2	0.00	(0, 0, 0, 0, 0, 0)	(0, 0, 0, 0, 0, 0)
6	7	1	0	0.00	(0, 0, 0, 0, 0, 0)	(0, 0, 0, 0, 0, 0)
2	7	1	1	0.00	(0, 0, 0, 0, 0, 0)	(0, 0, 0, 0, 0, 0)
7	95	1	1	0.00	(0, 0, 0, 0, 0, 0)	(0, 0, 0, 0, 0, 0)
94	95	1	0	0.00	(0, 0, 0, 0, 0, 0)	(0, 0, 0, 0, 0, 0)
95	11	1	1	0.00	(0, 0, 0, 0, 0, 0)	(0, 0, 0, 0, 0, 0)
10	11	1	0	0.00	(0, 0, 0, 0, 0, 0)	(0, 0, 0, 0, 0, 0)
11	99	1	1	0.00	(0, 0, 0, 0, 0, 0)	(0, 0, 0, 0, 0, 0)
98	99	1	0	0.00	(0, 0, 0, 0, 0, 0)	(0, 0, 0, 0, 0, 0)
99	15	1	1	0.00	(0, 0, 0, 0, 0, 0)	(0, 0, 0, 0, 0, 0)
14	15	1	0	0.00	(0, 0, 0, 0, 0, 0)	(0, 0, 0, 0, 0, 0)
15	103	1	1	0.00	(0, 0, 0, 0, 0, 0)	(0, 0, 0, 0, 0, 0)
102	103	1	0	0.00	(0, 0, 0, 0, 0, 0)	(0, 0, 0, 0, 0, 0)
103	19	1	1	0.00	(0, 0, 0, 0, 0, 0)	(0, 0, 0, 0, 0, 0)
18	19	1	0	0.00	(0, 0, 0, 0, 0, 0)	(0, 0, 0, 0, 0, 0)
19	107	1	1	0.00	(0, 0, 0, 0, 0, 0)	(0, 0, 0, 0, 0, 0)
106	107	1	0	0.00	(0, 0, 0, 0, 0, 0)	(0, 0, 0, 0, 0, 0)
107	23	1	1	0.00	(0, 0, 0, 0, 0, 0)	(0, 0, 0, 0, 0, 0)
22	23	1	0	0.00	(0, 0, 0, 0, 0, 0)	(0, 0, 0, 0, 0, 0)
23	111	1	1	0.00	(0, 0, 0, 0, 0, 0)	(0, 0, 0, 0, 0, 0)
110	111	1	0	0.00	(0, 0, 0, 0, 0, 0)	(0, 0, 0, 0, 0, 0)
111	27	1	1	0.00	(0, 0, 0, 0, 0, 0)	(0, 0, 0, 0, 0, 0)
26	27	1	0	0.00	(0, 0, 0, 0, 0, 0)	(0, 0, 0, 0, 0, 0)
27	115	1	1	0.00	(0, 0, 0, 0, 0, 0)	(0, 0, 0, 0, 0, 0)
114	115	1	0	0.00	(0, 0, 0, 0, 0, 0)	(0, 0, 0, 0, 0, 0)
115	31	1	1	0.00	(0, 0, 0, 0, 0, 0)	(0, 0, 0, 0, 0, 0)
30	31	1	0	0.00	(0, 0, 0, 0, 0, 0)	(0, 0, 0, 0, 0, 0)
31	119	1	1	0.00	(0, 0, 0, 0, 0, 0)	(0, 0, 0, 0, 0, 0)
118	119	1	0	0.00	(0, 0, 0, 0, 0, 0)	(0, 0, 0, 0, 0, 0)
119	35	1	1	0.00	(0, 0, 0, 0, 0, 0)	(0, 0, 0, 0, 0, 0)
34	35	1	0	0.00	(0, 0, 0, 0, 0, 0)	(0, 0, 0, 0, 0, 0)
35	123	1	1	0.00	(0, 0, 0, 0, 0, 0)	(0, 0, 0, 0, 0, 0)
122	123	1	0	0.00	(0, 0, 0, 0, 0, 0)	(0, 0, 0, 0, 0, 0)
123	39	1	1	0.00	(0, 0, 0, 0, 0, 0)	(0, 0, 0, 0, 0, 0)
38	39	1	0	0.00	(0, 0, 0, 0, 0, 0)	(0, 0, 0, 0, 0, 0)
39	127	1	1	0.00	(0, 0, 0, 0, 0, 0)	(0, 0, 0, 0, 0, 0)
126	127	1	0	0.00	(0, 0, 0, 0, 0, 0)	(0, 0, 0, 0, 0, 0)
127	43	1	1	0.00	(0, 0, 0, 0, 0, 0)	(0, 0, 0, 0, 0, 0)

42	43	1	0	0.00	(0, 0, 0, 0, 0, 0)	(0, 0, 0, 0, 0, 0)
43	131	1	1	0.00	(0, 0, 0, 0, 0, 0)	(0, 0, 0, 0, 0, 0)
130	131	1	0	0.00	(0, 0, 0, 0, 0, 0)	(0, 0, 0, 0, 0, 0)
131	47	1	1	0.00	(0, 0, 0, 0, 0, 0)	(0, 0, 0, 0, 0, 0)
46	47	1	0	0.00	(0, 0, 0, 0, 0, 0)	(0, 0, 0, 0, 0, 0)
47	135	1	1	0.00	(0, 0, 0, 0, 0, 0)	(0, 0, 0, 0, 0, 0)
134	135	1	0	0.00	(0, 0, 0, 0, 0, 0)	(0, 0, 0, 0, 0, 0)
135	51	1	1	0.00	(0, 0, 0, 0, 0, 0)	(0, 0, 0, 0, 0, 0)
50	51	1	0	0.00	(0, 0, 0, 0, 0, 0)	(0, 0, 0, 0, 0, 0)
51	139	1	1	0.00	(0, 0, 0, 0, 0, 0)	(0, 0, 0, 0, 0, 0)
138	139	1	0	0.00	(0, 0, 0, 0, 0, 0)	(0, 0, 0, 0, 0, 0)
139	55	1	1	0.00	(0, 0, 0, 0, 0, 0)	(0, 0, 0, 0, 0, 0)
54	55	1	0	0.00	(0, 0, 0, 0, 0, 0)	(0, 0, 0, 0, 0, 0)
55	143	1	1	0.00	(0, 0, 0, 0, 0, 0)	(0, 0, 0, 0, 0, 0)
142	143	1	0	0.00	(0, 0, 0, 0, 0, 0)	(0, 0, 0, 0, 0, 0)
143	59	1	1	0.00	(0, 0, 0, 0, 0, 0)	(0, 0, 0, 0, 0, 0)
58	59	1	0	0.00	(0, 0, 0, 0, 0, 0)	(0, 0, 0, 0, 0, 0)
59	147	1	1	0.00	(0, 0, 0, 0, 0, 0)	(0, 0, 0, 0, 0, 0)
146	147	1	0	0.00	(0, 0, 0, 0, 0, 0)	(0, 0, 0, 0, 0, 0)
147	63	1	1	0.00	(0, 0, 0, 0, 0, 0)	(0, 0, 0, 0, 0, 0)
62	63	1	0	0.00	(0, 0, 0, 0, 0, 0)	(0, 0, 0, 0, 0, 0)
63	151	1	1	0.00	(0, 0, 0, 0, 0, 0)	(0, 0, 0, 0, 0, 0)
150	151	1	0	0.00	(0, 0, 0, 0, 0, 0)	(0, 0, 0, 0, 0, 0)
151	67	1	1	0.00	(0, 0, 0, 0, 0, 0)	(0, 0, 0, 0, 0, 0)
66	67	1	0	0.00	(0, 0, 0, 0, 0, 0)	(0, 0, 0, 0, 0, 0)
67	155	1	1	0.00	(0, 0, 0, 0, 0, 0)	(0, 0, 0, 0, 0, 0)
154	155	1	0	0.00	(0, 0, 0, 0, 0, 0)	(0, 0, 0, 0, 0, 0)
155	71	1	1	0.00	(0, 0, 0, 0, 0, 0)	(0, 0, 0, 0, 0, 0)
70	71	1	0	0.00	(0, 0, 0, 0, 0, 0)	(0, 0, 0, 0, 0, 0)
71	159	1	1	0.00	(0, 0, 0, 0, 0, 0)	(0, 0, 0, 0, 0, 0)
158	159	1	0	0.00	(0, 0, 0, 0, 0, 0)	(0, 0, 0, 0, 0, 0)
159	75	1	1	0.00	(0, 0, 0, 0, 0, 0)	(0, 0, 0, 0, 0, 0)
74	75	1	0	0.00	(0, 0, 0, 0, 0, 0)	(0, 0, 0, 0, 0, 0)
75	163	1	1	0.00	(0, 0, 0, 0, 0, 0)	(0, 0, 0, 0, 0, 0)
162	163	1	0	0.00	(0, 0, 0, 0, 0, 0)	(0, 0, 0, 0, 0, 0)
163	79	1	1	0.00	(0, 0, 0, 0, 0, 0)	(0, 0, 0, 0, 0, 0)
78	79	1	0	0.00	(0, 0, 0, 0, 0, 0)	(0, 0, 0, 0, 0, 0)
79	167	1	1	0.00	(0, 0, 0, 0, 0, 0)	(0, 0, 0, 0, 0, 0)
166	167	1	0	0.00	(0, 0, 0, 0, 0, 0)	(0, 0, 0, 0, 0, 0)
167	83	1	1	0.00	(0, 0, 0, 0, 0, 0)	(0, 0, 0, 0, 0, 0)
82	83	1	0	0.00	(0, 0, 0, 0, 0, 0)	(0, 0, 0, 0, 0, 0)
83	171	1	1	0.00	(0, 0, 0, 0, 0, 0)	(0, 0, 0, 0, 0, 0)
170	171	1	0	0.00	(0, 0, 0, 0, 0, 0)	(0, 0, 0, 0, 0, 0)
171	87	1	1	0.00	(0, 0, 0, 0, 0, 0)	(0, 0, 0, 0, 0, 0)
86	87	1	0	0.00	(0, 0, 0, 0, 0, 0)	(0, 0, 0, 0, 0, 0)
87	175	1	1	0.00	(0, 0, 0, 0, 0, 0)	(0, 0, 0, 0, 0, 0)
174	175	1	0	0.00	(0, 0, 0, 0, 0, 0)	(0, 0, 0, 0, 0, 0)
175	91	1	1	0.00	(0, 0, 0, 0, 0, 0)	(0, 0, 0, 0, 0, 0)
90	91	1	0	0.00	(0, 0, 0, 0, 0, 0)	(0, 0, 0, 0, 0, 0)
91	1	1	1	0.00	(0, 0, 0, 0, 0, 0)	(0, 0, 0, 0, 0, 0)
1	179	1	1	0.00	(0, 0, 0, 0, 0, 0)	(0, 0, 0, 0, 0, 0)
178	179	1	0	0.00	(0, 0, 0, 0, 0, 0)	(0, 0, 0, 0, 0, 0)
179	231	1	1	0.00	(0, 0, 0, 0, 0, 0)	(0, 0, 0, 0, 0, 0)
230	231	1	0	0.00	(0, 0, 0, 0, 0, 0)	(0, 0, 0, 0, 0, 0)
231	183	1	1	0.00	(0, 0, 0, 0, 0, 0)	(0, 0, 0, 0, 0, 0)
182	183	1	0	0.00	(0, 0, 0, 0, 0, 0)	(0, 0, 0, 0, 0, 0)
183	235	1	1	0.00	(0, 0, 0, 0, 0, 0)	(0, 0, 0, 0, 0, 0)
234	235	1	0	0.00	(0, 0, 0, 0, 0, 0)	(0, 0, 0, 0, 0, 0)
235	187	1	1	0.00	(0, 0, 0, 0, 0, 0)	(0, 0, 0, 0, 0, 0)
186	187	1	0	0.00	(0, 0, 0, 0, 0, 0)	(0, 0, 0, 0, 0, 0)
187	239	1	1	0.00	(0, 0, 0, 0, 0, 0)	(0, 0, 0, 0, 0, 0)
238	239	1	0	0.00	(0, 0, 0, 0, 0, 0)	(0, 0, 0, 0, 0, 0)
239	191	1	1	0.00	(0, 0, 0, 0, 0, 0)	(0, 0, 0, 0, 0, 0)
190	191	1	0	0.00	(0, 0, 0, 0, 0, 0)	(0, 0, 0, 0, 0, 0)
191	243	1	1	0.00	(0, 0, 0, 0, 0, 0)	(0, 0, 0, 0, 0, 0)
242	243	1	0	0.00	(0, 0, 0, 0, 0, 0)	(0, 0, 0, 0, 0, 0)
243	195	1	1	0.00	(0, 0, 0, 0, 0, 0)	(0, 0, 0, 0, 0, 0)
194	195	1	0	0.00	(0, 0, 0, 0, 0, 0)	(0, 0, 0, 0, 0, 0)
195	247	1	1	0.00	(0, 0, 0, 0, 0, 0)	(0, 0, 0, 0, 0, 0)
246	247	1	0	0.00	(0, 0, 0, 0, 0, 0)	(0, 0, 0, 0, 0, 0)
247	199	1	1	0.00	(0, 0, 0, 0, 0, 0)	(0, 0, 0, 0, 0, 0)
198	199	1	0	0.00	(0, 0, 0, 0, 0, 0)	(0, 0, 0, 0, 0, 0)
199	251	1	1	0.00	(0, 0, 0, 0, 0, 0)	(0, 0, 0, 0, 0, 0)

250	251	1	0	0.00	(0, 0, 0, 0, 0, 0)	(0, 0, 0, 0, 0, 0)
251	203	1	1	0.00	(0, 0, 0, 0, 0, 0)	(0, 0, 0, 0, 0, 0)
202	203	1	0	0.00	(0, 0, 0, 0, 0, 0)	(0, 0, 0, 0, 0, 0)
203	255	1	1	0.00	(0, 0, 0, 0, 0, 0)	(0, 0, 0, 0, 0, 0)
254	255	1	0	0.00	(0, 0, 0, 0, 0, 0)	(0, 0, 0, 0, 0, 0)
255	207	1	1	0.00	(0, 0, 0, 0, 0, 0)	(0, 0, 0, 0, 0, 0)
206	207	1	0	0.00	(0, 0, 0, 0, 0, 0)	(0, 0, 0, 0, 0, 0)
207	259	1	1	0.00	(0, 0, 0, 0, 0, 0)	(0, 0, 0, 0, 0, 0)
258	259	1	0	0.00	(0, 0, 0, 0, 0, 0)	(0, 0, 0, 0, 0, 0)
259	211	1	1	0.00	(0, 0, 0, 0, 0, 0)	(0, 0, 0, 0, 0, 0)
210	211	1	0	0.00	(0, 0, 0, 0, 0, 0)	(0, 0, 0, 0, 0, 0)
211	263	1	1	0.00	(0, 0, 0, 0, 0, 0)	(0, 0, 0, 0, 0, 0)
262	263	1	0	0.00	(0, 0, 0, 0, 0, 0)	(0, 0, 0, 0, 0, 0)
263	215	1	1	0.00	(0, 0, 0, 0, 0, 0)	(0, 0, 0, 0, 0, 0)
214	215	1	0	0.00	(0, 0, 0, 0, 0, 0)	(0, 0, 0, 0, 0, 0)
215	267	1	1	0.00	(0, 0, 0, 0, 0, 0)	(0, 0, 0, 0, 0, 0)
266	267	1	0	0.00	(0, 0, 0, 0, 0, 0)	(0, 0, 0, 0, 0, 0)
267	219	1	1	0.00	(0, 0, 0, 0, 0, 0)	(0, 0, 0, 0, 0, 0)
218	219	1	0	0.00	(0, 0, 0, 0, 0, 0)	(0, 0, 0, 0, 0, 0)
219	271	1	1	0.00	(0, 0, 0, 0, 0, 0)	(0, 0, 0, 0, 0, 0)
270	271	1	0	0.00	(0, 0, 0, 0, 0, 0)	(0, 0, 0, 0, 0, 0)
271	223	1	1	0.00	(0, 0, 0, 0, 0, 0)	(0, 0, 0, 0, 0, 0)
222	223	1	0	0.00	(0, 0, 0, 0, 0, 0)	(0, 0, 0, 0, 0, 0)
223	275	1	1	0.00	(0, 0, 0, 0, 0, 0)	(0, 0, 0, 0, 0, 0)
274	275	1	0	0.00	(0, 0, 0, 0, 0, 0)	(0, 0, 0, 0, 0, 0)
275	227	1	1	0.00	(0, 0, 0, 0, 0, 0)	(0, 0, 0, 0, 0, 0)
226	227	1	0	0.00	(0, 0, 0, 0, 0, 0)	(0, 0, 0, 0, 0, 0)
227	3	1	1	0.00	(0, 0, 0, 0, 0, 0)	(0, 0, 0, 0, 0, 0)

Normativa

Verifiche secondo: N.T.C. 2018

Simbologia adottata

γ_{Gsfav}	Coefficiente parziale sfavorevole sulle azioni permanenti
γ_{Gfav}	Coefficiente parziale favorevole sulle azioni permanenti
γ_{Qsfav}	Coefficiente parziale sfavorevole sulle azioni variabili
γ_{Qfav}	Coefficiente parziale favorevole sulle azioni variabili
$\gamma_{tan\phi'}$	Coefficiente parziale di riduzione dell'angolo di attrito drenato
γ_c'	Coefficiente parziale di riduzione della coesione drenata
γ_{cu}	Coefficiente parziale di riduzione della coesione non drenata
γ_{qu}	Coefficiente parziale di riduzione del carico ultimo
γ_f	Coefficiente parziale di riduzione della resistenza a compressione uniaxiale delle rocce

Coefficienti parziali per le azioni o per l'effetto delle azioni:

Carichi	Effetto		A1-Statico	A2-Statico	A1-Sismico	A2-Sismico
Permanenti	Favorevole	γ_{Gfav}	1.00	1.00	1.00	1.00
Permanenti	Sfavorevole	γ_{Gsfav}	1.30	1.00	1.00	1.00
Variabili	Favorevole	γ_{Qfav}	0.00	0.00	0.00	0.00
Variabili	Sfavorevole	γ_{Qsfav}	1.50	1.30	1.00	1.00

Coefficienti parziali per i parametri geotecnici del terreno:

Parametri		M1-Statico	M2-Statico	M1-Sismico	M2-Sismico
Tangente dell'angolo di attrito	$\gamma_{tan\phi'}$	1.00	1.25	1.00	1.00
Coesione efficace	γ_c'	1.00	1.25	1.00	1.00
Resistenza non drenata	γ_{cu}	1.00	1.40	1.00	1.00
Peso dell'unità di volume	γ_f	1.00	1.00	1.00	1.00

Carichi sul profilo

Simbologia adottata

Carichi distribuiti a monte della paratia

Xis, Yis	Coordinata punto inferiore sinistro del poligono di carico, espresse in [m]
Xsd, Ysd	Coordinata punto superiore destro del poligono di carico, espresse in [m]
Q1, Q2, Q3	Pressione nei tre punti del poligono di carico, espresse in [kN/mq]
Q _{TOT}	Risultante del carico, espresso in [kN]

Carichi di linea a monte della paratia

Xi, Yi	Coordinate punto iniziale, espresso in [m]
Xf, Yf	Coordinate punto finale, espresso in [m]
Fz _{pi}	Entità del carico nel punto iniziale, espressa in [kN]

FZ_{PI} Entità del carico nel punto finale, espressa in [kN]
Q_{TOT} Risultante del carico, espresso in [kN]

Carichi concentrati a monte della paratia

X, Y Posizione carico concentrato, espresso in [m]
F_z Valore del carico concentrato in direzione verticale, espresso in [kN]

Carichi distribuiti a valle della paratia

Tratto Indice del tratto su cui agisce il carico
Q Valore del carico distribuito, espresso in [kN/mq]

Condizione n° 1 - Accidentale da traffico (Vtf)

Carichi distribuiti a monte della paratia

X _{is}	Y _{is}	X _{sd}	Y _{sd}	P _{X_{is}, Y_{is}}	P _{X_{sd}, Y_{is}}	P _{X_{is}, Y_{sd}}	Q _{TOT}
0,00	-9,00	35,00	-1,00	25,0000	25,0000	25,0000	7000,00

Carichi sulla paratia

Simbologia adottata

Carichi nodali

n° indice del nodo o della trave
F_x, F_y, F_z forze in direzione x, y e z, espresse in [kN]
M_x, M_y, M_z momento flettente in direzione x, y e z, espressi in [kNm]

Carichi trave

x Ascissa carico concentrato espresso in [m]
F_x, F_y, F_z forza in direzione x, y e z, espressa in [kN]
M_x, M_y, M_z momento flettente con asse vettore in direzione x, y e z, espresso in [kNm]

x_i, x_f Ascissa iniziale e finale carico distribuito, espresso in [m]
Q_{x_i}, Q_{x_f} Valore iniziale carico distribuito in direzione x, espresso in [kN/m]
Q_{y_i}, Q_{y_f} Valore iniziale carico distribuito in direzione y, espresso in [kN/m]
Q_{z_i}, Q_{z_f} Valore iniziale carico distribuito in direzione z, espresso in [kN/m]
M_t Momento torcente intorno all'asse lollale X, espresso in [kNm]

DT_{y_p}, DT_{y_m} Valore iniziale carico distribuito in direzione x, espresso in [kN/m]
DT_{z_p}, DT_{z_m} Valore iniziale carico distribuito in direzione y, espresso in [kN/m]

Condizione n° 1 - Accidentale da traffico (Vtf)

Carichi nodali

N°	F _x	F _y	F _z	M _x	M _y	M _z
1	0,0000	0,0000	-200,0000	162,0000	0,0000	0,0000

Elenco condizioni

La colonna Gruppo, indica l'indice di appartenenza della condizione. Le condizioni appartenenti allo stesso gruppo vengono combinate tra di loro, mentre le condizioni con gruppo diverso non vengono combinate tra di loro.

Accidentale da traffico - Variabile TF - Gruppo 0

Tipo	Categoria/Azione variabile	Ψ ₀	Ψ ₁	Ψ ₂
Distribuito di monte (1)	Definita da utente	0.70	0.50	0.30
Carico nodale (1)	Traffico (schema 2)	0.00	0.75	0.00

Descrizione combinazioni di carico

Simbologia adottata

γ Coefficiente parziale per le azioni o per effetto delle azioni
C Coefficiente di partecipazione della condizione (definito dal progettista)
Accanto al nome della condizione tra parentesi viene indicato il tipo di condizione ((P) Permanente, (A) Accidentale).
Inoltre con [D] viene indicato se la condizione accidentale definita è dominante oppure no.

Comb. n° 1 SLU-STR

Condizione	Effetto	Ψ	γ	C
Peso proprio	Favorevole	--	1.00	1.00
Accidentale da traffico (Vtf) [D]	Sfavorevole	--	1.35	1.00

Comb. n° 2 SLU-GEO

Condizione	Effetto	Ψ	γ	C
Peso proprio	Favorevole	--	1.00	1.00
Accidentale da traffico (Vtf) [D]	Sfavorevole	--	1.15	1.00

Comb. n° 3 SLU-GEO - Sismica

Condizione	Effetto	Ψ	γ	C
Peso proprio	Favorevole	--	1.00	1.00
Accidentale da traffico (Vtf)	Sfavorevole	Ψ_2	1.00	1.00

Descrizione terreni

Simbologia adottata

Descrizione	Descrizione terreno
I_T	Indice del terreno
γ	Peso di volume del terreno espresso in [kN/mc]
γ_{sat}	Peso di volume saturo del terreno espresso in [kN/mc]
ϕ	Angolo di attrito interno del terreno espresso in gradi
δ	Angolo di attrito palo-terreno espresso in gradi
c	Coesione del terreno espressa in [kPa]
ca	Adesione del terreno espressa in [kPa]

Descrizione	I_T	γ	γ_{sat}	ϕ	δ	c	ca
Limo argilloso alterato	1	18,0000	20,0000	23.00	15.33	18,0	18,0
Argilliti alterate	2	18,0000	20,0000	25.00	16.67	50,0	50,0
Argilliti	3	20,0000	20,0000	25.00	16.67	50,0	50,0

Stratigrafia

Simbologia adottata

Descrizione	Descrizione terreno
n°	Indice dello strato
ΔH_i	Spessore strato nel punto iniziale del tratto, espresso in [m]
ΔH_f	Spessore strato nel punto finale del tratto, espresso in [m]
I_{TM}	Indice del terreno a monte della paratia
I_{TV}	Indice del terreno a valle della paratia
Kw	Costante di Winkler, espresso in [kg/cmq/cm]
Ka	Coeff. di spinta attiva
Kp	Coeff. di spinta passiva
K0	Coeff. di spinta a riposo

Tratto n° 1

Inclinazione profilo monte	[°]	0,00	valle	30,00
Altezza terreno iniziale	[m]	0,00	finale	0,00

n°	ΔH_i	ΔH_f	I_{TM}	I_{TV}	K_{WM}	K_{WV}	K_{AM}	K_{AV}	K_{PM}	K_{PV}	K_{OM}	K_{OV}
1	5,80	5,80	1	1	2.000	2.000	0.390	0.879	2.283	5.303	0.609	0.609
2	2,80	2,80	2	2	7.000	7.000	0.361	0.857	2.464	6.074	0.577	0.577
3	15,00	15,00	3	3	10.000	10.000	0.361	0.857	2.464	6.074	0.577	0.577

Tratto n° 2

Inclinazione profilo monte	[°]	0,00	valle	30,00
Altezza terreno iniziale	[m]	0,00	finale	0,00

n°	ΔH_i	ΔH_f	I_{TM}	I_{TV}	K_{WM}	K_{WV}	K_{AM}	K_{AV}	K_{PM}	K_{PV}	K_{OM}	K_{OV}
1	5,80	5,80	1	1	2.000	2.000	0.390	0.879	2.283	5.303	0.609	0.609
2	2,80	2,80	2	2	7.000	7.000	0.361	0.857	2.464	6.074	0.577	0.577
3	15,00	15,00	3	3	10.000	10.000	0.361	0.857	2.464	6.074	0.577	0.577

Opzioni di calcolo

Opzioni analisi

Costante di Winkler:	DA STRATO	
Direzione di spinta:	Ortagonale al tratto	
Influenza del carico di profilo:		
Distanza limite di influenza	20,00	[m]
Angolo limite di influenza	60.00	[°]
Suddivisione palo	30	
Suddivisione carico	10	
Distanza limite palo d'angolo	1,00	[m]
Fattore di influenza	2.00	
Modalità di analisi:	Classica	
Tipo analisi:		
Analisi sismica:	Statica equivalente	

Dati analisi sismica

Identificazione del sito

Latitudine	43.234900
Longitudine	10.934900
Comune	
Provincia	
Regione	

Punti di interpolazione del reticolo 22274 - 22273 - 22495 - 22496

Tipo di opera

Tipo di costruzione	Costruzioni con livelli di prestazioni ordinari
Vita nominale	50 anni
Classe d'uso	II - Normali affollamenti e industrie non pericolose
Vita di riferimento	50 anni

Combinazioni/Fase

	SLU	SLE
Accelerazione al suolo [m/s ²]	1.366	0.000
Massimo fattore amplificazione spettro orizzontale F ₀	2.476	0.000
Valore di riferimento per la determinazione del periodo di inizio del tratto a velocità costante dello spettro in accelerazione Tc* [sec]	0.272	0.000
Coefficiente di amplificazione topografica (St)	1.200	1.200
Coefficiente di amplificazione per tipo di sottosuolo (Ss)	1.200	1.200
Coefficiente di riduzione per tipo di sottosuolo (α)	1.000	1.000
Spostamento massimo senza riduzione di resistenza Us [m]	0.060	0.060
Coefficiente di riduzione per spostamento massimo (β)	0.588	0.588
Coefficiente di riduzione per stabilità globale (βs)	0.380	0.470
Coefficiente di intensità sismica (percento)	11.792	0.000
Direzione principale sisma [°]	0.00	
Rapporto intensità sismica verticale/orizzontale (kv)	0.00	
Influenza sisma:	Solo nella spinta attiva da monte	
Forma diagramma incremento sismico:	Rettangolare	

Impostazioni verifiche SLU

Coefficienti di sicurezza CALCESTRUZZO ARMATO

Coefficienti sicurezza calcestruzzo a compressione	1.50
Coefficienti sicurezza dell'acciaio	1.15
Fattore di riduzione da resistenza cubica a cilindrica	0.83
Fattore di riduzione per carichi di lungo periodo	0.85
Coefficienti di sicurezza della sezione	1.00

Simbologia adottata

Sollecitazioni palo, cordolo, trave

X	Ascissa locale sezione palo espressa in [m]
N	Sforzo normale espresso in [kN]
Ty	Taglio in direzione Y espresso in [kN]
Tz	Taglio in direzione Z espresso in [kN]
Mt	Momento torcente, espresso in [kNm]
My	Momento con asse vettore l'assa Y espresso in [kNm]
Mz	Momento con asse vettore l'assa Z espresso in [kNm]

Spostamenti palo, cordolo, trave

X	Ascissa locale sezione palo espressa in [m]
U	Spostamento in direzione X espresso in [m]
V	Spostamento in direzione Y espresso in [m]
W	Spostamento in direzione Z espresso in [m]
PhiX	Rotazione intorno all'asse X espresso in [°]
PhiY	Rotazione intorno all'asse Y espresso in [°]
PhiZ	Rotazione intorno all'asse Z espresso in [°]

Verifiche palo, cordolo, trave

X	Ascissa sezione in cui è stata eseguita la verifica, espressa in [m]
A _{fi}	Area ferri inferiori per sezioni in c.a. espressa in [mq]
A _{fs}	Area ferri superiori per sezioni in c.a. espressa in [mq]
A _f	Area complessiva ferri per sezioni in c.a. espressa in [mq]
D _t	Diametro tubolare espressa in [m]
S _t	Spessore tubolare espressa in [m]
N _u	Sforzo normale ultimo espresso in [kN]
M _{uy}	Momento ultimo in direzione Y espresso in [kNm]
M _{uz}	Momento ultimo in direzione Z espresso in [kNm]
FS	Fattore di sicurezza della sezione
V _{Rcd}	Resistenza di calcolo a taglio compressione espresso in [kN]
V _{Rsd}	Resistenza di calcolo a taglio trazione espresso in [kN]
V _{rd}	Taglio resistente (minimo tra V _{Rcd} e V _{Rsd}) espresso in [kN]
T _A	Indice tratto di armatura
X _i , X _f	Ascissa iniziale e finale del tratto di armatura, espressi in [m]
L _{tratto}	Lunghezza del tratto di armatura, espresso in [m]
n _{staffe}	Numero di staffe disposte per la torsione
n _{staffe/m}	Numero di staffe al metro disposte per la torsione
AI (nflt ϕ dflf)	Area aggiuntiva di armatura longitudinale a torsione (numero ferri e diametro), espressa in [mq]
T _{Rcd}	Resistenza di calcolo a torsione del calcestruzzo, espressa in [kNm]
T _{Rsd}	Resistenza di calcolo a torsione delle staffe trasversali, espressa in [kNm]
T _{rd}	Torsione resistente (minimo tra T _{Rcd} e T _{Rsd}), espresso in [kNm]
σ_{cls}	Tensione di compressione nel calcestruzzo espresso in [kPa]
σ_{fi}	Tensione nei ferri inferiori espresso in [kPa]
σ_{fs}	Tensione nei ferri superiori espresso in [kPa]
X	Ascissa sezione in cui è stata eseguita la verifica, espressa in [m]
σ_c	tensione di compressione espressa in [kPa]
σ_t	tensione di trazione espressa in [kPa]
τ	tensione tangenziale espressa in [kPa]
σ_{id}	tensione ideale espressa in [kPa]

Verifica stabilità globale (elenco fattori di sicurezza)

It	Indice del tratto
(X _C ; Y _C)	Coordinate centro cerchio superficie di scorrimento, espresse in [m]
R	Raggio cerchio superficie di scorrimento, espresso in [m]
(X _V ; Y _V)	Coordinate intersezione del cerchio con il pendio a valle, espresse in [m]
(X _M ; Y _M)	Coordinate intersezione del cerchio con il pendio a monte, espresse in [m]
FS	Coefficiente di sicurezza

Verifica stabilità globale (dettagli)

N°	numero d'ordine della striscia
W	peso della striscia espresso in [kN]
α	angolo fra la base della striscia e l'orizzontale espresso in gradi (positivo antiorario)
ϕ	angolo d'attrito del terreno lungo la base della striscia
c	coesione del terreno lungo la base della striscia espressa in [kPa]
b	larghezza della striscia espressa in [m]
L	sviluppo della base della striscia espressa in [m] (L=b/cos α)
u	pressione neutra lungo la base della striscia espressa in [kPa]
C _{tn} , C _{tt}	contributo alla striscia normale e tangenziale del tirante espresse in [kN]

Le ascisse X sono considerate positive verso monte

Le ordinate Y sono considerate positive verso l'alto

Origine in testa alla paratia (spigolo contro terra)

Le strisce sono numerate da monte verso valle

Risultati

Comb. n° 1 SLU-STR

		X	Y	Z
Carico totale	[kN]	0,0000	3797,8195	-2996,3826
Reazione terreno	[kN]	0,0008	-3797,8195	2996,3826
Reazione tiranti	[kN]	--	--	--
Reazione terreno + tiranti	[kN]	0,0008	-3797,8195	2996,3826
Spostamento massimo	[m]	0,000160	0,026445	0,001071
Spostamento minimo	[m]	-0,000196	-0,000227	-0,013090
Pressione massima sul terreno	[kPa]	16		
Pressione minima sul terreno	[kPa]	-140		

Comb. n° 2 SLU-GEO

		X	Y	Z
Carico totale	[kN]	0,0000	3296,4022	-2958,2815
Reazione terreno	[kN]	-0,0001	-3296,4022	2958,2815
Reazione tiranti	[kN]	--	--	--
Reazione terreno + tiranti	[kN]	-0,0001	-3296,4022	2958,2815
Spostamento massimo	[m]	0,000141	0,025536	0,000876
Spostamento minimo	[m]	-0,000173	-0,000267	-0,012535
Pressione massima sul terreno	[kPa]	18		
Pressione minima sul terreno	[kPa]	-165		

Comb. n° 3 SLU-GEO - Sismica

		X	Y	Z
Carico totale	[kN]	0,0000	1225,9135	-2728,2815
Reazione terreno	[kN]	0,0000	-1225,9135	2728,2815
Reazione tiranti	[kN]	--	--	--
Reazione terreno + tiranti	[kN]	0,0000	-1225,9135	2728,2815
Spostamento massimo	[m]	0,000043	0,008359	0,000190
Spostamento minimo	[m]	-0,000053	-0,000104	-0,004259
Pressione massima sul terreno	[kPa]	7		
Pressione minima sul terreno	[kPa]	-62		

Risultati pali

Risultati inviluppo sollecitazioni pali

Palo n° 1 - Tratto n° 1

	X	N⁺	N⁻	T⁺y	T_y	T⁺z	T_z	M⁺t	M_t	M⁺y	M_y	M⁺z	M_z
	0,00	0,00	-2,41	0,00	0,00	0,00	0,00	0,00	0,00	0,00	0,00	0,00	0,00
	0,96	0,00	-11,05	0,00	-0,01	0,00	0,00	0,00	0,00	0,00	0,00	0,01	0,00
	2,57	0,00	-26,01	0,00	-0,01	0,00	0,00	0,00	0,00	0,00	0,00	0,05	0,00
	4,18	0,00	-39,58	0,00	-0,12	0,00	0,00	0,00	0,00	0,00	0,00	0,05	0,00
	5,78	0,00	-52,02	0,01	-0,05	0,00	0,00	0,00	0,00	0,00	0,00	0,41	0,00
	7,39	0,00	-58,16	0,00	-1,16	0,00	0,00	0,00	0,00	0,00	0,00	0,71	0,00
	8,99	0,00	-61,63	0,00	-1,26	0,00	0,00	0,00	0,00	0,00	0,00	3,52	0,00
	10,60	0,00	-65,77	13,72	0,00	0,00	-0,06	0,00	0,00	0,05	0,00	0,26	-2,99
	11,40	0,00	-66,39	16,57	0,00	0,00	-0,08	0,00	0,00	0,11	0,00	0,00	-16,71
	12,00	0,00	-65,73	14,84	0,00	0,00	-0,08	0,00	0,00	0,15	0,00	0,00	-25,97

Palo n° 2 - Tratto n° 1

	X	N⁺	N⁻	T⁺y	T_y	T⁺z	T_z	M⁺t	M_t	M⁺y	M_y	M⁺z	M_z
	0,00	0,06	-0,09	0,00	-0,36	0,00	0,00	0,00	0,00	0,00	0,00	0,00	0,00
	0,96	2,04	0,00	0,48	0,00	0,00	0,00	0,00	0,00	0,00	0,00	0,00	-0,03
	1,59	3,63	0,00	0,00	-0,52	0,00	0,00	0,00	0,00	0,00	0,00	0,00	-0,04
	2,55	5,53	0,00	0,48	0,00	0,00	0,00	0,00	0,00	0,00	0,00	0,00	-0,01
	3,19	6,95	0,00	0,00	-0,40	0,00	0,00	0,00	0,00	0,00	0,00	0,00	-0,06
	4,15	8,83	0,00	0,88	0,00	0,00	0,00	0,00	0,00	0,00	0,00	0,00	-0,23

4,78	10,56	0,00	0,00	-1,08	0,00	0,00	0,00	0,00	0,00	0,00	0,00	0,00	-0,29
5,74	12,30	0,00	0,45	0,00	0,00	0,00	0,00	0,00	0,00	0,00	0,00	0,04	0,00
6,38	13,36	0,00	0,16	-0,19	0,02	0,00	0,00	0,00	0,00	0,00	0,00	0,04	-0,20
7,33	14,66	0,00	2,53	0,00	0,02	0,00	0,00	0,00	0,00	0,00	-0,02	0,00	-1,35
7,97	15,93	0,00	0,59	-0,05	0,05	0,00	0,00	0,00	0,00	0,00	-0,05	0,00	-2,53
8,93	17,41	0,00	3,37	0,00	0,05	0,00	0,00	0,00	0,00	0,00	-0,09	0,00	-4,01
9,57	19,37	0,00	0,00	-8,00	0,00	-0,07	0,00	0,00	0,00	0,00	-0,10	0,00	-3,38
10,52	21,50	0,00	0,00	-7,83	0,00	-0,15	0,00	0,00	0,01	0,00	0,00	4,49	0,00
11,36	22,45	0,00	0,00	-10,44	0,00	-0,33	0,00	0,00	0,00	0,29	0,00	15,95	0,00
12,00	22,71	0,00	0,05	-7,59	0,00	-0,33	0,00	0,00	0,50	0,00	0,00	21,51	0,00

Palo n° 3 - Tratto n° 1

X	N ⁺	N ⁻	T ⁺ y	T ⁻ y	T ⁺ z	T ⁻ z	M ⁺ t	M ⁻ t	M ⁺ y	M ⁻ y	M ⁺ z	M ⁻ z
0,00	0,00	-2,48	0,00	0,00	0,00	0,00	0,00	0,00	0,00	0,00	0,00	0,00
0,95	0,00	-11,34	0,00	-0,01	0,00	0,00	0,00	0,00	0,00	0,00	0,01	0,00
2,53	0,00	-26,67	0,00	-0,01	0,00	0,00	0,00	0,00	0,00	0,00	0,04	0,00
4,11	0,00	-40,56	0,00	-0,06	0,00	0,00	0,00	0,00	0,00	0,00	0,03	0,00
5,70	0,00	-53,25	0,01	-0,02	0,00	0,00	0,00	0,00	0,00	0,00	0,21	0,00
7,28	0,00	-59,53	0,00	-1,27	0,00	0,00	0,00	0,00	0,00	-0,01	0,71	0,00
8,86	0,00	-63,08	0,00	-1,67	0,00	-0,01	0,00	0,00	0,00	-0,01	3,83	0,00
10,44	0,00	-67,31	12,91	0,00	0,00	-0,06	0,00	0,00	0,04	0,00	0,42	-1,66
11,31	0,00	-67,91	15,34	0,00	0,00	-0,07	0,00	0,00	0,10	0,00	0,00	-15,78
12,00	0,00	-67,14	12,88	0,00	0,00	-0,07	0,00	0,00	0,15	0,00	0,00	-25,25

Palo n° 4 - Tratto n° 1

X	N ⁺	N ⁻	T ⁺ y	T ⁻ y	T ⁺ z	T ⁻ z	M ⁺ t	M ⁻ t	M ⁺ y	M ⁻ y	M ⁺ z	M ⁻ z
0,00	0,09	0,00	0,00	-0,37	0,00	0,00	0,00	0,00	0,00	0,00	0,00	0,00
0,94	2,11	0,00	0,49	0,00	0,00	0,00	0,00	0,00	0,00	0,00	0,00	-0,03
1,57	3,74	0,00	0,00	-0,53	0,00	0,00	0,00	0,00	0,00	0,00	0,00	-0,05
2,51	5,70	0,00	0,50	0,00	0,00	0,00	0,00	0,00	0,00	0,00	0,00	-0,01
3,14	7,14	0,00	0,00	-0,41	0,00	0,00	0,00	0,00	0,00	0,00	0,00	-0,07
4,08	9,07	0,00	0,92	0,00	0,00	0,00	0,00	0,00	0,00	0,00	0,00	-0,25
4,71	10,83	0,00	0,00	-1,14	0,00	0,00	0,00	0,00	0,00	0,00	0,00	-0,30
5,66	12,59	0,00	0,46	0,00	0,00	0,00	0,00	0,00	0,00	0,00	0,04	0,00
6,28	13,64	0,00	0,18	-0,19	0,02	0,00	0,00	0,00	0,00	0,00	0,04	-0,22
7,23	14,93	0,00	2,65	0,00	0,02	0,00	0,00	0,00	0,00	-0,02	0,00	-1,39
7,85	16,20	0,00	0,67	-0,04	0,05	0,00	0,00	0,00	0,00	-0,04	0,00	-2,63
8,80	17,68	0,00	3,57	0,00	0,05	0,00	0,00	0,00	0,00	-0,09	0,00	-4,23
9,43	19,66	0,00	0,00	-7,92	0,00	-0,05	0,00	0,00	0,00	-0,10	0,00	-3,71
10,37	21,84	0,00	0,00	-7,84	0,00	-0,12	0,00	0,00	0,00	-0,01	4,13	0,00
11,27	22,46	0,00	0,00	-7,40	0,00	-0,29	0,00	0,00	0,25	0,00	15,31	0,00
12,00	22,27	0,00	1,64	-0,73	0,00	-0,29	0,00	0,00	0,47	0,00	17,71	0,00

Palo n° 5 - Tratto n° 1

X	N ⁺	N ⁻	T ⁺ y	T ⁻ y	T ⁺ z	T ⁻ z	M ⁺ t	M ⁻ t	M ⁺ y	M ⁻ y	M ⁺ z	M ⁻ z
0,00	0,00	-2,54	0,00	0,00	0,00	0,00	0,00	0,00	0,00	0,00	0,00	0,00
0,94	0,00	-11,60	0,00	-0,01	0,00	0,00	0,00	0,00	0,00	0,00	0,01	0,00
2,49	0,00	-27,26	0,00	-0,01	0,00	0,00	0,00	0,00	0,00	0,00	0,04	0,00
4,05	0,00	-41,43	0,00	-0,07	0,00	0,00	0,00	0,00	0,00	0,00	0,03	0,00
5,61	0,00	-54,34	0,01	-0,02	0,00	0,00	0,00	0,00	0,00	0,00	0,22	0,00
7,17	0,00	-60,73	0,00	-1,26	0,00	0,00	0,00	0,00	0,00	0,00	0,69	0,00
8,73	0,00	-64,36	0,00	-1,85	0,00	-0,01	0,00	0,00	0,00	-0,01	3,84	0,00
10,29	0,00	-68,65	11,83	0,00	0,00	-0,05	0,00	0,00	0,03	0,00	0,52	-0,79
11,22	0,00	-69,22	13,34	0,00	0,00	-0,07	0,00	0,00	0,09	0,00	0,00	-14,65
12,00	0,00	-68,36	10,04	0,00	0,00	-0,07	0,00	0,00	0,14	0,00	0,00	-23,37

Palo n° 6 - Tratto n° 1

X	N ⁺	N ⁻	T ⁺ y	T ⁻ y	T ⁺ z	T ⁻ z	M ⁺ t	M ⁻ t	M ⁺ y	M ⁻ y	M ⁺ z	M ⁻ z
0,00	0,10	0,00	0,00	-0,38	0,00	0,00	0,00	0,00	0,00	0,00	0,00	0,00
0,93	2,17	0,00	0,51	0,00	0,00	0,00	0,00	0,00	0,00	0,00	0,00	-0,03
1,55	3,85	0,00	0,00	-0,57	0,00	0,00	0,00	0,00	0,00	0,00	0,00	-0,05
2,48	5,86	0,00	0,49	0,00	0,00	0,00	0,00	0,00	0,00	0,00	0,01	0,00
3,09	7,33	0,00	0,00	-0,46	0,00	0,00	0,00	0,00	0,00	0,00	0,00	-0,03
4,02	9,28	0,00	0,94	0,00	0,00	0,00	0,00	0,00	0,00	0,00	0,00	-0,20
4,64	10,99	0,00	0,00	-0,81	0,00	0,00	0,00	0,00	0,00	0,00	0,00	-0,34
5,57	13,20	0,00	0,16	-0,04	0,00	0,00	0,00	0,00	0,00	0,00	0,00	-0,15
6,19	14,21	0,00	0,07	-0,24	0,02	0,00	0,00	0,00	0,00	0,00	0,02	-0,25
7,12	15,47	0,00	2,67	0,00	0,02	0,00	0,00	0,00	0,00	-0,02	0,00	-1,33
7,74	16,74	0,00	0,65	-0,05	0,05	0,00	0,00	0,00	0,00	-0,04	0,00	-2,56

8,67	18,19	0,00	3,76	0,00	0,05	0,00	0,00	0,00	0,00	0,00	-0,09	0,00	-4,22
9,28	20,42	0,00	0,00	-7,43	0,00	-0,04	0,00	0,00	0,00	0,00	-0,10	0,00	-3,88
10,21	24,83	0,00	0,00	-7,14	0,00	-0,10	0,00	0,00	0,00	0,00	-0,02	3,33	0,00
11,18	24,22	0,00	0,00	-6,78	0,00	-0,26	0,00	0,00	0,00	0,23	0,00	14,15	0,00
12,00	23,18	0,00	1,33	-1,71	0,00	-0,26	0,00	0,00	0,00	0,44	0,00	17,12	0,00

Palo n° 7 - Tratto n° 1

X	N ⁺	N ⁻	T ⁺ y	T ⁻ y	T ⁺ z	T ⁻ z	M ⁺ t	M ⁻ t	M ⁺ y	M ⁻ y	M ⁺ z	M ⁻ z
0,00	0,00	-2,54	0,00	0,00	0,00	0,00	0,00	0,00	0,00	0,00	0,00	0,00
0,92	0,00	-11,56	0,00	-0,01	0,00	0,00	0,00	0,00	0,00	0,00	0,01	0,00
2,46	0,00	-27,15	0,00	-0,02	0,00	0,00	0,00	0,00	0,00	0,00	0,04	0,00
3,99	0,00	-42,35	0,00	-0,03	0,00	0,00	0,00	0,00	0,00	0,00	0,01	0,00
5,53	0,00	-55,16	0,00	-0,26	0,00	0,00	0,00	0,00	0,00	0,00	0,33	0,00
7,06	0,00	-63,83	0,00	-1,09	0,00	0,00	0,00	0,00	0,00	0,00	0,75	0,00
8,60	0,00	-67,45	0,00	-1,82	0,00	0,00	0,00	0,00	0,00	-0,01	3,69	0,00
10,14	0,00	-71,75	10,84	0,00	0,00	-0,05	0,00	0,00	0,02	0,00	0,51	-0,48
11,14	0,00	-72,29	10,83	0,00	0,00	-0,06	0,00	0,00	0,08	0,00	0,00	-13,56
12,00	0,00	-71,33	7,02	0,00	0,00	-0,06	0,00	0,00	0,14	0,00	0,00	-20,80

Palo n° 8 - Tratto n° 1

X	N ⁺	N ⁻	T ⁺ y	T ⁻ y	T ⁺ z	T ⁻ z	M ⁺ t	M ⁻ t	M ⁺ y	M ⁻ y	M ⁺ z	M ⁻ z
0,00	0,11	0,00	0,00	-0,41	0,00	0,00	0,00	0,00	0,00	0,00	0,00	0,00
0,91	2,40	0,00	0,55	0,00	0,00	0,00	0,00	0,00	0,00	0,00	0,00	-0,03
1,52	4,46	0,00	0,00	-0,61	0,00	0,00	0,00	0,00	0,00	0,00	0,00	-0,05
2,44	6,59	0,00	0,54	0,00	0,00	0,00	0,00	0,00	0,00	0,00	0,01	0,00
3,05	8,34	0,00	0,00	-0,48	0,00	0,00	0,00	0,00	0,00	0,00	0,00	-0,04
3,96	10,28	0,00	1,01	0,00	0,00	0,00	0,00	0,00	0,00	0,00	0,00	-0,23
4,57	12,47	0,00	0,00	-0,88	0,00	0,00	0,00	0,00	0,00	0,00	0,00	-0,37
5,49	14,79	0,00	0,13	-0,05	0,00	0,00	0,00	0,00	0,00	0,00	0,00	-0,14
6,10	15,64	0,00	0,02	-0,26	0,02	0,00	0,00	0,00	0,00	0,00	0,03	-0,23
7,01	16,18	0,00	2,72	0,00	0,02	0,00	0,00	0,00	0,00	-0,02	0,00	-1,29
7,62	17,73	0,00	0,72	-0,04	0,05	0,00	0,00	0,00	0,00	-0,04	0,00	-2,52
8,53	18,99	0,00	3,93	0,00	0,05	0,00	0,00	0,00	0,00	-0,08	0,00	-4,29
9,14	24,09	0,00	0,00	-6,87	0,00	-0,03	0,00	0,00	0,00	-0,10	0,00	-4,16
10,06	28,99	0,00	0,00	-6,71	0,00	-0,09	0,00	0,00	0,00	-0,03	2,53	-0,01
11,09	28,62	0,00	0,00	-6,40	0,00	-0,23	0,00	0,00	0,20	0,00	13,28	0,00
12,00	27,18	0,00	1,22	-1,90	0,00	-0,23	0,00	0,00	0,41	0,00	16,55	0,00

Palo n° 9 - Tratto n° 1

X	N ⁺	N ⁻	T ⁺ y	T ⁻ y	T ⁺ z	T ⁻ z	M ⁺ t	M ⁻ t	M ⁺ y	M ⁻ y	M ⁺ z	M ⁻ z
0,00	0,00	-2,65	0,00	0,00	0,00	0,00	0,00	0,00	0,00	0,00	0,00	0,00
0,91	0,00	-12,08	0,00	-0,01	0,00	0,00	0,00	0,00	0,00	0,00	0,01	0,00
2,42	0,00	-28,34	0,00	-0,02	0,00	0,00	0,00	0,00	0,00	0,00	0,04	0,00
3,93	0,00	-44,17	0,00	-0,03	0,00	0,00	0,00	0,00	0,00	0,00	0,02	0,00
5,44	0,00	-57,49	0,00	-0,26	0,00	0,00	0,00	0,00	0,00	0,00	0,34	0,00
6,96	0,00	-66,50	0,00	-1,11	0,00	0,00	0,00	0,00	0,00	0,00	0,75	0,00
8,47	0,00	-70,30	0,00	-2,00	0,00	0,00	0,00	0,00	0,00	-0,01	3,76	0,00
9,98	0,00	-74,78	10,30	0,00	0,00	-0,04	0,00	0,00	0,02	0,00	0,74	0,00
11,05	0,00	-75,34	9,37	0,00	0,00	-0,06	0,00	0,00	0,08	0,00	0,00	-12,95
12,00	0,00	-74,28	4,43	-0,03	0,00	-0,06	0,00	0,00	0,13	0,00	0,00	-18,87

Palo n° 10 - Tratto n° 1

X	N ⁺	N ⁻	T ⁺ y	T ⁻ y	T ⁺ z	T ⁻ z	M ⁺ t	M ⁻ t	M ⁺ y	M ⁻ y	M ⁺ z	M ⁻ z
0,00	0,11	0,00	0,00	-0,40	0,00	0,00	0,00	0,00	0,00	0,00	0,00	0,00
0,90	3,10	0,00	0,54	0,00	0,00	0,00	0,00	0,00	0,00	0,00	0,00	-0,03
1,50	5,62	0,00	0,00	-0,60	0,00	0,00	0,00	0,00	0,00	0,00	0,00	-0,05
2,40	8,35	0,00	0,52	0,00	0,00	0,00	0,00	0,00	0,00	0,00	0,01	0,00
3,00	10,45	0,00	0,00	-0,48	0,00	0,00	0,00	0,00	0,00	0,00	0,00	-0,03
3,90	12,92	0,00	0,97	0,00	0,00	0,00	0,00	0,00	0,00	0,00	0,00	-0,21
4,50	15,46	0,00	0,00	-0,85	0,00	0,00	0,00	0,00	0,00	0,00	0,00	-0,33
5,40	18,26	0,00	0,19	-0,04	0,00	0,00	0,00	0,00	0,00	0,00	0,00	-0,14
6,00	19,18	0,00	0,16	-0,22	0,02	0,00	0,00	0,00	0,00	0,00	0,02	-0,29
6,90	19,89	0,00	2,81	0,00	0,02	0,00	0,00	0,00	0,00	-0,02	0,00	-1,44
7,50	21,51	0,00	0,95	0,00	0,05	0,00	0,00	0,00	0,00	-0,04	0,00	-2,74
8,40	23,02	0,00	4,01	0,00	0,05	0,00	0,00	0,00	0,00	-0,08	0,00	-4,63
9,00	28,35	0,00	0,00	-7,09	0,00	-0,02	0,00	0,00	0,00	-0,10	0,00	-4,52
9,90	33,73	0,00	0,00	-7,14	0,00	-0,08	0,00	0,00	0,00	-0,04	2,43	0,00
11,00	32,21	0,00	0,02	-4,74	0,00	-0,20	0,00	0,00	0,18	0,00	13,44	0,00
12,00	28,20	0,00	4,41	0,00	0,00	-0,20	0,00	0,00	0,39	0,00	12,71	0,00

Palo n° 11 - Tratto n° 1

X	N ⁺	N ⁻	T ⁺ y	T ⁻ y	T ⁺ z	T ⁻ z	M ⁺ t	M ⁻ t	M ⁺ y	M ⁻ y	M ⁺ z	M ⁻ z
0,00	0,00	-2,79	0,00	0,00	0,00	0,00	0,00	0,00	0,00	0,00	0,00	0,00
0,89	0,00	-12,70	0,00	-0,01	0,00	0,00	0,00	0,00	0,00	0,00	0,01	0,00
2,38	0,00	-29,79	0,00	-0,02	0,00	0,00	0,00	0,00	0,00	0,00	0,05	0,00
3,87	0,00	-46,39	0,00	-0,02	0,00	0,00	0,00	0,00	0,00	0,00	0,02	0,00
5,36	0,00	-60,34	0,00	-0,21	0,00	0,00	0,00	0,00	0,00	0,00	0,29	0,00
6,85	0,00	-69,79	0,00	-1,15	0,00	0,00	0,00	0,00	0,00	0,00	0,69	0,00
8,34	0,00	-73,81	0,00	-2,31	0,00	0,00	0,00	0,00	0,00	-0,01	3,87	0,00
9,83	0,00	-78,52	9,61	0,00	0,00	-0,04	0,00	0,00	0,01	0,00	1,65	0,00
10,96	0,00	-79,10	8,98	0,00	0,00	-0,05	0,00	0,00	0,07	0,00	0,00	-12,43
12,00	0,00	-77,95	2,94	-0,35	0,00	-0,05	0,00	0,00	0,12	0,00	0,00	-17,87

Palo n° 12 - Tratto n° 1

X	N ⁺	N ⁻	T ⁺ y	T ⁻ y	T ⁺ z	T ⁻ z	M ⁺ t	M ⁻ t	M ⁺ y	M ⁻ y	M ⁺ z	M ⁻ z
0,00	0,11	0,00	0,00	-0,42	0,00	0,00	0,00	0,00	0,00	0,00	0,00	0,00
0,89	3,75	0,00	0,54	0,00	0,00	0,00	0,00	0,00	0,00	0,00	0,00	-0,03
1,48	6,68	0,00	0,00	-0,55	0,00	0,00	0,00	0,00	0,00	0,00	0,00	-0,05
2,36	10,34	0,00	0,44	0,00	0,00	0,00	0,00	0,00	0,00	0,00	0,00	-0,01
2,95	12,73	0,00	0,00	-0,52	0,00	0,00	0,00	0,00	0,00	0,00	0,00	-0,02
3,84	15,68	0,00	0,99	0,00	0,00	0,00	0,00	0,00	0,00	0,00	0,00	-0,18
4,43	18,55	0,00	0,00	-0,81	0,00	0,00	0,00	0,00	0,00	0,00	0,00	-0,32
5,32	21,75	0,00	0,32	0,00	0,01	0,00	0,00	0,00	0,00	0,00	0,00	-0,21
5,91	22,72	0,00	0,38	-0,15	0,02	0,00	0,00	0,00	0,00	0,00	0,00	-0,46
6,80	23,55	0,00	3,17	0,00	0,02	0,00	0,00	0,00	0,00	-0,02	0,00	-1,87
7,39	25,40	0,00	0,99	0,00	0,04	0,00	0,00	0,00	0,00	-0,04	0,00	-3,32
8,27	27,32	0,00	3,95	0,00	0,04	0,00	0,00	0,00	0,00	-0,08	0,00	-5,12
8,86	33,60	0,00	0,00	-8,99	0,00	-0,05	0,00	0,00	0,00	-0,09	0,00	-4,49
9,75	39,64	0,00	0,00	-12,96	0,00	-0,15	0,00	0,00	0,00	-0,01	3,93	0,00
10,91	34,72	0,00	0,79	-1,87	0,00	-0,15	0,00	0,00	0,16	0,00	12,97	0,00
12,00	30,23	0,00	8,32	0,00	0,00	-0,15	0,00	0,00	0,33	0,00	8,45	-0,94

Palo n° 13 - Tratto n° 1

X	N ⁺	N ⁻	T ⁺ y	T ⁻ y	T ⁺ z	T ⁻ z	M ⁺ t	M ⁻ t	M ⁺ y	M ⁻ y	M ⁺ z	M ⁻ z
0,00	0,00	-2,89	0,00	0,00	0,00	0,00	0,00	0,00	0,00	0,00	0,00	0,00
1,03	0,00	-14,94	0,00	-0,02	0,00	0,00	0,00	0,00	0,00	0,00	0,02	0,00
2,75	0,00	-35,90	0,03	0,00	0,00	0,00	0,00	0,00	0,00	0,00	0,06	0,00
4,47	0,00	-53,72	0,00	-0,14	0,00	0,00	0,00	0,00	0,00	0,00	0,03	0,00
6,19	0,00	-71,73	0,02	-0,38	0,00	0,00	0,00	0,00	0,00	0,00	0,65	0,00
7,90	0,00	-77,91	0,00	-2,51	0,00	0,00	0,00	0,00	0,00	-0,01	3,24	0,00
9,62	0,00	-83,53	8,98	0,00	0,00	-0,03	0,00	0,00	0,01	0,00	2,17	0,00
10,55	0,00	-84,48	10,06	0,00	0,00	-0,05	0,00	0,00	0,05	0,00	0,00	-9,26
11,27	0,00	-83,68	3,73	-0,04	0,00	-0,05	0,00	0,00	0,08	0,00	0,00	-14,20
12,00	0,00	-82,87	0,75	-0,78	0,00	-0,05	0,00	0,00	0,12	0,00	0,00	-15,51

Palo n° 14 - Tratto n° 1

X	N ⁺	N ⁻	T ⁺ y	T ⁻ y	T ⁺ z	T ⁻ z	M ⁺ t	M ⁻ t	M ⁺ y	M ⁻ y	M ⁺ z	M ⁻ z
0,00	0,14	0,00	0,00	-0,51	0,00	0,00	0,00	0,00	0,00	0,00	0,00	0,00
1,02	5,05	0,00	0,67	0,00	0,00	0,00	0,00	0,00	0,00	0,00	0,00	-0,04
1,70	9,00	0,00	0,00	-0,76	0,00	0,00	0,00	0,00	0,00	0,00	0,00	-0,06
2,73	13,45	0,00	0,73	0,00	0,00	0,00	0,00	0,00	0,00	0,00	0,00	0,00
3,41	16,71	0,00	0,00	-0,64	0,00	0,00	0,00	0,00	0,00	0,00	0,00	-0,09
4,43	20,78	0,00	1,39	0,00	0,00	0,00	0,00	0,00	0,00	0,00	0,00	-0,36
5,11	25,07	0,00	0,00	-1,89	0,01	0,00	0,00	0,00	0,01	0,00	0,00	-0,43
6,14	26,48	0,00	1,96	0,00	0,01	0,00	0,00	0,00	0,00	-0,01	0,00	-0,71
6,82	28,14	0,00	0,92	-0,05	0,04	0,00	0,00	0,00	0,00	-0,02	0,00	-1,83
7,84	29,75	0,00	4,74	0,00	0,04	0,00	0,00	0,00	0,00	-0,06	0,00	-4,29
8,52	35,12	0,00	0,00	-5,60	0,00	0,00	0,00	0,00	0,00	-0,08	0,00	-5,06
9,55	41,27	0,00	0,00	-5,65	0,00	-0,04	0,00	0,00	0,00	-0,05	1,24	-0,17
10,49	41,52	0,00	0,00	-6,39	0,00	-0,16	0,00	0,00	0,09	0,00	10,57	0,00
11,25	38,61	0,00	1,30	0,00	0,00	-0,16	0,00	0,00	0,21	0,00	12,79	0,00
12,00	37,57	0,00	3,81	0,00	0,00	-0,16	0,00	0,00	0,33	0,00	10,89	-0,12

Palo n° 15 - Tratto n° 1

X	N ⁺	N ⁻	T ⁺ y	T ⁻ y	T ⁺ z	T ⁻ z	M ⁺ t	M ⁻ t	M ⁺ y	M ⁻ y	M ⁺ z	M ⁻ z
0,00	0,00	-2,98	0,00	0,00	0,00	0,00	0,00	0,00	0,00	0,00	0,00	0,00
1,01	0,00	-15,40	0,00	-0,01	0,00	0,00	0,00	0,00	0,00	0,00	0,01	0,00

2,71	0,00	-36,96	0,00	-0,01	0,00	0,00	0,00	0,00	0,00	0,00	0,00	0,06	0,00
4,40	0,00	-56,80	0,00	-0,14	0,00	0,00	0,00	0,00	0,00	0,00	0,00	0,03	0,00
6,09	0,00	-75,29	0,01	-0,43	0,00	0,00	0,00	0,00	0,00	0,00	0,00	0,70	0,00
7,78	0,00	-81,68	0,00	-2,58	0,00	0,00	0,00	0,00	0,00	0,00	-0,01	3,35	0,00
9,47	0,00	-87,50	8,84	0,00	0,00	-0,03	0,00	0,00	0,00	0,00	0,00	2,45	0,00
10,43	0,00	-88,48	9,27	0,00	0,00	-0,04	0,00	0,00	0,00	0,04	0,00	0,00	-9,15
11,22	0,00	-87,61	2,14	-0,36	0,00	-0,04	0,00	0,00	0,00	0,08	0,00	0,00	-13,53
12,00	0,00	-86,74	0,00	-1,20	0,00	-0,04	0,00	0,00	0,00	0,11	0,00	0,00	-13,52

Palo n° 16 - Tratto n° 1

X	N ⁺	N ⁻	T ⁺ y	T ⁻ y	T ⁺ z	T ⁻ z	M ⁺ t	M ⁻ t	M ⁺ y	M ⁻ y	M ⁺ z	M ⁻ z
0,00	0,14	0,00	0,00	-0,53	0,00	0,00	0,00	0,00	0,00	0,00	0,00	0,00
1,01	5,77	0,00	0,70	0,00	0,00	0,00	0,00	0,00	0,00	0,00	0,00	-0,04
1,68	10,23	0,00	0,00	-0,79	0,00	0,00	0,00	0,00	0,00	0,00	0,00	-0,07
2,68	15,32	0,00	0,71	0,00	0,00	0,00	0,00	0,00	0,00	0,00	0,02	0,00
3,35	18,95	0,00	0,00	-0,69	0,00	0,00	0,00	0,00	0,00	0,00	0,00	-0,05
4,36	23,57	0,00	1,32	0,00	0,00	0,00	0,00	0,00	0,00	0,00	0,00	-0,28
5,03	28,04	0,00	0,00	-1,43	0,01	0,00	0,00	0,00	0,00	0,00	0,00	-0,41
6,04	29,67	0,00	2,26	0,00	0,01	0,00	0,00	0,00	0,00	-0,01	0,00	-1,02
6,71	31,39	0,00	1,39	0,00	0,04	0,00	0,00	0,00	0,00	-0,03	0,00	-2,42
7,71	33,45	0,00	4,82	0,00	0,04	0,00	0,00	0,00	0,00	-0,06	0,00	-5,12
8,39	39,75	0,00	0,00	-7,19	0,00	-0,02	0,00	0,00	0,00	-0,08	0,00	-5,51
9,39	47,18	0,00	0,00	-12,35	0,00	-0,11	0,00	0,00	0,00	-0,02	2,85	0,00
10,38	44,00	0,00	0,00	-4,66	0,00	-0,11	0,00	0,00	0,09	0,00	11,20	0,00
11,19	40,46	0,00	3,27	0,00	0,00	-0,11	0,00	0,00	0,18	0,00	11,82	0,00
12,00	38,59	0,00	8,32	0,00	0,00	-0,11	0,00	0,00	0,28	0,00	6,61	-1,35

Palo n° 17 - Tratto n° 1

X	N ⁺	N ⁻	T ⁺ y	T ⁻ y	T ⁺ z	T ⁻ z	M ⁺ t	M ⁻ t	M ⁺ y	M ⁻ y	M ⁺ z	M ⁻ z
0,00	0,00	-3,10	0,00	0,00	0,00	0,00	0,00	0,00	0,00	0,00	0,00	0,00
1,00	0,00	-15,97	0,00	-0,01	0,00	0,00	0,00	0,00	0,00	0,00	0,01	0,00
2,66	0,00	-38,30	0,00	-0,01	0,00	0,00	0,00	0,00	0,00	0,00	0,06	0,00
4,32	0,00	-58,79	0,00	-0,08	0,00	0,00	0,00	0,00	0,00	0,00	0,01	-0,01
5,99	0,00	-77,84	0,00	-0,49	0,00	0,00	0,00	0,00	0,00	0,00	0,54	0,00
7,65	0,00	-84,44	0,00	-2,79	0,00	0,00	0,00	0,00	0,00	-0,01	3,38	0,00
9,32	0,00	-90,44	7,96	0,00	0,00	-0,02	0,00	0,00	0,00	0,00	3,30	0,00
10,32	0,00	-91,45	9,48	0,00	0,00	-0,04	0,00	0,00	0,04	0,00	0,00	-8,37
11,16	0,00	-90,52	2,44	-0,26	0,00	-0,04	0,00	0,00	0,07	0,00	0,00	-13,39
12,00	0,00	-89,59	0,00	-1,68	0,00	-0,04	0,00	0,00	0,10	0,00	0,00	-13,24

Palo n° 18 - Tratto n° 1

X	N ⁺	N ⁻	T ⁺ y	T ⁻ y	T ⁺ z	T ⁻ z	M ⁺ t	M ⁻ t	M ⁺ y	M ⁻ y	M ⁺ z	M ⁻ z
0,00	0,14	0,00	0,00	-0,51	0,00	0,00	0,00	0,00	0,00	0,00	0,00	0,00
0,99	6,36	0,00	0,69	0,00	0,00	0,00	0,00	0,00	0,00	0,00	0,00	-0,04
1,65	11,23	0,00	0,00	-0,80	0,00	0,00	0,00	0,00	0,00	0,00	0,00	-0,06
2,64	16,86	0,00	0,66	0,00	0,00	0,00	0,00	0,00	0,00	0,00	0,05	0,00
3,30	20,76	0,00	0,00	-0,70	0,00	0,00	0,00	0,00	0,00	0,00	0,04	-0,01
4,29	25,77	0,00	1,29	0,00	0,00	0,00	0,00	0,00	0,00	0,00	0,00	-0,21
4,95	30,18	0,00	0,00	-0,55	0,01	0,00	0,00	0,00	0,00	0,00	0,00	-0,55
5,94	33,60	0,00	2,18	0,00	0,02	0,00	0,00	0,00	0,00	-0,01	0,00	-1,31
6,60	35,32	0,00	1,52	0,00	0,03	0,00	0,00	0,00	0,00	-0,02	0,00	-2,76
7,59	37,57	0,00	4,95	0,00	0,04	0,00	0,00	0,00	0,00	-0,06	0,00	-5,49
8,25	44,29	0,00	0,00	-7,79	0,00	-0,02	0,00	0,00	0,00	-0,08	0,00	-5,77
9,24	51,76	0,00	0,00	-12,71	0,00	-0,10	0,00	0,00	0,00	-0,03	2,99	0,00
10,26	48,34	0,00	0,00	-4,51	0,00	-0,10	0,00	0,00	0,08	0,00	11,79	0,00
11,13	43,86	0,00	5,19	0,00	0,00	-0,10	0,00	0,00	0,17	0,00	11,77	0,00
12,00	39,66	0,00	14,39	0,00	0,00	-0,10	0,00	0,00	0,25	0,00	2,46	-2,30

Palo n° 19 - Tratto n° 1

X	N ⁺	N ⁻	T ⁺ y	T ⁻ y	T ⁺ z	T ⁻ z	M ⁺ t	M ⁻ t	M ⁺ y	M ⁻ y	M ⁺ z	M ⁻ z
0,00	0,00	-3,21	0,00	0,00	0,00	0,00	0,00	0,00	0,00	0,00	0,00	0,00
0,98	0,00	-16,49	0,00	-0,01	0,00	0,00	0,00	0,00	0,00	0,00	0,01	0,00
2,62	0,00	-39,51	0,00	0,00	0,00	0,00	0,00	0,00	0,00	0,00	0,06	0,00
4,25	0,00	-60,59	0,00	-0,08	0,00	0,00	0,00	0,00	0,00	0,00	0,01	-0,02
5,89	0,00	-80,12	0,00	-0,57	0,00	0,00	0,00	0,00	0,00	0,00	0,56	0,00
7,53	0,00	-86,92	0,00	-2,88	0,00	0,00	0,00	0,00	0,00	-0,01	3,50	0,00
9,16	0,00	-93,07	7,76	0,00	0,00	-0,02	0,00	0,00	0,00	0,00	3,61	0,00
10,21	0,00	-94,09	8,99	0,00	0,00	-0,04	0,00	0,00	0,03	0,00	0,00	-8,24
11,10	0,00	-93,10	1,46	-0,46	0,00	-0,04	0,00	0,00	0,06	0,00	0,00	-12,94

12,00 0,00 -92,10 0,00 -3,08 0,00 -0,04 0,00 0,00 0,00 0,09 0,00 0,00 -11,67

Palo n° 20 - Tratto n° 1

X	N ⁺	N ⁻	T ⁺ y	T ⁻ y	T ⁺ z	T ⁻ z	M ⁺ t	M ⁻ t	M ⁺ y	M ⁻ y	M ⁺ z	M ⁻ z
0,00	0,13	0,00	0,00	-0,50	0,00	0,00	0,00	0,00	0,00	0,00	0,00	0,00
0,97	6,96	0,00	0,68	0,00	0,00	0,00	0,00	0,00	0,00	0,00	0,00	-0,04
1,62	12,23	0,00	0,00	-0,80	0,00	0,00	0,00	0,00	0,00	0,00	0,00	-0,06
2,60	18,38	0,00	0,65	0,00	0,00	0,00	0,00	0,00	0,00	0,00	0,05	0,00
3,24	22,57	0,00	0,00	-0,69	0,00	0,00	0,00	0,00	0,00	0,00	0,04	-0,01
4,22	28,02	0,00	1,31	0,00	0,00	0,00	0,00	0,00	0,00	0,00	0,00	-0,22
4,87	32,69	0,00	0,00	-0,43	0,01	0,00	0,00	0,00	0,00	0,00	0,00	-0,60
5,84	36,40	0,00	2,31	0,00	0,02	0,00	0,00	0,00	0,00	-0,01	0,00	-1,49
6,49	38,22	0,00	1,61	0,00	0,03	0,00	0,00	0,00	0,00	-0,02	0,00	-2,98
7,46	40,66	0,00	5,00	0,00	0,04	0,00	0,00	0,00	0,00	-0,05	0,00	-5,72
8,11	47,65	0,00	0,00	-8,40	0,00	-0,01	0,00	0,00	0,00	-0,07	0,00	-5,91
9,08	55,02	0,00	0,00	-12,63	0,00	-0,09	0,00	0,00	0,00	-0,03	3,00	0,00
10,15	51,33	0,00	0,00	-3,87	0,00	-0,09	0,00	0,00	0,07	0,00	11,68	0,00
11,07	47,09	0,00	5,54	0,00	0,00	-0,09	0,00	0,00	0,15	0,00	11,00	0,00
12,00	44,73	0,00	11,68	0,00	0,00	-0,09	0,00	0,00	0,23	0,00	2,35	-2,27

Palo n° 21 - Tratto n° 1

X	N ⁺	N ⁻	T ⁺ y	T ⁻ y	T ⁺ z	T ⁻ z	M ⁺ t	M ⁻ t	M ⁺ y	M ⁻ y	M ⁺ z	M ⁻ z
0,00	0,00	-3,27	0,00	0,00	0,00	0,00	0,00	0,00	0,00	0,00	0,00	0,00
0,97	0,00	-16,75	0,00	-0,02	0,00	0,00	0,00	0,00	0,00	0,00	0,02	0,00
2,57	0,00	-40,08	0,01	0,00	0,00	0,00	0,00	0,00	0,00	0,00	0,07	0,00
4,18	0,00	-61,39	0,00	-0,06	0,00	0,00	0,00	0,00	0,00	0,00	0,00	-0,06
5,79	0,00	-81,06	0,00	-1,04	0,00	0,00	0,00	0,00	0,00	0,00	0,78	0,00
7,40	0,00	-91,28	0,00	-2,89	0,01	0,00	0,00	0,00	0,00	-0,01	3,76	0,00
9,01	0,00	-97,50	8,31	0,00	0,00	-0,02	0,00	0,00	0,00	-0,01	3,57	0,00
10,09	0,00	-98,51	8,21	0,00	0,00	-0,03	0,00	0,00	0,03	0,00	0,00	-8,83
11,05	0,00	-97,45	0,00	-0,92	0,00	-0,03	0,00	0,00	0,06	0,00	0,00	-12,41
12,00	0,00	-96,39	0,00	-5,30	0,00	-0,03	0,00	0,00	0,09	0,00	0,07	-8,94

Palo n° 22 - Tratto n° 1

X	N ⁺	N ⁻	T ⁺ y	T ⁻ y	T ⁺ z	T ⁻ z	M ⁺ t	M ⁻ t	M ⁺ y	M ⁻ y	M ⁺ z	M ⁻ z
0,00	0,14	0,00	0,00	-0,52	0,00	0,00	0,00	0,00	0,00	0,00	0,00	0,00
0,96	7,48	0,00	0,70	0,00	0,00	0,00	0,00	0,00	0,00	0,00	0,00	-0,04
1,59	13,11	0,00	0,00	-0,81	0,00	0,00	0,00	0,00	0,00	0,00	0,00	-0,06
2,55	19,71	0,00	0,65	0,00	0,00	0,00	0,00	0,00	0,00	0,00	0,05	0,00
3,19	24,15	0,00	0,00	-0,69	0,00	0,00	0,00	0,00	0,00	0,00	0,04	0,00
4,15	30,01	0,00	1,25	0,00	0,00	0,00	0,00	0,00	0,00	0,00	0,00	-0,19
4,78	34,96	0,00	0,00	-0,50	0,01	0,00	0,00	0,00	0,00	0,00	0,00	-0,50
5,74	38,98	0,00	2,09	0,00	0,01	0,00	0,00	0,00	0,00	-0,01	0,00	-1,26
6,38	40,80	0,00	1,64	0,00	0,03	0,00	0,00	0,00	0,00	-0,02	0,00	-2,62
7,34	43,31	0,00	4,72	0,00	0,03	0,00	0,00	0,00	0,00	-0,05	0,00	-5,29
7,97	49,56	0,00	0,00	-6,45	0,00	-0,01	0,00	0,00	0,00	-0,06	0,00	-5,82
8,93	56,90	0,00	0,00	-11,00	0,00	-0,08	0,00	0,00	0,00	-0,03	1,48	0,00
10,04	54,48	0,00	0,00	-4,30	0,00	-0,08	0,00	0,00	0,06	0,00	9,56	0,00
11,02	52,14	0,00	1,92	0,00	0,00	-0,08	0,00	0,00	0,13	0,00	10,70	0,00
12,00	51,29	0,00	5,58	0,00	0,00	-0,08	0,00	0,00	0,21	0,00	6,60	-1,33

Palo n° 23 - Tratto n° 1

X	N ⁺	N ⁻	T ⁺ y	T ⁻ y	T ⁺ z	T ⁻ z	M ⁺ t	M ⁻ t	M ⁺ y	M ⁻ y	M ⁺ z	M ⁻ z
0,00	0,00	-3,36	0,00	0,00	0,00	0,00	0,00	0,00	0,00	0,00	0,00	0,00
0,95	0,00	-17,18	0,00	-0,02	0,00	0,00	0,00	0,00	0,00	0,00	0,02	0,00
2,53	0,00	-41,08	0,02	0,00	0,00	0,00	0,00	0,00	0,00	0,00	0,06	0,00
4,11	0,00	-62,86	0,00	-0,07	0,00	0,00	0,00	0,00	0,00	0,00	0,00	-0,07
5,69	0,00	-82,89	0,00	-1,18	0,00	0,00	0,00	0,00	0,00	0,00	0,84	0,00
7,27	0,00	-93,29	0,00	-3,03	0,01	0,00	0,00	0,00	0,00	-0,01	4,02	0,00
8,85	0,00	-99,61	8,63	0,00	0,00	-0,02	0,00	0,00	0,00	-0,01	3,81	0,00
9,98	0,00	-100,57	7,92	0,00	0,00	-0,03	0,00	0,00	0,02	0,00	0,00	-9,15
10,99	0,00	-99,45	0,00	-1,97	0,00	-0,03	0,00	0,00	0,06	0,00	0,00	-12,21
12,00	0,00	-98,33	0,00	-7,70	0,00	-0,03	0,00	0,00	0,09	0,00	0,63	-6,57

Palo n° 24 - Tratto n° 1

X	N ⁺	N ⁻	T ⁺ y	T ⁻ y	T ⁺ z	T ⁻ z	M ⁺ t	M ⁻ t	M ⁺ y	M ⁻ y	M ⁺ z	M ⁻ z
0,00	0,14	0,00	0,00	-0,51	0,00	0,00	0,00	0,00	0,00	0,00	0,00	0,00
0,94	8,01	0,00	0,69	0,00	0,00	0,00	0,00	0,00	0,00	0,00	0,00	-0,04

1,57	14,00	0,00	0,00	-0,83	0,00	0,00	0,00	0,00	0,00	0,00	0,00	0,00	-0,05
2,51	21,06	0,00	0,63	0,00	0,00	0,00	0,00	0,00	0,00	0,00	0,00	0,08	0,00
3,13	25,74	0,00	0,00	-0,68	0,00	0,00	0,00	0,00	0,00	0,00	0,00	0,08	0,00
4,08	31,93	0,00	1,32	0,00	0,00	0,00	0,00	0,00	0,00	0,00	0,00	0,00	-0,20
4,70	36,99	0,00	0,18	-0,29	0,01	0,00	0,00	0,00	0,00	0,00	0,00	0,00	-0,66
5,64	41,16	0,00	2,65	0,00	0,01	0,00	0,00	0,00	0,00	0,00	-0,01	0,00	-1,91
6,27	43,11	0,00	2,02	0,00	0,03	0,00	0,00	0,00	0,00	0,00	-0,02	0,00	-3,55
7,21	45,92	0,00	5,14	0,00	0,03	0,00	0,00	0,00	0,00	0,00	-0,04	0,00	-6,41
7,84	53,36	0,00	0,00	-9,55	0,00	-0,01	0,00	0,00	0,00	0,00	-0,06	0,00	-6,53
8,78	60,84	0,00	0,00	-12,90	0,00	-0,06	0,00	0,00	0,00	0,00	-0,03	2,88	0,00
9,92	57,27	0,00	0,00	-4,04	0,00	-0,06	0,00	0,00	0,00	0,05	0,00	12,07	0,00
10,96	52,47	0,00	6,58	0,00	0,00	-0,06	0,00	0,00	0,00	0,11	0,00	11,09	0,00
12,00	47,67	0,00	17,19	0,00	0,00	-0,06	0,00	0,00	0,00	0,18	0,00	0,00	-3,45

Palo n° 25 - Tratto n° 1

X	N ⁺	N ⁻	T ⁺ y	T _y	T ⁺ z	T _z	M ⁺ t	M _t	M ⁺ y	M _y	M ⁺ z	M _z
0,00	0,00	-3,46	0,00	0,00	0,00	0,00	0,00	0,00	0,00	0,00	0,00	0,00
0,93	0,00	-17,60	0,00	-0,02	0,00	0,00	0,00	0,00	0,00	0,00	0,02	0,00
2,49	0,00	-42,02	0,02	0,00	0,00	0,00	0,00	0,00	0,00	0,00	0,06	0,00
4,04	0,00	-64,22	0,00	-0,02	0,00	0,00	0,00	0,00	0,00	0,00	0,00	-0,09
5,59	0,00	-84,58	0,00	-1,17	0,00	0,00	0,00	0,00	0,00	0,00	0,69	0,00
7,15	0,00	-95,14	0,00	-3,17	0,01	0,00	0,00	0,00	0,00	-0,01	4,03	0,00
8,70	0,00	-101,55	7,84	0,00	0,00	-0,01	0,00	0,00	0,00	-0,01	4,43	0,00
9,87	0,00	-102,45	7,91	0,00	0,00	-0,03	0,00	0,00	0,02	0,00	0,00	-8,26
10,93	0,00	-101,26	0,00	-1,13	0,00	-0,03	0,00	0,00	0,05	0,00	0,00	-12,09
12,00	0,00	-100,08	0,00	-7,53	0,00	-0,03	0,00	0,00	0,09	0,00	0,68	-6,73

Palo n° 26 - Tratto n° 1

X	N ⁺	N ⁻	T ⁺ y	T _y	T ⁺ z	T _z	M ⁺ t	M _t	M ⁺ y	M _y	M ⁺ z	M _z
0,00	0,13	0,00	0,00	-0,50	0,00	0,00	0,00	0,00	0,00	0,00	0,00	0,00
0,92	8,31	0,00	0,68	0,00	0,00	0,00	0,00	0,00	0,00	0,00	0,00	-0,04
1,54	14,50	0,00	0,00	-0,84	0,00	0,00	0,00	0,00	0,00	0,00	0,00	-0,05
2,46	21,82	0,00	0,57	0,00	0,00	0,00	0,00	0,00	0,00	0,00	0,11	0,00
3,08	26,62	0,00	0,00	-0,68	0,00	0,00	0,00	0,00	0,00	0,00	0,13	0,00
4,00	32,97	0,00	1,28	0,00	0,00	0,00	0,00	0,00	0,00	0,00	0,00	-0,14
4,62	37,89	0,00	0,82	-0,01	0,01	0,00	0,00	0,00	0,00	0,00	0,00	-0,76
5,54	44,05	0,00	2,64	0,00	0,01	0,00	0,00	0,00	0,00	-0,01	0,00	-2,40
6,16	45,97	0,00	2,16	0,00	0,02	0,00	0,00	0,00	0,00	-0,02	0,00	-4,08
7,08	48,95	0,00	5,11	0,00	0,02	0,00	0,00	0,00	0,00	-0,04	0,00	-6,86
7,70	56,77	0,00	0,00	-10,85	0,00	-0,01	0,00	0,00	0,00	-0,05	0,00	-6,77
8,62	64,14	0,00	0,00	-12,94	0,00	-0,05	0,00	0,00	0,00	-0,02	3,33	0,00
9,81	60,47	0,00	0,00	-3,68	0,00	-0,05	0,00	0,00	0,04	0,00	12,40	0,00
10,90	55,58	0,00	7,20	0,00	0,00	-0,05	0,00	0,00	0,09	0,00	10,81	0,00
12,00	50,77	0,00	17,96	0,00	0,00	-0,05	0,00	0,00	0,15	0,00	0,00	-4,11

Palo n° 27 - Tratto n° 1

X	N ⁺	N ⁻	T ⁺ y	T _y	T ⁺ z	T _z	M ⁺ t	M _t	M ⁺ y	M _y	M ⁺ z	M _z
0,00	0,00	-3,48	0,00	0,00	0,00	0,00	0,00	0,00	0,00	0,00	0,00	0,00
0,92	0,00	-17,61	0,00	-0,02	0,00	0,00	0,00	0,00	0,00	0,00	0,02	0,00
2,44	0,00	-42,00	0,02	0,00	0,00	0,00	0,00	0,00	0,00	0,00	0,05	0,00
3,97	0,00	-65,83	0,04	0,00	0,00	0,00	0,00	0,00	0,00	0,00	0,00	-0,12
5,49	0,00	-86,09	0,00	-1,51	0,00	0,00	0,00	0,00	0,00	0,00	0,80	0,00
7,02	0,00	-100,10	0,00	-3,14	0,01	0,00	0,00	0,00	0,00	-0,01	4,27	0,00
8,55	0,00	-106,51	8,24	0,00	0,00	-0,01	0,00	0,00	0,00	-0,01	4,52	0,00
9,75	0,00	-107,28	7,31	0,00	0,00	-0,03	0,00	0,00	0,02	0,00	0,00	-8,51
10,88	0,00	-106,03	0,00	-2,00	0,00	-0,03	0,00	0,00	0,06	0,00	0,00	-11,65
12,00	0,00	-104,78	0,00	-7,76	0,00	-0,03	0,00	0,00	0,09	0,00	1,06	-5,38

Palo n° 28 - Tratto n° 1

X	N ⁺	N ⁻	T ⁺ y	T _y	T ⁺ z	T _z	M ⁺ t	M _t	M ⁺ y	M _y	M ⁺ z	M _z
0,00	0,13	0,00	0,00	-0,49	0,00	0,00	0,00	0,00	0,00	0,00	0,00	0,00
0,91	8,57	0,00	0,66	0,00	0,00	0,00	0,00	0,00	0,00	0,00	0,00	-0,04
1,51	14,91	0,00	0,00	-0,81	0,00	0,00	0,00	0,00	0,00	0,00	0,00	-0,04
2,42	22,46	0,00	0,54	0,00	0,00	0,00	0,00	0,00	0,00	0,00	0,11	0,00
3,03	27,35	0,00	0,00	-0,64	0,00	0,00	0,00	0,00	0,00	0,00	0,13	0,00
3,93	33,91	0,00	1,21	0,00	0,00	0,00	0,00	0,00	0,00	0,00	0,00	-0,13
4,54	38,95	0,00	0,74	0,00	0,00	0,00	0,00	0,00	0,00	0,00	0,00	-0,70
5,45	45,31	0,00	2,43	0,00	0,01	0,00	0,00	0,00	0,00	0,00	0,00	-2,18
6,05	47,24	0,00	2,07	0,00	0,02	0,00	0,00	0,00	0,00	-0,01	0,00	-3,71

6,96	50,25	0,00	4,72	0,00	0,02	0,00	0,00	0,00	0,00	0,00	-0,03	0,00	-6,29
7,56	57,35	0,00	0,00	-9,11	0,00	0,00	0,00	0,00	0,00	0,00	-0,04	0,00	-6,40
8,47	64,44	0,00	0,00	-11,24	0,00	-0,04	0,00	0,00	0,00	0,00	-0,02	2,20	0,00
9,69	61,70	0,00	0,12	-3,36	0,00	-0,04	0,00	0,00	0,00	0,03	0,00	10,13	0,00
10,85	58,96	0,00	3,95	0,00	0,00	-0,04	0,00	0,00	0,00	0,07	0,00	9,82	0,00
12,00	57,59	0,00	8,89	0,00	0,00	-0,04	0,00	0,00	0,00	0,12	0,00	1,79	-2,90

Palo n° 29 - Tratto n° 1

X	N ⁺	N ⁻	T ⁺ y	T ⁻ y	T ⁺ z	T ⁻ z	M ⁺ t	M ⁻ t	M ⁺ y	M ⁻ y	M ⁺ z	M ⁻ z
0,00	0,00	-3,57	0,00	0,00	0,00	0,00	0,00	0,00	0,00	0,00	0,00	0,00
0,90	0,00	-18,03	0,00	-0,02	0,00	0,00	0,00	0,00	0,00	0,00	0,02	0,00
2,40	0,00	-42,95	0,03	0,00	0,00	0,00	0,00	0,00	0,00	0,00	0,05	0,00
3,90	0,00	-67,23	0,02	0,00	0,00	0,00	0,00	0,00	0,00	0,00	0,00	-0,14
5,40	0,00	-87,82	0,00	-1,86	0,00	0,00	0,00	0,00	0,00	0,00	1,01	0,00
6,89	0,00	-102,03	0,00	-3,38	0,01	0,00	0,00	0,00	0,00	-0,01	4,93	0,00
8,39	0,00	-108,52	9,60	0,00	0,00	-0,01	0,00	0,00	0,00	-0,02	4,57	0,00
9,64	0,00	-109,15	7,04	0,00	0,00	-0,03	0,00	0,00	0,02	0,00	0,00	-9,85
10,82	0,00	-107,84	0,00	-4,14	0,00	-0,03	0,00	0,00	0,06	0,00	0,00	-11,70
12,00	0,00	-106,53	0,00	-11,46	0,00	-0,03	0,00	0,00	0,10	0,00	2,07	-1,39

Palo n° 30 - Tratto n° 1

X	N ⁺	N ⁻	T ⁺ y	T ⁻ y	T ⁺ z	T ⁻ z	M ⁺ t	M ⁻ t	M ⁺ y	M ⁻ y	M ⁺ z	M ⁻ z
0,00	0,13	0,00	0,00	-0,48	0,00	0,00	0,00	0,00	0,00	0,00	0,00	0,00
0,89	8,78	0,00	0,64	0,00	0,00	0,00	0,00	0,00	0,00	0,00	0,00	-0,03
1,49	15,25	0,00	0,00	-0,83	0,00	0,00	0,00	0,00	0,00	0,00	0,00	-0,03
2,38	22,97	0,00	0,50	0,00	0,00	0,00	0,00	0,00	0,00	0,00	0,15	0,00
2,97	27,91	0,00	0,00	-0,58	0,00	0,00	0,00	0,00	0,00	0,00	0,17	0,00
3,86	34,53	0,00	1,30	0,00	0,00	0,00	0,00	0,00	0,00	0,00	0,00	-0,21
4,46	39,44	0,00	1,41	0,00	0,00	0,00	0,00	0,00	0,00	0,00	0,00	-0,99
5,35	45,78	0,00	3,16	0,00	0,01	0,00	0,00	0,00	0,00	0,00	0,00	-3,04
5,94	47,81	0,00	2,54	0,00	0,01	0,00	0,00	0,00	0,00	-0,01	0,00	-4,92
6,83	51,13	0,00	5,05	0,00	0,01	0,00	0,00	0,00	0,00	-0,02	0,00	-7,62
7,43	59,46	0,00	0,00	-11,78	0,00	0,00	0,00	0,00	0,00	-0,03	0,00	-7,22
8,32	66,47	0,00	0,00	-13,12	0,00	-0,03	0,00	0,00	0,00	-0,02	3,49	0,00
9,58	62,82	0,00	0,08	-3,36	0,00	-0,03	0,00	0,00	0,02	0,00	12,65	0,00
10,79	58,05	0,00	7,57	0,00	0,00	-0,03	0,00	0,00	0,05	0,00	10,47	0,00
12,00	53,31	0,00	18,48	0,00	0,00	-0,03	0,00	0,00	0,08	0,00	0,00	-6,46

Palo n° 31 - Tratto n° 1

X	N ⁺	N ⁻	T ⁺ y	T ⁻ y	T ⁺ z	T ⁻ z	M ⁺ t	M ⁻ t	M ⁺ y	M ⁻ y	M ⁺ z	M ⁻ z
0,00	0,00	-3,64	0,00	0,00	0,00	0,00	0,00	0,00	0,00	0,00	0,00	0,00
0,88	0,00	-18,29	0,00	-0,02	0,00	0,00	0,00	0,00	0,00	0,00	0,01	0,00
2,35	0,00	-43,49	0,04	0,00	0,00	0,00	0,00	0,00	0,00	0,00	0,04	0,00
3,83	0,00	-68,00	0,09	0,00	0,00	0,00	0,00	0,00	0,00	0,00	0,00	-0,17
5,30	0,00	-88,71	0,00	-1,89	0,00	0,00	0,00	0,00	0,00	0,00	0,82	0,00
6,77	0,00	-106,61	0,00	-3,29	0,01	0,00	0,00	0,00	0,00	-0,01	4,89	0,00
8,24	0,00	-113,13	8,66	0,00	0,00	-0,01	0,00	0,00	0,00	-0,02	5,11	0,00
9,52	0,00	-113,60	6,79	0,00	0,00	-0,04	0,00	0,00	0,02	0,00	0,00	-8,70
10,76	0,00	-112,23	0,00	-2,76	0,00	-0,04	0,00	0,00	0,07	0,00	0,00	-11,50
12,00	0,00	-110,86	0,00	-10,75	0,00	-0,04	0,00	0,00	0,11	0,00	2,10	-2,21

Palo n° 32 - Tratto n° 1

X	N ⁺	N ⁻	T ⁺ y	T ⁻ y	T ⁺ z	T ⁻ z	M ⁺ t	M ⁻ t	M ⁺ y	M ⁻ y	M ⁺ z	M ⁻ z
0,00	0,13	0,00	0,00	-0,48	0,00	0,00	0,00	0,00	0,00	0,00	0,00	0,00
0,87	8,62	0,00	0,62	0,00	0,00	0,00	0,00	0,00	0,00	0,00	0,00	-0,03
1,46	14,94	0,00	0,00	-0,76	0,00	0,00	0,00	0,00	0,00	0,00	0,00	-0,02
2,33	23,40	0,00	0,33	0,00	0,00	0,00	0,00	0,00	0,00	0,00	0,17	0,00
2,92	28,17	0,00	0,00	-0,57	0,00	0,00	0,00	0,00	0,00	0,00	0,23	0,00
3,79	34,58	0,00	1,31	0,00	0,00	0,00	0,00	0,00	0,00	0,00	0,00	-0,18
4,37	39,14	0,00	2,08	0,00	0,00	0,00	0,00	0,00	0,00	0,00	0,00	-1,13
5,25	45,94	0,00	4,52	0,00	0,00	0,00	0,00	0,00	0,00	0,00	0,00	-3,76
5,83	49,23	0,00	2,59	0,00	0,01	0,00	0,00	0,00	0,00	-0,01	0,00	-5,60
6,71	52,63	0,00	4,91	0,00	0,01	0,00	0,00	0,00	0,00	-0,01	0,00	-8,14
7,29	61,36	0,00	0,00	-12,28	0,00	0,00	0,00	0,00	0,00	-0,02	0,00	-7,43
8,16	67,91	0,00	0,00	-13,38	0,00	-0,01	0,00	0,00	0,00	-0,01	3,76	0,00
9,47	64,19	0,00	0,16	-3,14	0,00	-0,01	0,00	0,00	0,01	0,00	13,09	0,00
10,73	59,54	0,00	7,73	0,00	0,00	-0,01	0,00	0,00	0,02	0,00	10,55	0,00
12,00	52,58	0,00	22,60	0,00	0,00	-0,01	0,00	0,00	0,04	0,00	0,00	-9,37

Palo n° 33 - Tratto n° 1

X	N ⁺	N ⁻	T ⁺ y	T _y	T ⁺ z	T _z	M ⁺ t	M _t	M ⁺ y	M _y	M ⁺ z	M _z
0,00	0,00	-3,76	0,00	0,00	0,00	0,00	0,00	0,00	0,00	0,00	0,00	0,00
0,87	0,00	-18,83	0,00	-0,02	0,00	0,00	0,00	0,00	0,00	0,00	0,02	0,00
2,31	0,00	-44,72	0,05	0,00	0,00	0,00	0,00	0,00	0,00	0,00	0,04	0,00
3,75	0,00	-69,84	0,07	0,00	0,00	0,00	0,00	0,00	0,00	0,00	0,00	-0,19
5,20	0,00	-91,01	0,00	-2,19	0,01	0,00	0,00	0,00	0,00	0,00	1,00	0,00
6,64	0,00	-109,25	0,00	-3,41	0,02	0,00	0,00	0,00	0,00	-0,02	5,35	0,00
8,09	0,00	-115,90	9,41	0,00	0,00	-0,01	0,00	0,00	0,00	-0,03	5,20	0,00
9,41	0,00	-116,20	6,31	0,00	0,00	-0,04	0,00	0,00	0,02	0,00	0,00	-9,31
10,71	0,00	-114,76	0,00	-3,67	0,00	-0,04	0,00	0,00	0,08	0,00	0,00	-11,25
12,00	0,00	-113,32	0,00	-11,45	0,00	-0,04	0,00	0,00	0,13	0,00	2,67	-0,40

Palo n° 34 - Tratto n° 1

X	N ⁺	N ⁻	T ⁺ y	T _y	T ⁺ z	T _z	M ⁺ t	M _t	M ⁺ y	M _y	M ⁺ z	M _z
0,00	0,13	0,00	0,00	-0,47	0,00	0,00	0,00	0,00	0,00	0,00	0,00	0,00
0,86	8,47	0,00	0,58	0,00	0,00	0,00	0,00	0,00	0,00	0,00	0,00	-0,02
1,43	14,68	0,00	0,00	-0,77	0,00	0,00	0,00	0,00	0,00	0,00	0,02	0,00
2,29	22,96	0,00	0,29	0,00	0,00	0,00	0,00	0,00	0,00	0,00	0,20	0,00
2,86	27,56	0,00	0,00	-0,41	0,00	0,00	0,00	0,00	0,00	0,00	0,25	0,00
3,72	33,75	0,00	1,45	0,00	0,00	0,00	0,00	0,00	0,00	0,00	0,00	-0,29
4,29	38,03	0,00	2,56	0,00	0,00	0,00	0,00	0,00	0,00	0,00	0,00	-1,41
5,15	44,69	0,00	4,89	0,00	0,00	0,00	0,00	0,00	0,00	0,00	0,00	-4,32
5,72	48,20	0,00	2,37	0,00	0,00	0,00	0,00	0,00	0,00	0,00	0,00	-6,14
6,58	51,99	0,00	4,17	0,00	0,00	0,00	0,00	0,00	0,00	0,00	0,00	-8,34
7,15	61,59	0,00	0,00	-14,50	0,00	0,00	0,00	0,00	0,00	-0,01	0,00	-6,67
8,01	64,57	0,00	0,00	-11,27	0,00	0,00	0,00	0,00	0,00	0,00	4,67	0,00
9,35	61,37	0,00	0,94	-1,56	0,00	0,00	0,00	0,00	0,00	0,00	12,13	0,00
10,68	58,22	0,00	6,84	0,00	0,00	0,00	0,00	0,00	0,01	0,00	8,71	0,00
12,00	56,44	0,00	12,85	0,00	0,00	0,00	0,00	0,00	0,01	0,00	0,00	-5,52

Palo n° 35 - Tratto n° 1

X	N ⁺	N ⁻	T ⁺ y	T _y	T ⁺ z	T _z	M ⁺ t	M _t	M ⁺ y	M _y	M ⁺ z	M _z
0,00	0,00	-3,87	0,00	0,00	0,00	0,00	0,00	0,00	0,00	0,00	0,00	0,00
0,85	0,00	-19,29	0,00	-0,02	0,00	0,00	0,00	0,00	0,00	0,00	0,02	0,00
2,27	0,00	-45,76	0,08	0,00	0,00	0,00	0,00	0,00	0,00	0,00	0,01	0,00
3,68	0,00	-73,24	0,08	0,00	0,00	0,00	0,00	0,00	0,00	0,00	0,00	-0,21
5,10	0,00	-94,80	0,00	-2,98	0,01	0,00	0,00	0,00	0,00	0,00	1,46	0,00
6,52	0,00	-113,36	0,00	-3,67	0,02	0,00	0,00	0,00	0,00	-0,02	6,59	0,00
7,93	0,00	-120,15	11,25	0,00	0,00	-0,02	0,00	0,00	0,00	-0,03	5,00	0,00
9,30	0,00	-120,28	6,13	0,00	0,00	-0,05	0,00	0,00	0,02	0,00	0,00	-11,50
10,65	0,00	-118,74	0,00	-6,46	0,00	-0,05	0,00	0,00	0,09	0,00	0,00	-11,48
12,00	0,00	-117,24	0,00	-15,29	0,00	-0,05	0,00	0,00	0,15	0,00	4,94	0,00

Palo n° 36 - Tratto n° 1

X	N ⁺	N ⁻	T ⁺ y	T _y	T ⁺ z	T _z	M ⁺ t	M _t	M ⁺ y	M _y	M ⁺ z	M _z
0,00	0,13	0,00	0,00	-0,48	0,00	0,00	0,00	0,00	0,00	0,00	0,00	0,00
0,84	8,17	0,00	0,56	0,00	0,00	0,00	0,00	0,00	0,00	0,00	0,01	0,00
1,40	14,19	0,00	0,00	-0,82	0,00	0,00	0,00	0,00	0,00	0,00	0,06	0,00
2,24	22,15	0,00	0,24	0,00	0,00	0,00	0,00	0,00	0,00	0,00	0,27	0,00
2,81	26,49	0,00	0,00	-0,24	0,00	0,00	0,00	0,00	0,00	0,00	0,30	0,00
3,65	32,26	0,00	1,86	0,00	0,00	0,00	0,00	0,00	0,00	0,00	0,00	-0,54
4,21	35,99	0,00	3,82	0,00	0,00	0,00	0,00	0,00	0,00	0,00	0,00	-2,15
5,05	42,27	0,00	6,22	0,00	0,00	0,00	0,00	0,00	0,00	0,00	0,00	-5,96
5,61	46,01	0,00	2,70	0,00	0,00	0,00	0,00	0,00	0,00	0,00	0,00	-8,05
6,45	50,25	0,00	4,17	0,00	0,00	0,00	0,00	0,00	0,01	0,00	0,00	-10,07
7,01	61,22	0,00	0,00	-17,90	0,01	0,00	0,00	0,00	0,01	0,00	0,00	-7,36
7,86	63,68	0,00	0,00	-13,49	0,01	0,00	0,00	0,00	0,00	0,00	6,32	0,00
9,24	59,48	0,00	0,94	-1,61	0,01	0,00	0,00	0,00	0,00	-0,01	15,34	0,00
10,62	54,20	0,00	10,60	0,00	0,01	0,00	0,00	0,00	0,01	-0,02	9,58	0,00
12,00	49,50	0,00	21,81	0,00	0,01	0,00	0,00	0,00	0,01	-0,04	0,00	-14,23

Palo n° 37 - Tratto n° 1

X	N ⁺	N ⁻	T ⁺ y	T _y	T ⁺ z	T _z	M ⁺ t	M _t	M ⁺ y	M _y	M ⁺ z	M _z
0,00	0,00	-3,99	0,00	0,00	0,00	0,00	0,00	0,00	0,00	0,00	0,00	0,00
0,83	0,00	-19,78	0,00	-0,02	0,00	0,00	0,00	0,00	0,00	0,00	0,02	0,00
2,22	0,00	-46,86	0,10	0,00	0,00	0,00	0,00	0,00	0,00	0,00	0,01	-0,01
3,61	0,00	-74,89	0,14	0,00	0,00	0,00	0,00	0,00	0,00	0,00	0,00	-0,27

5,00	0,00	-96,83	0,00	-2,96	0,01	0,00	0,00	0,00	0,00	0,00	0,00	1,28	0,00
6,39	0,00	-119,54	0,00	-3,33	0,02	0,00	0,00	0,00	0,00	0,00	-0,02	6,78	0,00
7,78	0,00	-126,45	10,70	0,00	0,00	-0,02	0,00	0,00	0,00	0,00	-0,04	5,47	0,00
9,18	0,00	-126,39	5,78	0,00	0,00	-0,05	0,00	0,00	0,00	0,02	0,00	0,00	-10,60
10,59	0,00	-124,75	0,00	-5,20	0,00	-0,05	0,00	0,00	0,00	0,09	0,00	0,00	-11,20
12,00	0,00	-123,19	0,00	-14,33	0,00	-0,05	0,00	0,00	0,00	0,16	0,00	4,23	0,00

Palo n° 38 - Tratto n° 1

X	N ⁺	N ⁻	T ⁺ y	T ⁻ y	T ⁺ z	T ⁻ z	M ⁺ t	M ⁻ t	M ⁺ y	M ⁻ y	M ⁺ z	M ⁻ z
0,00	0,15	0,00	0,00	-0,57	0,00	0,00	0,00	0,00	0,00	0,00	0,00	0,00
1,00	9,21	0,00	0,66	0,00	0,00	0,00	0,00	0,00	0,00	0,00	0,03	0,00
1,66	16,05	0,00	0,00	-1,05	0,00	0,00	0,00	0,00	0,00	0,00	0,14	0,00
2,66	24,03	0,00	0,55	0,00	0,00	0,00	0,00	0,00	0,00	0,00	0,32	0,00
3,32	28,59	0,00	1,69	0,00	0,00	0,00	0,00	0,00	0,00	0,00	0,00	-0,16
4,32	34,69	0,00	4,64	0,00	0,00	0,00	0,00	0,00	0,00	0,00	0,00	-3,23
4,99	40,45	0,00	2,70	0,00	0,00	-0,01	0,00	0,00	0,00	0,00	0,00	-6,66
5,98	44,48	0,00	6,26	0,00	0,00	-0,01	0,00	0,00	0,01	0,00	0,00	-9,99
6,65	54,74	0,00	0,00	-14,37	0,00	0,00	0,00	0,00	0,02	0,00	0,00	-9,64
7,64	61,90	0,00	0,00	-15,01	0,02	0,00	0,00	0,00	0,01	0,00	5,23	0,00
8,82	58,33	0,00	0,00	-4,26	0,02	0,00	0,00	0,00	0,00	-0,01	14,66	0,00
9,88	55,06	0,00	4,38	0,00	0,02	0,00	0,00	0,00	0,00	-0,03	14,93	0,00
10,94	50,29	0,00	14,48	0,00	0,02	0,00	0,00	0,00	0,01	-0,05	5,59	-0,65
12,00	44,48	0,00	26,90	0,00	0,02	0,00	0,00	0,00	0,01	-0,07	0,00	-17,28

Palo n° 39 - Tratto n° 1

X	N ⁺	N ⁻	T ⁺ y	T ⁻ y	T ⁺ z	T ⁻ z	M ⁺ t	M ⁻ t	M ⁺ y	M ⁻ y	M ⁺ z	M ⁻ z
0,00	0,00	-4,16	0,00	0,00	0,00	0,00	0,00	0,00	0,00	0,00	0,00	0,00
0,99	0,00	-23,97	0,00	-0,01	0,00	0,00	0,00	0,00	0,00	0,00	0,02	0,00
2,63	0,00	-58,29	0,21	0,00	0,00	0,00	0,00	0,00	0,00	0,00	0,00	-0,10
4,28	0,00	-89,85	0,00	-1,41	0,00	0,00	0,00	0,00	0,00	0,00	0,12	0,00
5,92	0,00	-119,24	0,00	-4,44	0,02	0,00	0,00	0,00	0,00	-0,02	6,40	0,00
7,57	0,00	-130,05	11,07	0,00	0,00	-0,01	0,00	0,00	0,00	-0,04	6,20	0,00
8,76	0,00	-130,44	8,19	0,00	0,00	-0,05	0,00	0,00	0,01	0,00	0,00	-9,35
9,84	0,00	-128,88	0,00	-1,70	0,00	-0,05	0,00	0,00	0,06	0,00	0,00	-13,29
10,92	0,00	-127,68	0,00	-9,30	0,00	-0,05	0,00	0,00	0,11	0,00	0,00	-8,20
12,00	0,00	-126,48	0,00	-15,63	0,00	-0,05	0,00	0,00	0,16	0,00	6,27	0,00

Palo n° 40 - Tratto n° 1

X	N ⁺	N ⁻	T ⁺ y	T ⁻ y	T ⁺ z	T ⁻ z	M ⁺ t	M ⁻ t	M ⁺ y	M ⁻ y	M ⁺ z	M ⁻ z
0,00	0,15	0,00	0,00	-0,56	0,00	0,00	0,00	0,00	0,00	0,00	0,00	0,00
0,98	8,35	0,00	0,63	0,00	0,00	0,00	0,00	0,00	0,00	0,00	0,04	0,00
1,63	14,60	0,00	0,00	-1,09	0,00	0,00	0,00	0,00	0,00	0,00	0,18	0,00
2,61	21,80	0,00	0,45	0,00	0,00	0,00	0,00	0,00	0,00	0,00	0,42	0,00
3,26	25,75	0,00	1,86	0,00	0,00	0,00	0,00	0,00	0,00	0,00	0,08	-0,05
4,23	30,99	0,00	4,84	0,00	0,00	0,00	0,00	0,00	0,00	0,00	0,00	-3,32
4,89	35,51	0,00	4,62	0,00	0,00	-0,01	0,00	0,00	0,01	0,00	0,00	-7,34
5,86	42,12	0,00	5,39	0,00	0,00	-0,01	0,00	0,00	0,02	0,00	0,00	-10,52
6,52	52,09	0,00	0,00	-14,58	0,00	0,00	0,00	0,00	0,02	0,00	0,00	-9,73
7,49	58,63	0,00	0,00	-14,93	0,02	0,00	0,00	0,00	0,02	0,00	5,16	0,00
8,70	55,20	0,00	0,06	-4,00	0,02	0,00	0,00	0,00	0,00	-0,01	14,59	0,00
9,80	52,15	0,00	4,44	0,00	0,02	0,00	0,00	0,00	0,00	-0,04	14,65	0,00
10,90	47,76	0,00	13,96	0,00	0,02	0,00	0,00	0,00	0,00	-0,06	5,09	-0,90
12,00	44,36	0,00	22,28	0,00	0,02	0,00	0,00	0,00	0,00	-0,09	0,00	-15,83

Palo n° 41 - Tratto n° 1

X	N ⁺	N ⁻	T ⁺ y	T ⁻ y	T ⁺ z	T ⁻ z	M ⁺ t	M ⁻ t	M ⁺ y	M ⁻ y	M ⁺ z	M ⁻ z
0,00	0,00	-4,26	0,00	0,00	0,00	0,00	0,00	0,00	0,00	0,00	0,00	0,00
0,97	0,00	-24,41	0,00	-0,01	0,00	0,00	0,00	0,00	0,00	0,00	0,03	0,00
2,58	0,00	-59,27	0,31	0,00	0,00	0,00	0,00	0,00	0,00	0,00	0,00	-0,16
4,19	0,00	-91,23	0,00	-1,77	0,00	0,00	0,00	0,00	0,00	0,00	0,07	-0,05
5,80	0,00	-120,87	0,00	-6,96	0,02	0,00	0,00	0,00	0,00	-0,02	8,51	0,00
7,42	0,00	-136,70	13,55	0,00	0,00	-0,01	0,00	0,00	0,00	-0,04	6,24	0,00
8,64	0,00	-136,91	8,91	0,00	0,00	-0,04	0,00	0,00	0,00	0,00	0,00	-11,93
9,76	0,00	-135,18	0,00	-2,69	0,00	-0,04	0,00	0,00	0,05	0,00	0,00	-15,56
10,88	0,00	-133,93	0,00	-12,87	0,00	-0,04	0,00	0,00	0,09	0,00	0,02	-7,29
12,00	0,00	-132,69	0,00	-19,31	0,00	-0,04	0,00	0,00	0,13	0,00	11,72	0,00

Palo n° 42 - Tratto n° 1

X	N ⁺	N ⁻	T ⁺ y	T _y	T ⁺ z	T _z	M ⁺ t	M _t	M ⁺ y	M _y	M ⁺ z	M _z
0,00	0,16	0,00	0,00	-0,60	0,00	0,00	0,00	0,00	0,00	0,00	0,00	0,00
0,96	7,72	0,00	0,53	0,00	0,00	0,00	0,00	0,00	0,00	0,00	0,10	0,00
1,60	13,50	0,00	0,00	-1,14	0,00	0,00	0,00	0,00	0,00	0,00	0,31	0,00
2,55	19,96	0,00	0,45	0,00	0,00	0,00	0,00	0,00	0,00	0,00	0,51	0,00
3,19	23,04	0,00	3,18	0,00	0,00	0,00	0,00	0,00	0,00	0,00	0,00	-0,39
4,15	27,23	0,00	6,62	0,00	0,00	0,00	0,00	0,00	0,00	0,00	0,00	-5,03
4,79	31,67	0,00	5,40	0,00	0,00	-0,01	0,00	0,00	0,01	0,00	0,00	-10,16
5,74	39,35	0,00	4,75	0,00	0,00	-0,01	0,00	0,00	0,02	0,00	0,00	-12,98
6,38	51,55	0,00	0,00	-20,43	0,01	0,00	0,00	0,00	0,03	0,00	0,00	-9,82
7,34	54,18	0,00	0,00	-15,18	0,02	0,00	0,00	0,00	0,01	0,00	7,88	0,00
8,57	50,30	0,00	0,56	-3,04	0,02	0,00	0,00	0,00	0,00	-0,01	17,53	0,00
9,72	46,72	0,00	6,26	0,00	0,02	0,00	0,00	0,00	0,00	-0,03	15,82	0,00
10,86	42,16	0,00	16,43	0,00	0,02	0,00	0,00	0,00	0,00	-0,05	3,13	-1,73
12,00	39,56	0,00	23,48	0,00	0,02	0,00	0,00	0,00	0,00	-0,07	0,00	-20,62

Palo n° 43 - Tratto n° 1

X	N ⁺	N ⁻	T ⁺ y	T _y	T ⁺ z	T _z	M ⁺ t	M _t	M ⁺ y	M _y	M ⁺ z	M _z
0,00	0,00	-4,37	0,00	0,00	0,00	0,00	0,00	0,00	0,00	0,00	0,00	0,00
0,95	0,00	-24,89	0,01	0,00	0,00	0,00	0,00	0,00	0,00	0,00	0,03	0,00
2,53	0,00	-60,35	0,53	0,00	0,00	0,00	0,00	0,00	0,00	0,00	0,00	-0,36
4,11	0,00	-92,76	0,00	-3,61	0,00	0,00	0,00	0,00	0,00	0,00	0,55	0,00
5,68	0,00	-122,69	0,00	-9,92	0,01	0,00	0,00	0,00	0,00	-0,01	14,43	0,00
7,26	0,00	-138,63	21,72	0,00	0,00	0,00	0,00	0,00	0,00	-0,03	5,38	0,00
8,51	0,00	-137,81	10,24	0,00	0,00	-0,02	0,00	0,00	0,00	0,00	0,00	-19,61
9,67	0,00	-135,57	0,00	-6,96	0,00	-0,02	0,00	0,00	0,02	0,00	0,00	-21,54
10,84	0,00	-134,28	0,00	-21,99	0,00	-0,02	0,00	0,00	0,04	0,00	1,00	-5,41
12,00	0,00	-132,99	0,00	-32,23	0,00	-0,02	0,00	0,00	0,07	0,00	27,66	0,00

Palo n° 44 - Tratto n° 2

X	N ⁺	N ⁻	T ⁺ y	T _y	T ⁺ z	T _z	M ⁺ t	M _t	M ⁺ y	M _y	M ⁺ z	M _z
0,00	0,00	-4,35	0,00	0,00	0,00	0,00	0,00	0,00	0,00	0,00	0,00	0,00
0,95	0,00	-24,86	0,00	-0,01	0,00	0,00	0,00	0,00	0,00	0,00	0,03	0,00
2,54	0,00	-60,29	0,46	0,00	0,00	0,00	0,00	0,00	0,00	0,00	0,00	-0,29
4,14	0,00	-92,72	0,00	-3,02	0,00	0,00	0,00	0,00	0,00	0,00	0,37	0,00
5,73	0,00	-122,71	0,00	-9,07	0,00	0,00	0,00	0,00	0,00	0,00	12,70	0,00
7,32	0,00	-138,70	19,71	0,00	0,01	0,00	0,00	0,00	0,00	-0,01	5,64	0,00
8,55	0,00	-138,00	9,61	0,00	0,01	0,00	0,00	0,00	0,00	-0,01	0,00	-17,49
9,70	0,00	-135,86	0,00	-5,85	0,01	0,00	0,00	0,00	0,00	-0,02	0,00	-19,62
10,85	0,00	-134,58	0,00	-19,10	0,01	0,00	0,00	0,00	0,00	-0,03	0,78	-6,10
12,00	0,00	-133,31	0,00	-29,77	0,01	0,00	0,00	0,00	0,00	-0,03	23,38	0,00

Palo n° 45 - Tratto n° 2

X	N ⁺	N ⁻	T ⁺ y	T _y	T ⁺ z	T _z	M ⁺ t	M _t	M ⁺ y	M _y	M ⁺ z	M _z
0,00	0,15	0,00	0,00	-0,58	0,00	0,00	0,00	0,00	0,00	0,00	0,00	0,00
0,97	7,61	0,00	0,57	0,00	0,00	0,00	0,00	0,00	0,00	0,00	0,07	0,00
1,62	13,35	0,00	0,00	-1,13	0,00	0,00	0,00	0,00	0,00	0,00	0,26	0,00
2,59	19,80	0,00	0,43	0,00	0,00	0,00	0,00	0,00	0,00	0,00	0,49	0,00
3,24	23,03	0,00	2,61	0,00	0,00	0,00	0,00	0,00	0,00	0,00	0,00	-0,23
4,21	27,32	0,00	5,91	0,00	0,00	0,00	0,00	0,00	0,00	0,00	0,00	-4,35
4,86	31,54	0,00	5,28	0,00	0,00	-0,01	0,00	0,00	0,00	0,00	0,00	-9,14
5,83	38,71	0,00	5,08	0,00	0,00	-0,01	0,00	0,00	0,01	0,00	0,00	-12,27
6,47	50,65	0,00	0,00	-19,64	0,00	0,00	0,00	0,00	0,02	0,00	0,00	-9,85
7,45	53,54	0,00	0,00	-14,63	0,00	0,00	0,00	0,00	0,02	0,00	7,31	0,00
8,66	49,93	0,00	0,50	-3,26	0,00	0,00	0,00	0,00	0,01	0,00	16,63	0,00
9,77	46,63	0,00	5,49	0,00	0,00	0,00	0,00	0,00	0,01	-0,01	15,59	0,00
10,89	41,78	0,00	16,03	0,00	0,00	0,00	0,00	0,00	0,00	-0,01	4,17	-1,39
12,00	36,81	0,00	27,11	0,00	0,00	0,00	0,00	0,00	0,00	-0,02	0,00	-20,93

Palo n° 46 - Tratto n° 2

X	N ⁺	N ⁻	T ⁺ y	T _y	T ⁺ z	T _z	M ⁺ t	M _t	M ⁺ y	M _y	M ⁺ z	M _z
0,00	0,00	-4,26	0,00	0,00	0,00	0,00	0,00	0,00	0,00	0,00	0,00	0,00
0,99	0,00	-24,62	0,00	-0,01	0,00	0,00	0,00	0,00	0,00	0,00	0,02	0,00
2,63	0,00	-59,88	0,24	0,00	0,00	0,00	0,00	0,00	0,00	0,00	0,00	-0,12
4,28	0,00	-92,31	0,00	-1,67	0,00	0,00	0,00	0,00	0,00	0,00	0,20	0,00
5,93	0,00	-122,54	0,00	-4,68	0,00	0,00	0,00	0,00	0,01	0,00	7,25	0,00
7,57	0,00	-133,69	12,25	0,00	0,01	0,00	0,00	0,00	0,00	-0,01	5,99	0,00
8,77	0,00	-134,16	8,71	0,00	0,02	0,00	0,00	0,00	0,00	-0,02	0,00	-10,75
9,84	0,00	-132,61	0,00	-2,01	0,02	0,00	0,00	0,00	0,00	-0,05	0,00	-14,59

10,92	0,00	-131,41	0,00	-11,52	0,02	0,00	0,00	0,00	0,00	0,00	-0,07	0,00	-7,77
12,00	0,00	-130,21	0,00	-17,78	0,02	0,00	0,00	0,00	0,00	0,00	-0,10	8,91	0,00

Palo n° 47 - Tratto n° 2

X	N ⁺	N ⁻	T ⁺ y	T ⁻ y	T ⁺ z	T ⁻ z	M ⁺ t	M ⁻ t	M ⁺ y	M ⁻ y	M ⁺ z	M ⁻ z
0,00	0,13	0,00	0,00	-0,48	0,00	0,00	0,00	0,00	0,00	0,00	0,00	0,00
0,83	6,79	0,00	0,57	0,00	0,00	0,00	0,00	0,00	0,00	0,00	0,01	-0,01
1,39	11,88	0,00	0,00	-0,85	0,00	0,00	0,00	0,00	0,00	0,00	0,07	0,00
2,22	18,49	0,00	0,20	0,00	0,00	0,00	0,00	0,00	0,00	0,00	0,30	0,00
2,77	22,15	0,00	0,00	-0,30	0,00	0,00	0,00	0,00	0,00	0,00	0,36	0,00
3,60	26,82	0,00	1,80	0,00	0,00	0,00	0,00	0,00	0,00	0,00	0,00	-0,41
4,16	29,68	0,00	4,06	0,00	0,00	0,00	0,00	0,00	0,00	0,00	0,00	-2,01
4,99	34,49	0,00	6,67	0,00	0,00	0,00	0,00	0,00	0,00	0,00	0,00	-6,14
5,54	39,77	0,00	2,28	0,00	0,00	-0,01	0,00	0,00	0,01	0,00	0,00	-8,32
6,38	43,47	0,00	3,74	0,00	0,00	-0,01	0,00	0,00	0,02	0,00	0,00	-9,92
6,93	53,75	0,00	0,00	-17,27	0,00	0,00	0,00	0,00	0,02	0,00	0,00	-7,28
7,76	56,04	0,00	0,00	-13,08	0,01	0,00	0,00	0,00	0,02	0,00	5,88	0,00
9,17	52,18	0,00	1,05	-1,51	0,01	0,00	0,00	0,00	0,01	0,00	14,61	0,00
10,59	47,57	0,00	9,61	0,00	0,01	0,00	0,00	0,00	0,01	-0,01	9,25	0,00
12,00	44,06	0,00	18,82	0,00	0,01	0,00	0,00	0,00	0,00	-0,02	0,00	-12,21

Palo n° 48 - Tratto n° 2

X	N ⁺	N ⁻	T ⁺ y	T ⁻ y	T ⁺ z	T ⁻ z	M ⁺ t	M ⁻ t	M ⁺ y	M ⁻ y	M ⁺ z	M ⁻ z
0,00	0,00	-4,12	0,00	0,00	0,00	0,00	0,00	0,00	0,00	0,00	0,00	0,00
0,85	0,00	-20,56	0,00	-0,02	0,00	0,00	0,00	0,00	0,00	0,00	0,02	0,00
2,25	0,00	-48,76	0,09	0,00	0,00	0,00	0,00	0,00	0,00	0,00	0,01	-0,01
3,66	0,00	-78,02	0,07	0,00	0,00	0,00	0,00	0,00	0,00	0,00	0,00	-0,22
5,07	0,00	-100,99	0,00	-3,06	0,00	0,00	0,00	0,00	0,00	0,00	1,52	0,00
6,48	0,00	-120,77	0,00	-3,74	0,00	0,00	0,00	0,00	0,01	0,00	6,75	0,00
7,89	0,00	-128,06	11,41	0,00	0,02	0,00	0,00	0,00	0,00	-0,01	5,07	0,00
9,27	0,00	-128,29	6,07	0,00	0,03	0,00	0,00	0,00	0,00	-0,04	0,00	-11,65
10,63	0,00	-126,73	0,00	-6,61	0,03	0,00	0,00	0,00	0,00	-0,08	0,00	-11,45
12,00	0,00	-125,21	0,00	-15,19	0,03	0,00	0,00	0,00	0,00	-0,12	5,21	0,00

Palo n° 49 - Tratto n° 2

X	N ⁺	N ⁻	T ⁺ y	T ⁻ y	T ⁺ z	T ⁻ z	M ⁺ t	M ⁻ t	M ⁺ y	M ⁻ y	M ⁺ z	M ⁻ z
0,00	0,12	0,00	0,00	-0,47	0,00	0,00	0,00	0,00	0,00	0,00	0,00	0,00
0,86	7,38	0,00	0,59	0,00	0,00	0,00	0,00	0,00	0,00	0,00	0,00	-0,02
1,43	12,85	0,00	0,00	-0,77	0,00	0,00	0,00	0,00	0,00	0,00	0,01	-0,01
2,29	20,07	0,00	0,29	0,00	0,00	0,00	0,00	0,00	0,00	0,00	0,20	0,00
2,86	24,16	0,00	0,00	-0,47	0,00	0,00	0,00	0,00	0,00	0,00	0,25	0,00
3,72	29,52	0,00	1,39	0,00	0,00	0,00	0,00	0,00	0,00	0,00	0,00	-0,26
4,30	33,23	0,00	2,61	0,00	0,00	0,00	0,00	0,00	0,00	0,00	0,00	-1,38
5,16	38,89	0,00	5,01	0,00	0,00	-0,01	0,00	0,00	0,00	0,00	0,00	-4,36
5,73	41,92	0,00	2,75	0,00	0,00	-0,02	0,00	0,00	0,01	0,00	0,00	-6,32
6,59	45,18	0,00	4,84	0,00	0,00	-0,02	0,00	0,00	0,02	0,00	0,00	-8,75
7,16	54,26	0,00	0,00	-13,15	0,00	-0,01	0,00	0,00	0,03	0,00	0,00	-7,67
8,02	60,04	0,00	0,00	-13,88	0,01	0,00	0,00	0,00	0,03	0,00	4,24	0,00
9,36	56,03	0,00	0,30	-2,80	0,01	0,00	0,00	0,00	0,01	0,00	13,83	0,00
10,68	50,89	0,00	9,03	0,00	0,01	0,00	0,00	0,00	0,00	-0,02	10,10	0,00
12,00	46,79	0,00	19,06	0,00	0,01	0,00	0,00	0,00	0,00	-0,03	0,00	-9,75

Palo n° 50 - Tratto n° 2

X	N ⁺	N ⁻	T ⁺ y	T ⁻ y	T ⁺ z	T ⁻ z	M ⁺ t	M ⁻ t	M ⁺ y	M ⁻ y	M ⁺ z	M ⁻ z
0,00	0,00	-3,95	0,00	0,00	0,00	0,00	0,00	0,00	0,00	0,00	0,00	0,00
0,87	0,00	-19,89	0,00	-0,02	0,00	0,00	0,00	0,00	0,00	0,00	0,02	0,00
2,33	0,00	-47,30	0,05	0,00	0,00	0,00	0,00	0,00	0,00	0,00	0,03	0,00
3,78	0,00	-73,92	0,08	0,00	0,00	0,00	0,00	0,00	0,00	0,00	0,00	-0,19
5,24	0,00	-96,40	0,00	-2,06	0,00	0,00	0,00	0,00	0,00	0,00	0,91	0,00
6,70	0,00	-115,82	0,00	-3,41	0,00	0,00	0,00	0,00	0,01	0,00	5,18	0,00
8,15	0,00	-122,98	9,12	0,00	0,02	0,00	0,00	0,00	0,00	-0,01	5,25	0,00
9,46	0,00	-123,53	6,61	0,00	0,03	0,00	0,00	0,00	0,00	-0,04	0,00	-9,09
10,73	0,00	-122,11	0,00	-3,35	0,03	0,00	0,00	0,00	0,00	-0,08	0,00	-11,41
12,00	0,00	-120,71	0,00	-10,84	0,03	0,00	0,00	0,00	0,00	-0,12	2,38	-1,35

Palo n° 51 - Tratto n° 2

X	N ⁺	N ⁻	T ⁺ y	T ⁻ y	T ⁺ z	T ⁻ z	M ⁺ t	M ⁻ t	M ⁺ y	M ⁻ y	M ⁺ z	M ⁻ z
0,00	0,12	0,00	0,00	-0,46	0,00	0,00	0,00	0,00	0,00	0,00	0,00	0,00

0,89	7,99	0,00	0,62	0,00	0,00	0,00	0,00	0,00	0,00	0,00	0,00	0,00	-0,03
1,48	13,91	0,00	0,00	-0,80	0,00	0,00	0,00	0,00	0,00	0,00	0,00	0,00	-0,02
2,37	20,93	0,00	0,46	0,00	0,00	0,00	0,00	0,00	0,00	0,00	0,00	0,16	0,00
2,96	25,45	0,00	0,00	-0,55	0,00	0,00	0,00	0,00	0,00	0,00	0,00	0,18	0,00
3,84	31,44	0,00	1,27	0,00	0,00	0,00	0,00	0,00	0,00	0,00	0,00	0,00	-0,21
4,44	35,85	0,00	1,56	0,00	0,00	0,00	0,00	0,00	0,00	0,00	0,00	0,00	-1,02
5,32	41,54	0,00	3,29	0,00	0,00	-0,01	0,00	0,00	0,00	0,00	0,00	0,00	-3,18
5,92	43,44	0,00	2,67	0,00	0,00	-0,02	0,00	0,00	0,00	0,01	0,00	0,00	-5,12
6,80	46,61	0,00	5,06	0,00	0,00	-0,02	0,00	0,00	0,00	0,03	0,00	0,00	-7,85
7,39	54,92	0,00	0,00	-11,93	0,00	-0,01	0,00	0,00	0,00	0,04	0,00	0,00	-7,40
8,28	61,67	0,00	0,00	-13,29	0,02	0,00	0,00	0,00	0,00	0,04	0,00	3,51	0,00
9,55	58,06	0,00	0,05	-3,52	0,02	0,00	0,00	0,00	0,00	0,01	0,00	12,90	0,00
10,78	53,17	0,00	7,66	0,00	0,02	0,00	0,00	0,00	0,00	0,00	-0,02	10,82	0,00
12,00	47,03	0,00	21,00	0,00	0,02	0,00	0,00	0,00	0,00	0,00	-0,06	0,00	-7,81

Palo n° 52 - Tratto n° 2

X	N ⁺	N ⁻	T ⁺ y	T ⁻ y	T ⁺ z	T ⁻ z	M ⁺ t	M ⁻ t	M ⁺ y	M ⁻ y	M ⁺ z	M ⁻ z
0,00	0,00	-3,81	0,00	0,00	0,00	0,00	0,00	0,00	0,00	0,00	0,00	0,00
0,90	0,00	-19,31	0,00	-0,02	0,00	0,00	0,00	0,00	0,00	0,00	0,01	0,00
2,40	0,00	-46,02	0,03	0,00	0,00	0,00	0,00	0,00	0,00	0,00	0,04	0,00
3,91	0,00	-72,08	0,05	0,00	0,00	0,00	0,00	0,00	0,00	0,00	0,00	-0,13
5,41	0,00	-94,20	0,00	-1,65	0,00	0,00	0,00	0,00	0,00	0,00	0,83	0,00
6,91	0,00	-109,51	0,00	-3,35	0,00	0,00	0,00	0,00	0,00	0,00	4,61	0,00
8,41	0,00	-116,58	8,58	0,00	0,02	0,00	0,00	0,00	0,00	-0,01	4,87	0,00
9,65	0,00	-117,40	7,22	0,00	0,02	0,00	0,00	0,00	0,00	-0,04	0,00	-8,75
10,83	0,00	-116,10	0,00	-2,48	0,02	0,00	0,00	0,00	0,00	-0,07	0,00	-11,75
12,00	0,00	-114,80	0,00	-9,38	0,02	0,00	0,00	0,00	0,00	-0,10	1,52	-3,86

Palo n° 53 - Tratto n° 2

X	N ⁺	N ⁻	T ⁺ y	T ⁻ y	T ⁺ z	T ⁻ z	M ⁺ t	M ⁻ t	M ⁺ y	M ⁻ y	M ⁺ z	M ⁻ z
0,00	0,12	0,00	0,00	-0,46	0,00	0,00	0,00	0,00	0,00	0,00	0,00	0,00
0,92	8,27	0,00	0,62	0,00	0,00	0,00	0,00	0,00	0,00	0,00	0,00	-0,04
1,53	14,38	0,00	0,00	-0,77	0,00	0,00	0,00	0,00	0,00	0,00	0,00	-0,04
2,44	21,69	0,00	0,50	0,00	0,00	0,00	0,00	0,00	0,00	0,00	0,12	0,00
3,05	26,42	0,00	0,00	-0,63	0,00	0,00	0,00	0,00	0,00	0,00	0,15	0,00
3,97	32,77	0,00	1,16	0,00	0,00	0,00	0,00	0,00	0,00	0,00	0,00	-0,12
4,58	37,55	0,00	0,96	0,00	0,00	0,00	0,00	0,00	0,00	0,00	0,00	-0,73
5,49	43,61	0,00	2,73	0,00	0,00	-0,01	0,00	0,00	0,00	0,00	0,00	-2,44
6,10	45,50	0,00	2,37	0,00	0,00	-0,03	0,00	0,00	0,02	0,00	0,00	-4,17
7,02	48,53	0,00	5,01	0,00	0,00	-0,03	0,00	0,00	0,04	0,00	0,00	-6,98
7,63	56,19	0,00	0,00	-10,58	0,00	0,00	0,00	0,00	0,06	0,00	0,00	-6,94
8,54	63,55	0,00	0,00	-12,74	0,04	0,00	0,00	0,00	0,04	0,00	2,96	0,00
9,75	60,12	0,00	0,00	-3,78	0,04	0,00	0,00	0,00	0,00	-0,01	12,06	0,00
10,87	55,53	0,00	6,67	0,00	0,04	0,00	0,00	0,00	0,00	-0,05	10,69	0,00
12,00	52,12	0,00	15,07	0,00	0,04	0,00	0,00	0,00	0,00	-0,10	0,00	-3,86

Palo n° 54 - Tratto n° 2

X	N ⁺	N ⁻	T ⁺ y	T ⁻ y	T ⁺ z	T ⁻ z	M ⁺ t	M ⁻ t	M ⁺ y	M ⁻ y	M ⁺ z	M ⁻ z
0,00	0,00	-3,67	0,00	0,00	0,00	0,00	0,00	0,00	0,00	0,00	0,00	0,00
0,93	0,00	-18,76	0,00	-0,02	0,00	0,00	0,00	0,00	0,00	0,00	0,02	0,00
2,48	0,00	-44,80	0,03	0,00	0,00	0,00	0,00	0,00	0,00	0,00	0,06	0,00
4,03	0,00	-68,49	0,00	-0,01	0,00	0,00	0,00	0,00	0,00	0,00	0,00	-0,12
5,57	0,00	-90,21	0,00	-1,53	0,00	0,00	0,00	0,00	0,00	0,00	0,82	0,00
7,12	0,00	-105,27	0,00	-3,14	0,01	0,00	0,00	0,00	0,00	0,00	4,40	0,00
8,67	0,00	-112,23	8,84	0,00	0,02	0,00	0,00	0,00	0,00	-0,02	4,30	0,00
9,84	0,00	-113,26	7,71	0,00	0,02	0,00	0,00	0,00	0,00	-0,04	0,00	-9,19
10,92	0,00	-112,06	0,00	-2,42	0,02	0,00	0,00	0,00	0,00	-0,06	0,00	-12,10
12,00	0,00	-110,87	0,00	-8,10	0,02	0,00	0,00	0,00	0,00	-0,08	0,91	-5,61

Palo n° 55 - Tratto n° 2

X	N ⁺	N ⁻	T ⁺ y	T ⁻ y	T ⁺ z	T ⁻ z	M ⁺ t	M ⁻ t	M ⁺ y	M ⁻ y	M ⁺ z	M ⁻ z
0,00	0,12	0,00	0,00	-0,46	0,00	0,00	0,00	0,00	0,00	0,00	0,00	0,00
0,94	8,52	0,00	0,62	0,00	0,00	0,00	0,00	0,00	0,00	0,00	0,00	-0,04
1,57	14,78	0,00	0,00	-0,74	0,00	0,00	0,00	0,00	0,00	0,00	0,00	-0,05
2,51	22,31	0,00	0,56	0,00	0,00	0,00	0,00	0,00	0,00	0,00	0,07	0,00
3,14	27,21	0,00	0,00	-0,63	0,00	0,00	0,00	0,00	0,00	0,00	0,08	0,00
4,09	33,85	0,00	1,17	0,00	0,00	0,00	0,00	0,00	0,00	0,00	0,00	-0,16
4,71	39,12	0,00	0,22	-0,27	0,00	-0,01	0,00	0,00	0,00	0,00	0,00	-0,58
5,66	43,62	0,00	2,54	0,00	0,00	-0,01	0,00	0,00	0,01	0,00	0,00	-1,80

6,29	45,63	0,00	2,05	0,00	0,00	-0,03	0,00	0,00	0,02	0,00	0,00	-3,39
7,23	48,61	0,00	4,97	0,00	0,00	-0,03	0,00	0,00	0,05	0,00	0,00	-6,25
7,86	55,87	0,00	0,00	-8,80	0,00	0,00	0,00	0,00	0,07	0,00	0,00	-6,45
8,80	63,49	0,00	0,00	-12,50	0,06	0,00	0,00	0,00	0,05	0,00	2,48	0,00
9,94	60,06	0,00	0,00	-3,90	0,06	0,00	0,00	0,00	0,00	-0,02	11,38	0,00
10,97	56,13	0,00	5,18	0,00	0,06	0,00	0,00	0,00	0,00	-0,08	10,76	0,00
12,00	54,23	0,00	10,76	0,00	0,06	0,00	0,00	0,00	0,00	-0,14	1,85	-2,44

Palo n° 56 - Tratto n° 2

X	N ⁺	N ⁻	T ⁺ y	T ⁻ y	T ⁺ z	T ⁻ z	M ⁺ t	M ⁻ t	M ⁺ y	M ⁻ y	M ⁺ z	M ⁻ z
0,00	0,00	-3,57	0,00	0,00	0,00	0,00	0,00	0,00	0,00	0,00	0,00	0,00
0,96	0,00	-18,35	0,00	-0,02	0,00	0,00	0,00	0,00	0,00	0,00	0,01	0,00
2,55	0,00	-43,91	0,01	0,00	0,00	0,00	0,00	0,00	0,00	0,00	0,06	0,00
4,15	0,00	-67,25	0,00	-0,03	0,00	0,00	0,00	0,00	0,00	0,00	0,00	-0,08
5,74	0,00	-88,79	0,00	-1,10	0,00	0,00	0,00	0,00	0,00	0,00	0,69	0,00
7,34	0,00	-100,04	0,00	-3,07	0,01	0,00	0,00	0,00	0,00	-0,01	3,96	0,00
8,93	0,00	-106,94	8,21	0,00	0,02	0,00	0,00	0,00	0,00	-0,03	4,06	0,00
10,04	0,00	-108,12	8,47	0,00	0,01	0,00	0,00	0,00	0,00	-0,04	0,00	-8,65
11,02	0,00	-107,03	0,00	-0,84	0,01	0,00	0,00	0,00	0,00	-0,05	0,00	-12,66
12,00	0,00	-105,94	0,00	-5,24	0,01	0,00	0,00	0,00	0,00	-0,05	0,00	-9,28

Palo n° 57 - Tratto n° 2

X	N ⁺	N ⁻	T ⁺ y	T ⁻ y	T ⁺ z	T ⁻ z	M ⁺ t	M ⁻ t	M ⁺ y	M ⁻ y	M ⁺ z	M ⁻ z
0,00	0,12	0,00	0,00	-0,46	0,00	0,00	0,00	0,00	0,00	0,00	0,00	0,00
0,97	8,52	0,00	0,63	0,00	0,00	0,00	0,00	0,00	0,00	0,00	0,00	-0,04
1,62	14,80	0,00	0,00	-0,74	0,00	0,00	0,00	0,00	0,00	0,00	0,00	-0,05
2,59	22,34	0,00	0,58	0,00	0,00	0,00	0,00	0,00	0,00	0,00	0,06	0,00
3,24	27,29	0,00	0,00	-0,66	0,00	0,00	0,00	0,00	0,00	0,00	0,06	0,00
4,21	34,01	0,00	1,17	0,00	0,00	0,00	0,00	0,00	0,00	0,00	0,00	-0,16
4,85	39,43	0,00	0,00	-0,34	0,00	-0,01	0,00	0,00	0,00	-0,01	0,00	-0,52
5,82	44,01	0,00	2,36	0,00	0,00	-0,02	0,00	0,00	0,01	0,00	0,00	-1,52
6,47	46,04	0,00	1,88	0,00	0,00	-0,04	0,00	0,00	0,02	0,00	0,00	-3,09
7,44	48,98	0,00	5,03	0,00	0,00	-0,04	0,00	0,00	0,06	0,00	0,00	-5,98
8,09	56,23	0,00	0,00	-8,23	0,00	0,00	0,00	0,00	0,08	0,00	0,00	-6,27
9,06	64,21	0,00	0,00	-12,79	0,08	0,00	0,00	0,00	0,05	0,00	2,66	0,00
10,13	60,83	0,00	0,00	-4,54	0,08	0,00	0,00	0,00	0,00	-0,04	11,79	0,00
11,07	56,39	0,00	5,21	0,00	0,08	0,00	0,00	0,00	0,00	-0,11	11,71	0,00
12,00	53,01	0,00	13,14	0,00	0,08	0,00	0,00	0,00	0,00	-0,18	2,35	-2,27

Palo n° 58 - Tratto n° 2

X	N ⁺	N ⁻	T ⁺ y	T ⁻ y	T ⁺ z	T ⁻ z	M ⁺ t	M ⁻ t	M ⁺ y	M ⁻ y	M ⁺ z	M ⁻ z
0,00	0,00	-3,48	0,00	0,00	0,00	0,00	0,00	0,00	0,00	0,00	0,00	0,00
0,98	0,00	-18,00	0,00	-0,01	0,00	0,00	0,00	0,00	0,00	0,00	0,01	0,00
2,63	0,00	-43,16	0,00	0,00	0,00	0,00	0,00	0,00	0,00	0,00	0,06	0,00
4,27	0,00	-66,24	0,00	-0,06	0,00	0,00	0,00	0,00	0,00	0,00	0,01	-0,03
5,91	0,00	-87,66	0,00	-0,66	0,00	0,00	0,00	0,00	0,00	0,00	0,57	0,00
7,55	0,00	-95,23	0,00	-3,00	0,01	0,00	0,00	0,00	0,00	-0,01	3,70	0,00
9,19	0,00	-102,11	8,22	0,00	0,01	0,00	0,00	0,00	0,00	-0,04	3,75	0,00
10,23	0,00	-103,34	9,43	0,00	0,00	0,00	0,00	0,00	0,00	-0,04	0,00	-8,57
11,11	0,00	-102,36	1,69	-0,38	0,00	0,00	0,00	0,00	0,00	-0,04	0,00	-13,51
12,00	0,00	-101,38	0,00	-2,95	0,00	0,00	0,00	0,00	0,00	-0,04	0,00	-12,40

Palo n° 59 - Tratto n° 2

X	N ⁺	N ⁻	T ⁺ y	T ⁻ y	T ⁺ z	T ⁻ z	M ⁺ t	M ⁻ t	M ⁺ y	M ⁻ y	M ⁺ z	M ⁻ z
0,00	0,12	0,00	0,00	-0,45	0,00	0,00	0,00	0,00	0,00	0,00	0,00	0,00
1,00	8,53	0,00	0,60	0,00	0,00	0,00	0,00	0,00	0,00	0,00	0,00	-0,04
1,66	14,79	0,00	0,00	-0,69	0,00	0,00	0,00	0,00	0,00	0,00	0,00	-0,05
2,66	22,36	0,00	0,61	0,00	0,00	0,00	0,00	0,00	0,00	0,00	0,03	0,00
3,33	27,34	0,00	0,00	-0,61	0,00	0,00	0,00	0,00	0,00	0,00	0,00	-0,03
4,33	34,17	0,00	1,19	0,00	0,00	0,00	0,00	0,00	0,00	-0,01	0,00	-0,23
4,99	39,95	0,00	0,00	-0,95	0,00	-0,01	0,00	0,00	0,00	-0,01	0,00	-0,44
5,99	42,62	0,00	2,46	0,00	0,00	-0,01	0,00	0,00	0,01	0,00	0,00	-1,31
6,66	44,82	0,00	1,66	0,00	0,00	-0,04	0,00	0,00	0,03	0,00	0,00	-2,91
7,66	47,76	0,00	5,04	0,00	0,00	-0,04	0,00	0,00	0,07	0,00	0,00	-5,75
8,32	55,15	0,00	0,00	-8,27	0,01	0,00	0,00	0,00	0,09	0,00	0,00	-5,97
9,32	63,33	0,00	0,00	-13,22	0,10	0,00	0,00	0,00	0,04	0,00	3,30	0,00
10,32	59,58	0,00	0,00	-4,51	0,10	0,00	0,00	0,00	0,00	-0,06	12,22	0,00
11,16	55,13	0,00	5,06	0,00	0,10	0,00	0,00	0,00	0,00	-0,14	12,14	0,00
12,00	52,13	0,00	12,12	0,00	0,10	0,00	0,00	0,00	0,00	-0,22	4,26	-1,83

Palo n° 60 - Tratto n° 2

X	N ⁺	N ⁻	T ⁺ y	T ⁻ y	T ⁺ z	T ⁻ z	M ⁺ t	M ⁻ t	M ⁺ y	M ⁻ y	M ⁺ z	M ⁻ z
0,00	0,00	-3,35	0,00	0,00	0,00	0,00	0,00	0,00	0,00	0,00	0,00	0,00
1,01	0,00	-17,42	0,00	-0,01	0,00	0,00	0,00	0,00	0,00	0,00	0,01	0,00
2,70	0,00	-41,87	0,00	-0,01	0,00	0,00	0,00	0,00	0,00	0,00	0,05	0,00
4,39	0,00	-64,38	0,00	-0,07	0,00	0,00	0,00	0,00	0,00	0,00	0,01	-0,02
6,08	0,00	-85,41	0,00	-0,56	0,00	0,00	0,00	0,00	0,00	0,00	0,55	0,00
7,76	0,00	-92,83	0,00	-2,85	0,02	0,00	0,00	0,00	0,00	-0,01	3,57	0,00
9,45	0,00	-99,62	8,75	0,00	0,01	0,00	0,00	0,00	0,00	-0,05	3,19	0,00
10,42	0,00	-100,86	10,25	0,00	0,01	-0,01	0,00	0,00	0,00	-0,04	0,00	-8,87
11,21	0,00	-99,98	3,84	0,00	0,01	-0,01	0,00	0,00	0,00	-0,03	0,00	-14,38
12,00	0,00	-99,11	0,68	-0,70	0,01	-0,01	0,00	0,00	0,00	-0,03	0,00	-15,80

Palo n° 61 - Tratto n° 2

X	N ⁺	N ⁻	T ⁺ y	T ⁻ y	T ⁺ z	T ⁻ z	M ⁺ t	M ⁻ t	M ⁺ y	M ⁻ y	M ⁺ z	M ⁻ z
0,00	0,12	0,00	0,00	-0,46	0,00	0,00	0,00	0,00	0,00	0,00	0,00	0,00
1,03	8,30	0,00	0,60	0,00	0,00	0,00	0,00	0,00	0,00	0,00	0,00	-0,03
1,71	14,40	0,00	0,00	-0,68	0,00	0,00	0,00	0,00	0,00	0,00	0,00	-0,05
2,74	21,78	0,00	0,63	0,00	0,00	0,00	0,00	0,00	0,00	0,00	0,01	0,00
3,42	26,66	0,00	0,00	-0,60	0,00	0,00	0,00	0,00	0,00	0,00	0,00	-0,05
4,45	33,42	0,00	1,16	0,00	0,00	0,00	0,00	0,00	0,00	-0,01	0,00	-0,25
5,13	39,31	0,00	0,00	-1,41	0,00	-0,01	0,00	0,00	0,00	-0,01	0,00	-0,34
6,16	42,04	0,00	1,95	0,00	0,00	-0,01	0,00	0,00	0,00	0,00	0,00	-0,82
6,84	44,21	0,00	1,25	0,00	0,00	-0,04	0,00	0,00	0,02	0,00	0,00	-2,05
7,87	46,88	0,00	4,76	0,00	0,00	-0,05	0,00	0,00	0,06	0,00	0,00	-4,69
8,55	53,02	0,00	0,00	-5,79	0,00	-0,02	0,00	0,00	0,10	0,00	0,00	-5,54
9,58	60,61	0,00	0,00	-6,15	0,03	0,00	0,00	0,00	0,08	0,00	1,24	-0,25
10,52	61,07	0,00	0,00	-7,07	0,15	0,00	0,00	0,00	0,00	-0,07	11,04	0,00
11,26	58,20	0,00	1,07	-0,46	0,15	0,00	0,00	0,00	0,00	-0,18	13,76	0,00
12,00	57,23	0,00	2,86	0,00	0,15	0,00	0,00	0,00	0,00	-0,29	12,55	0,00

Palo n° 62 - Tratto n° 2

X	N ⁺	N ⁻	T ⁺ y	T ⁻ y	T ⁺ z	T ⁻ z	M ⁺ t	M ⁻ t	M ⁺ y	M ⁻ y	M ⁺ z	M ⁻ z
0,00	0,00	-3,28	0,00	0,00	0,00	0,00	0,00	0,00	0,00	0,00	0,00	0,00
0,89	0,00	-15,12	0,00	-0,01	0,00	0,00	0,00	0,00	0,00	0,00	0,01	0,00
2,37	0,00	-35,51	0,00	-0,02	0,00	0,00	0,00	0,00	0,00	0,00	0,04	0,00
3,85	0,00	-55,34	0,01	-0,01	0,00	0,00	0,00	0,00	0,00	0,00	0,01	0,00
5,32	0,00	-72,04	0,00	-0,18	0,00	0,00	0,00	0,00	0,00	0,00	0,20	0,00
6,80	0,00	-83,45	0,00	-1,31	0,01	0,00	0,00	0,00	0,00	0,00	0,79	0,00
8,28	0,00	-88,48	0,00	-2,59	0,02	0,00	0,00	0,00	0,00	-0,02	4,24	0,00
9,76	0,00	-94,33	9,63	0,00	0,01	0,00	0,00	0,00	0,00	-0,06	2,41	0,00
10,92	0,00	-95,24	9,87	0,00	0,01	-0,02	0,00	0,00	0,00	-0,04	0,00	-12,48
12,00	0,00	-94,04	5,63	0,00	0,01	-0,02	0,00	0,00	0,00	-0,03	0,00	-20,19

Palo n° 63 - Tratto n° 2

X	N ⁺	N ⁻	T ⁺ y	T ⁻ y	T ⁺ z	T ⁻ z	M ⁺ t	M ⁻ t	M ⁺ y	M ⁻ y	M ⁺ z	M ⁻ z
0,00	0,10	0,00	0,00	-0,38	0,00	0,00	0,00	0,00	0,00	0,00	0,00	0,00
0,90	7,02	0,00	0,50	0,00	0,00	0,00	0,00	0,00	0,00	0,00	0,00	-0,03
1,50	12,15	0,00	0,00	-0,55	0,00	0,00	0,00	0,00	0,00	0,00	0,00	-0,04
2,40	18,35	0,00	0,48	0,00	0,00	0,00	0,00	0,00	0,00	0,00	0,01	0,00
3,00	22,40	0,00	0,00	-0,47	0,00	0,00	0,00	0,00	0,00	0,00	0,00	-0,02
3,90	27,98	0,00	0,86	0,00	0,00	0,00	0,00	0,00	0,00	0,00	0,00	-0,16
4,50	32,60	0,00	0,00	-0,81	0,00	0,00	0,00	0,00	0,00	0,00	0,00	-0,24
5,40	38,33	0,00	0,19	-0,04	0,00	0,00	0,00	0,00	0,00	-0,01	0,00	-0,07
6,00	39,91	0,00	0,29	-0,19	0,00	-0,02	0,00	0,00	0,00	0,00	0,03	-0,25
6,89	41,74	0,00	2,72	0,00	0,00	-0,02	0,00	0,00	0,02	0,00	0,00	-1,45
7,49	43,95	0,00	1,38	0,00	0,00	-0,05	0,00	0,00	0,04	0,00	0,00	-2,82
8,39	46,65	0,00	4,19	0,00	0,00	-0,06	0,00	0,00	0,08	0,00	0,00	-4,99
8,99	52,63	0,00	0,00	-6,39	0,01	0,00	0,00	0,00	0,11	0,00	0,00	-5,20
9,89	59,61	0,00	0,00	-7,03	0,06	0,00	0,00	0,00	0,07	0,00	1,43	-0,28
11,00	60,07	0,00	0,00	-7,55	0,19	0,00	0,00	0,00	0,00	-0,14	13,33	0,00
12,00	59,08	0,00	0,70	-3,59	0,19	0,00	0,00	0,00	0,00	-0,33	18,44	0,00

Palo n° 64 - Tratto n° 2

X	N ⁺	N ⁻	T ⁺ y	T ⁻ y	T ⁺ z	T ⁻ z	M ⁺ t	M ⁻ t	M ⁺ y	M ⁻ y	M ⁺ z	M ⁻ z
0,00	0,00	-3,14	0,00	0,00	0,00	0,00	0,00	0,00	0,00	0,00	0,00	0,00
0,91	0,00	-14,53	0,00	-0,01	0,00	0,00	0,00	0,00	0,00	0,00	0,01	0,00

2,43	0,00	-34,17	0,00	-0,02	0,00	0,00	0,00	0,00	0,00	0,00	0,00	0,04	0,00
3,95	0,00	-53,33	0,03	0,00	0,00	0,00	0,00	0,00	0,00	0,00	0,00	0,00	0,00
5,47	0,00	-69,55	0,00	-0,14	0,00	0,00	0,00	0,00	0,00	0,00	0,00	0,13	0,00
6,99	0,00	-80,64	0,00	-1,36	0,01	0,00	0,00	0,00	0,00	0,00	0,00	0,77	0,00
8,50	0,00	-85,53	0,00	-2,54	0,03	0,00	0,00	0,00	0,00	0,00	-0,02	4,38	0,00
10,02	0,00	-91,25	11,13	0,00	0,01	0,00	0,00	0,00	0,00	0,00	-0,06	1,64	0,00
11,07	0,00	-92,16	12,65	0,00	0,01	-0,03	0,00	0,00	0,00	0,00	-0,04	0,00	-13,97
12,00	0,00	-91,13	9,00	0,00	0,01	-0,03	0,00	0,00	0,00	0,00	-0,04	0,00	-23,55

Palo n° 65 - Tratto n° 2

X	N ⁺	N ⁻	T ⁺ y	T ⁻ y	T ⁺ z	T ⁻ z	M ⁺ t	M ⁻ t	M ⁺ y	M ⁻ y	M ⁺ z	M ⁻ z
0,00	0,10	0,00	0,00	-0,38	0,00	0,00	0,00	0,00	0,00	0,00	0,00	0,00
0,92	6,89	0,00	0,49	0,00	0,00	0,00	0,00	0,00	0,00	0,00	0,00	-0,03
1,54	11,93	0,00	0,00	-0,55	0,00	0,00	0,00	0,00	0,00	0,00	0,00	-0,04
2,46	18,03	0,00	0,48	0,00	0,00	0,00	0,00	0,00	0,00	0,00	0,01	0,00
3,08	22,02	0,00	0,00	-0,47	0,00	0,00	0,00	0,00	0,00	0,00	0,00	-0,02
4,00	27,54	0,00	0,85	0,00	0,00	0,00	0,00	0,00	0,00	0,00	0,00	-0,15
4,62	32,12	0,00	0,00	-0,79	0,00	0,00	0,00	0,00	0,00	0,00	0,00	-0,24
5,54	37,80	0,00	0,22	-0,03	0,00	0,00	0,00	0,00	0,00	-0,01	0,00	-0,08
6,15	39,38	0,00	0,34	-0,18	0,00	-0,02	0,00	0,00	0,00	0,00	0,02	-0,29
7,08	41,22	0,00	2,81	0,00	0,00	-0,02	0,00	0,00	0,02	0,00	0,00	-1,57
7,69	43,52	0,00	1,26	0,00	0,00	-0,05	0,00	0,00	0,04	0,00	0,00	-3,00
8,62	46,35	0,00	4,11	0,00	0,00	-0,06	0,00	0,00	0,09	0,00	0,00	-5,09
9,23	52,91	0,00	0,00	-7,85	0,02	0,00	0,00	0,00	0,12	0,00	0,00	-4,92
10,15	60,22	0,00	0,00	-8,25	0,08	0,00	0,00	0,00	0,06	0,00	3,15	-0,04
11,15	59,65	0,00	0,00	-7,70	0,23	0,00	0,00	0,00	0,00	-0,17	15,31	0,00
12,00	57,05	0,00	1,30	-1,29	0,23	0,00	0,00	0,00	0,00	-0,37	18,53	0,00

Palo n° 66 - Tratto n° 2

X	N ⁺	N ⁻	T ⁺ y	T ⁻ y	T ⁺ z	T ⁻ z	M ⁺ t	M ⁻ t	M ⁺ y	M ⁻ y	M ⁺ z	M ⁻ z
0,00	0,00	-3,05	0,00	0,00	0,00	0,00	0,00	0,00	0,00	0,00	0,00	0,00
0,93	0,00	-14,16	0,00	-0,01	0,00	0,00	0,00	0,00	0,00	0,00	0,01	0,00
2,49	0,00	-33,37	0,00	-0,01	0,00	0,00	0,00	0,00	0,00	0,00	0,04	0,00
4,05	0,00	-50,80	0,00	-0,03	0,00	0,00	0,00	0,00	0,00	0,00	0,02	0,00
5,61	0,00	-66,74	0,02	-0,01	0,00	0,00	0,00	0,00	0,00	0,00	0,11	0,00
7,17	0,00	-74,83	0,00	-1,51	0,01	0,00	0,00	0,00	0,00	0,00	0,81	0,00
8,73	0,00	-79,59	0,00	-2,39	0,03	0,00	0,00	0,00	0,00	-0,03	4,58	0,00
10,28	0,00	-85,17	13,44	0,00	0,02	0,00	0,00	0,00	0,00	-0,07	0,72	-0,54
11,22	0,00	-86,09	15,54	0,00	0,02	-0,04	0,00	0,00	0,00	-0,04	0,00	-16,14
12,00	0,00	-85,23	11,77	0,00	0,02	-0,04	0,00	0,00	0,00	-0,05	0,00	-26,41

Palo n° 67 - Tratto n° 2

X	N ⁺	N ⁻	T ⁺ y	T ⁻ y	T ⁺ z	T ⁻ z	M ⁺ t	M ⁻ t	M ⁺ y	M ⁻ y	M ⁺ z	M ⁻ z
0,00	0,10	0,00	0,00	-0,36	0,00	0,00	0,00	0,00	0,00	0,00	0,00	0,00
0,95	6,86	0,00	0,46	0,00	0,00	0,00	0,00	0,00	0,00	0,00	0,00	-0,02
1,58	11,86	0,00	0,00	-0,51	0,00	0,00	0,00	0,00	0,00	0,00	0,00	-0,04
2,52	17,95	0,00	0,47	0,00	0,00	0,00	0,00	0,00	0,00	0,00	0,00	0,00
3,16	21,93	0,00	0,00	-0,41	0,00	0,00	0,00	0,00	0,00	0,00	0,00	-0,05
4,10	27,51	0,00	0,81	0,00	0,00	0,00	0,00	0,00	0,00	0,00	0,00	-0,18
4,73	32,22	0,00	0,00	-1,07	0,00	0,00	0,00	0,00	0,00	-0,01	0,00	-0,20
5,68	36,37	0,00	0,44	0,00	0,00	0,00	0,00	0,00	0,00	-0,01	0,10	0,00
6,31	38,06	0,00	0,41	-0,14	0,00	-0,02	0,00	0,00	0,00	0,00	0,05	-0,22
7,26	40,01	0,00	2,75	0,00	0,00	-0,02	0,00	0,00	0,02	0,00	0,00	-1,55
7,89	42,30	0,00	1,34	0,00	0,00	-0,06	0,00	0,00	0,04	0,00	0,00	-3,04
8,84	45,27	0,00	3,99	0,00	0,00	-0,06	0,00	0,00	0,10	0,00	0,00	-5,15
9,47	52,07	0,00	0,00	-8,27	0,03	0,00	0,00	0,00	0,12	0,00	0,00	-4,82
10,42	60,05	0,00	0,00	-9,50	0,10	0,00	0,00	0,00	0,04	0,00	4,23	0,00
11,29	60,22	0,00	0,00	-10,76	0,28	0,00	0,00	0,00	0,00	-0,21	17,56	0,00
12,00	56,56	0,00	0,99	-2,86	0,28	0,00	0,00	0,00	0,00	-0,41	21,81	0,00

Palo n° 68 - Tratto n° 2

X	N ⁺	N ⁻	T ⁺ y	T ⁻ y	T ⁺ z	T ⁻ z	M ⁺ t	M ⁻ t	M ⁺ y	M ⁻ y	M ⁺ z	M ⁻ z
0,00	0,00	-2,88	0,00	0,00	0,00	0,00	0,00	0,00	0,00	0,00	0,00	0,00
0,96	0,00	-13,40	0,00	-0,01	0,00	0,00	0,00	0,00	0,00	0,00	0,01	0,00
2,56	0,00	-31,60	0,00	-0,01	0,00	0,00	0,00	0,00	0,00	0,00	0,05	0,00
4,15	0,00	-48,17	0,00	-0,10	0,00	0,00	0,00	0,00	0,00	0,00	0,04	0,00
5,75	0,00	-63,39	0,02	-0,03	0,00	0,00	0,00	0,00	0,00	0,00	0,33	0,00
7,35	0,00	-71,10	0,00	-1,48	0,01	0,00	0,00	0,00	0,00	-0,01	0,84	0,00
8,95	0,00	-75,62	0,00	-1,87	0,01	0,00	0,00	0,00	0,00	-0,03	4,50	0,00



10,55	0,00	-80,96	15,90	0,00	0,02	0,00	0,00	0,00	0,00	0,00	-0,05	0,40	-2,93
11,37	0,00	-81,88	17,44	0,00	0,02	0,00	0,00	0,00	0,00	0,00	-0,06	0,00	-18,36
12,00	0,00	-81,18	14,37	0,00	0,02	0,00	0,00	0,00	0,00	0,00	-0,07	0,00	-28,11

Risultati inviluppo spostamenti pali (minimi e massimi)

Palo	Tratto	U	V	W	PhiX	PhiY	PhiZ	
1	1	-0,000010	0,000008	-0,000750	-0.1652	-0.0004	0.0033	MIN
1	1	0,000058	0,007133	-0,000309	0.2017	0.0027	0.0121	MAX
2	1	-0,000007	0,000032	-0,004182	-0.1844	0.0017	0.0025	MIN
2	1	0,000160	0,007266	0,000019	0.2079	0.0097	0.0115	MAX
3	1	-0,000011	0,000006	-0,000774	-0.1795	-0.0003	0.0033	MIN
3	1	0,000016	0,007367	-0,000334	0.1947	0.0026	0.0121	MAX
4	1	-0,000007	0,000033	-0,004355	-0.1950	0.0016	0.0025	MIN
4	1	0,000160	0,007677	0,000023	0.2106	0.0097	0.0115	MAX
5	1	-0,000011	0,000007	-0,000797	-0.1871	-0.0003	0.0033	MIN
5	1	0,000015	0,007683	-0,000359	0.1918	0.0026	0.0121	MAX
6	1	-0,000006	0,000033	-0,004457	-0.1985	0.0015	0.0024	MIN
6	1	0,000160	0,007961	0,000027	0.2067	0.0096	0.0114	MAX
7	1	-0,000012	0,000008	-0,000817	-0.1879	-0.0003	0.0032	MIN
7	1	0,000014	0,008060	-0,000377	0.1925	0.0025	0.0120	MAX
8	1	-0,000006	0,000035	-0,004550	-0.2026	0.0014	0.0023	MIN
8	1	0,000160	0,008224	0,000032	0.2032	0.0094	0.0113	MAX
9	1	-0,000012	0,000008	-0,000859	-0.1949	-0.0003	0.0032	MIN
9	1	0,000012	0,008409	-0,000392	0.1924	0.0023	0.0119	MAX
10	1	-0,000006	0,000035	-0,004771	-0.2163	0.0013	0.0023	MIN
10	1	0,000158	0,008713	0,000059	0.2110	0.0093	0.0111	MAX
11	1	-0,000012	0,000008	-0,000909	-0.2028	-0.0003	0.0032	MIN
11	1	0,000011	0,008690	-0,000403	0.1900	0.0022	0.0117	MAX
12	1	-0,000006	0,000036	-0,005119	-0.2338	0.0012	0.0023	MIN
12	1	0,000158	0,009419	0,000089	0.2237	0.0090	0.0109	MAX
13	1	-0,000013	0,000009	-0,000962	-0.2081	-0.0003	0.0031	MIN
13	1	0,000012	0,009129	-0,000409	0.2195	0.0023	0.0115	MAX
14	1	-0,000005	0,000036	-0,005066	-0.2285	0.0011	0.0022	MIN
14	1	0,000153	0,009428	0,000116	0.2312	0.0088	0.0109	MAX
15	1	-0,000013	0,000009	-0,001008	-0.2164	-0.0004	0.0030	MIN
15	1	0,000010	0,009554	-0,000414	0.2224	0.0021	0.0112	MAX
16	1	-0,000005	0,000037	-0,005452	-0.2487	0.0010	0.0022	MIN
16	1	0,000150	0,010185	0,000147	0.2422	0.0083	0.0106	MAX
17	1	-0,000014	0,000009	-0,001053	-0.2268	-0.0004	0.0029	MIN
17	1	0,000008	0,009780	-0,000424	0.2207	0.0020	0.0108	MAX
18	1	-0,000004	0,000037	-0,005828	-0.2660	0.0010	0.0021	MIN
18	1	0,000144	0,010929	0,000176	0.2540	0.0079	0.0102	MAX
19	1	-0,000015	0,000009	-0,001095	-0.2342	-0.0004	0.0028	MIN
19	1	0,000005	0,010182	-0,000434	0.2235	0.0019	0.0104	MAX
20	1	-0,000004	0,000037	-0,006040	-0.2745	0.0010	0.0020	MIN
20	1	0,000136	0,011381	0,000205	0.2548	0.0075	0.0097	MAX
21	1	-0,000017	0,000011	-0,001135	-0.2448	-0.0004	0.0027	MIN
21	1	0,000001	0,010793	-0,000438	0.2312	0.0017	0.0098	MAX
22	1	-0,000003	0,000038	-0,005777	-0.2602	0.0009	0.0019	MIN
22	1	0,000127	0,011015	0,000230	0.2398	0.0070	0.0092	MAX
23	1	-0,000019	0,000011	-0,001173	-0.2568	-0.0005	0.0025	MIN
23	1	0,000000	0,011365	-0,000448	0.2384	0.0016	0.0092	MAX
24	1	-0,000003	0,000038	-0,006667	-0.3010	0.0009	0.0018	MIN
24	1	0,000115	0,012621	0,000268	0.2712	0.0064	0.0086	MAX
25	1	-0,000023	0,000010	-0,001210	-0.2594	-0.0006	0.0024	MIN
25	1	0,000001	0,011532	-0,000457	0.2366	0.0016	0.0086	MAX
26	1	-0,000002	0,000038	-0,007054	-0.3187	0.0008	0.0017	MIN
26	1	0,000101	0,013352	0,000314	0.2792	0.0058	0.0079	MAX
27	1	-0,000028	0,000012	-0,001247	-0.2685	-0.0007	0.0021	MIN
27	1	0,000001	0,012051	-0,000457	0.2414	0.0016	0.0078	MAX
28	1	-0,000002	0,000038	-0,006630	-0.2948	0.0008	0.0016	MIN
28	1	0,000085	0,012675	0,000336	0.2573	0.0052	0.0072	MAX
29	1	-0,000035	0,000011	-0,001286	-0.2935	-0.0008	0.0019	MIN
29	1	0,000001	0,013075	-0,000466	0.2577	0.0018	0.0070	MAX
30	1	-0,000001	0,000038	-0,007751	-0.3456	0.0007	0.0014	MIN
30	1	0,000065	0,014639	0,000370	0.2920	0.0045	0.0064	MAX
31	1	-0,000044	0,000009	-0,001330	-0.2895	-0.0010	0.0017	MIN
31	1	0,000001	0,013066	-0,000470	0.2536	0.0020	0.0062	MAX
32	1	-0,000001	0,000038	-0,008281	-0.3666	0.0006	0.0012	MIN
32	1	0,000044	0,015564	0,000394	0.3127	0.0038	0.0056	MAX

33	1	-0,000055	0,000011	-0,001380	-0.3041	-0.0012	0.0014	MIN
33	1	0,000001	0,013782	-0,000478	0.2622	0.0023	0.0053	MAX
34	1	0,000000	0,000017	-0,008373	-0.3676	0.0004	0.0010	MIN
34	1	0,000024	0,015698	0,000406	0.2922	0.0032	0.0050	MAX
35	1	-0,000067	-0,000004	-0,001437	-0.3464	-0.0015	0.0011	MIN
35	1	0,000001	0,015556	-0,000482	0.2872	0.0026	0.0043	MAX
36	1	-0,000013	-0,000031	-0,010161	-0.4423	0.0003	0.0007	MIN
36	1	0,000006	0,018747	0,000417	0.3693	0.0034	0.0046	MAX
37	1	-0,000078	-0,000055	-0,001501	-0.3426	-0.0016	0.0008	MIN
37	1	0,000001	0,015530	-0,000483	0.2838	0.0029	0.0033	MAX
38	1	-0,000037	-0,000051	-0,010686	-0.4569	0.0001	0.0005	MIN
38	1	0,000002	0,019593	0,000400	0.3928	0.0036	0.0041	MAX
39	1	-0,000085	-0,000076	-0,001577	-0.3652	-0.0017	0.0004	MIN
39	1	0,000001	0,016583	-0,000488	0.2980	0.0031	0.0022	MAX
40	1	-0,000058	-0,000115	-0,011024	-0.4690	-0.0001	0.0001	MIN
40	1	0,000001	0,020090	0,000399	0.3925	0.0032	0.0032	MAX
41	1	-0,000083	-0,000156	-0,001640	-0.4311	-0.0016	0.0001	MIN
41	1	0,000001	0,019133	-0,000486	0.3484	0.0024	0.0009	MAX
42	1	-0,000073	-0,000198	-0,013090	-0.5555	-0.0004	-0.0001	MIN
42	1	0,000001	0,023576	0,000425	0.4682	0.0019	0.0017	MAX
43	1	-0,000067	-0,000267	-0,001685	-0.6061	-0.0012	-0.0005	MIN
43	1	0,000001	0,026445	-0,000491	0.5279	0.0008	-0.0002	MAX
44	2	-0,000061	-0,000231	-0,001677	-0.5534	-0.0019	-0.0020	MIN
44	2	0,000001	0,024132	-0,000487	0.4703	0.0000	-0.0005	MAX
45	2	-0,000097	-0,000174	-0,012388	-0.5281	-0.0032	-0.0034	MIN
45	2	0,000000	0,022343	0,000402	0.4508	-0.0002	-0.0004	MAX
46	2	-0,000063	-0,000083	-0,001619	-0.3924	-0.0035	-0.0034	MIN
46	2	0,000010	0,017629	-0,000483	0.3196	0.0003	-0.0008	MAX
47	2	-0,000113	-0,000058	-0,010133	-0.4364	-0.0044	-0.0049	MIN
47	2	0,000001	0,018511	0,000362	0.3556	-0.0004	-0.0006	MAX
48	2	-0,000064	-0,000015	-0,001534	-0.3513	-0.0040	-0.0044	MIN
48	2	0,000012	0,015768	-0,000478	0.2901	0.0003	-0.0011	MAX
49	2	-0,000131	0,000019	-0,008941	-0.3905	-0.0050	-0.0057	MIN
49	2	0,000001	0,016534	0,000342	0.3265	-0.0005	-0.0008	MAX
50	2	-0,000071	0,000009	-0,001452	-0.2994	-0.0040	-0.0053	MIN
50	2	0,000008	0,013524	-0,000472	0.2596	0.0002	-0.0014	MAX
51	2	-0,000148	0,000037	-0,008038	-0.3546	-0.0055	-0.0063	MIN
51	2	0,000002	0,015025	0,000336	0.3025	-0.0007	-0.0010	MAX
52	2	-0,000078	0,000009	-0,001376	-0.2822	-0.0038	-0.0061	MIN
52	2	0,000004	0,012683	-0,000466	0.2497	0.0001	-0.0016	MAX
53	2	-0,000162	0,000036	-0,007173	-0.3217	-0.0061	-0.0066	MIN
53	2	0,000003	0,013553	0,000331	0.2776	-0.0008	-0.0012	MAX
54	2	-0,000085	0,000009	-0,001307	-0.2741	-0.0034	-0.0067	MIN
54	2	0,000002	0,012126	-0,000459	0.2446	0.0001	-0.0018	MAX
55	2	-0,000173	0,000036	-0,006492	-0.2949	-0.0066	-0.0068	MIN
55	2	0,000004	0,012381	0,000305	0.2606	-0.0009	-0.0013	MAX
56	2	-0,000091	0,000009	-0,001247	-0.2573	-0.0031	-0.0072	MIN
56	2	0,000002	0,011296	-0,000452	0.2335	0.0001	-0.0019	MAX
57	2	-0,000182	0,000036	-0,006183	-0.2855	-0.0070	-0.0070	MIN
57	2	0,000004	0,011836	0,000289	0.2592	-0.0011	-0.0015	MAX
58	2	-0,000095	0,000008	-0,001193	-0.2461	-0.0030	-0.0075	MIN
58	2	0,000003	0,010669	-0,000445	0.2266	0.0001	-0.0021	MAX
59	2	-0,000189	0,000035	-0,005879	-0.2762	-0.0074	-0.0073	MIN
59	2	0,000005	0,011288	0,000266	0.2544	-0.0011	-0.0016	MAX
60	2	-0,000098	0,000008	-0,001141	-0.2362	-0.0029	-0.0078	MIN
60	2	0,000003	0,010148	-0,000431	0.2213	0.0001	-0.0022	MAX
61	2	-0,000193	0,000035	-0,005204	-0.2487	-0.0080	-0.0075	MIN
61	2	0,000006	0,010093	0,000247	0.2334	-0.0012	-0.0016	MAX
62	2	-0,000096	0,000007	-0,001084	-0.2272	-0.0030	-0.0080	MIN
62	2	0,000003	0,009625	-0,000425	0.1855	0.0001	-0.0022	MAX
63	2	-0,000195	0,000034	-0,004847	-0.2376	-0.0083	-0.0076	MIN
63	2	0,000007	0,009449	0,000237	0.1976	-0.0013	-0.0017	MAX
64	2	-0,000098	0,000007	-0,001030	-0.2259	-0.0032	-0.0082	MIN
64	2	0,000004	0,009250	-0,000410	0.1853	0.0001	-0.0023	MAX
65	2	-0,000196	0,000033	-0,004746	-0.2361	-0.0086	-0.0078	MIN
65	2	0,000007	0,009244	0,000224	0.2073	-0.0013	-0.0018	MAX
66	2	-0,000099	0,000006	-0,000972	-0.2257	-0.0035	-0.0082	MIN
66	2	0,000005	0,008957	-0,000402	0.1902	0.0001	-0.0023	MAX
67	2	-0,000196	0,000033	-0,004558	-0.2349	-0.0088	-0.0079	MIN
67	2	0,000008	0,008881	0,000217	0.2092	-0.0014	-0.0018	MAX
68	2	-0,000101	0,000009	-0,000910	-0.2090	-0.0035	-0.0083	MIN
68	2	0,000002	0,008743	-0,000385	0.2013	0.0002	-0.0023	MAX

Verifiche strutturali

Inviluppo verifiche presso-flessione pali/micropali in c.a.

Micropalo n° 1 ($D_t = 0,15200$ [m] - $S_t = 0,01000$ [m])

X	N	Mz	My	Nu	Muz	Muy	FS
0,00	-2,41	0,00	0,00	2,12	0,01	0,01	10000.00
1,61	-16,91	0,02	0,00	14,62	80,71	0,25	3444.08
3,21	-32,34	0,04	0,00	27,93	80,78	0,34	1859.30
4,82	-44,35	0,17	0,00	38,22	80,89	0,12	465.19
6,42	-56,38	0,22	0,00	48,51	80,95	0,10	365.12
8,03	-59,47	1,71	0,00	50,98	80,98	0,01	47.44
9,64	-63,20	3,65	0,01	54,00	80,96	0,18	22.18
10,92	-66,49	-8,03	0,07	56,66	-80,87	0,70	10.07
11,52	-66,26	-18,67	0,12	56,38	-80,91	0,51	4.33

Micropalo n° 2 ($D_t = 0,15200$ [m] - $S_t = 0,01000$ [m])

X	N	Mz	My	Nu	Muz	Muy	FS
0,00	-0,09	0,00	0,00	0,09	0,01	0,01	10000.00
0,96	2,04	-0,03	0,00	-0,09	-80,62	-0,21	2785.03
1,60	3,48	-0,04	0,00	-0,64	-80,59	-0,34	1817.61
2,55	5,53	-0,01	0,00	-0,90	-80,25	-2,06	12874.02
3,19	6,81	-0,06	0,00	-1,55	-80,56	0,45	1330.21
4,15	8,83	-0,23	0,00	-1,89	-80,47	0,90	345.80
4,78	10,31	-0,29	0,00	-2,97	-80,37	1,34	278.58
5,74	12,30	0,04	0,00	-12,30	80,09	2,29	2061.49
6,38	13,20	-0,20	0,00	-5,33	-80,55	-0,33	394.49
7,33	14,66	-1,35	-0,02	-4,22	-80,37	-1,28	59.73
7,97	15,69	-2,53	-0,05	-5,41	-80,32	-1,47	31.75
8,93	17,41	-4,01	-0,09	-6,26	-80,24	-1,84	20.02
9,57	18,79	-3,38	-0,10	-11,20	-80,08	-2,41	23.68
10,52	21,50	4,49	0,01	-16,90	80,47	0,20	17.94
11,10	22,48	13,00	0,20	-17,21	80,25	1,25	6.17
11,74	22,53	19,50	0,41	-15,55	80,18	1,70	4.11

Micropalo n° 3 ($D_t = 0,15200$ [m] - $S_t = 0,01000$ [m])

X	N	Mz	My	Nu	Muz	Muy	FS
0,00	-2,48	0,00	0,00	2,27	0,01	0,01	10000.00
1,58	-17,35	0,02	0,00	15,72	80,76	-0,06	4330.59
3,17	-33,15	0,04	0,00	30,01	80,84	0,11	2165.18
4,75	-45,43	0,09	0,00	41,08	80,87	0,32	890.09
6,33	-57,70	0,11	0,00	52,12	80,75	-1,18	714.90
7,91	-60,87	1,79	-0,01	54,86	80,94	-0,32	45.29
9,50	-64,69	4,27	0,00	58,18	81,01	0,06	18.99
10,76	-68,05	-6,30	0,06	61,11	-80,88	0,77	12.84
11,45	-67,75	-17,84	0,11	60,77	-80,93	0,50	4.54

Micropalo n° 4 ($D_t = 0,15200$ [m] - $S_t = 0,01000$ [m])

X	N	Mz	My	Nu	Muz	Muy	FS
0,00	0,09	0,00	0,00	-0,08	0,01	0,01	10000.00
0,94	2,11	-0,03	0,00	-1,00	-80,61	-0,22	2736.78
1,57	3,59	-0,05	0,00	-2,07	-80,58	-0,34	1772.81
2,51	5,70	-0,01	0,00	-2,98	-80,38	-1,27	8791.42
3,14	7,00	-0,07	0,00	-4,01	-80,54	0,44	1185.91
4,08	9,07	-0,25	0,00	-4,93	-80,45	0,85	323.83
4,71	10,58	-0,30	0,00	-6,46	-80,35	1,26	264.24
5,66	12,59	0,04	0,00	-12,59	80,08	2,33	2125.86
6,28	13,48	-0,22	0,00	-8,75	-80,54	-0,23	368.82
7,23	14,93	-1,39	-0,02	-8,37	-80,35	-1,16	57.78
7,86	15,95	-2,63	-0,04	-9,70	-80,31	-1,35	30.55
8,80	17,68	-4,23	-0,09	-10,73	-80,23	-1,68	18.96
9,43	19,08	-3,71	-0,10	-15,88	-80,08	-2,20	21.59
10,37	21,84	4,13	-0,01	-21,10	80,44	-0,12	19.48
10,97	22,68	12,60	0,17	-21,46	80,24	1,08	6.37
11,71	22,16	17,33	0,38	-17,24	80,15	1,77	4.63

Micropalo n° 5 ($D_t = 0,15200$ [m] - $S_t = 0,01000$ [m])

X	N	Mz	My	Nu	Muz	Muy	FS
0,00	-2,54	0,00	0,00	2,41	0,01	0,01	10000.00
1,56	-17,75	0,02	0,00	16,81	80,77	-0,06	4089.79
3,12	-33,87	0,04	0,00	32,07	80,86	0,10	2049.67
4,68	-46,39	0,10	0,00	43,89	80,89	0,29	783.27
6,24	-58,85	0,11	0,00	55,66	80,80	-1,03	709.92
7,80	-62,10	1,75	-0,01	58,66	80,96	-0,32	46.36
9,35	-65,99	4,45	0,00	62,26	81,03	0,01	18.22
10,60	-69,42	-4,89	0,05	65,44	-80,88	0,83	16.52
11,38	-69,05	-16,64	0,10	65,05	-80,94	0,50	4.86

Micropalo n° 6 ($D_t = 0,15200$ [m] - $S_t = 0,01000$ [m])

X	N	Mz	My	Nu	Muz	Muy	FS
0,00	0,10	0,00	0,00	-0,10	0,01	0,01	10000.00
0,93	2,17	-0,03	0,00	-1,72	-80,61	-0,20	2512.73
1,55	3,69	-0,05	0,00	-3,29	-80,57	-0,33	1708.79
2,48	5,86	0,01	0,00	-5,86	80,52	-0,44	8311.47
3,10	7,19	-0,03	0,00	-6,22	-80,49	0,60	2550.24
4,02	9,28	-0,20	0,00	-7,65	-80,41	0,94	393.14
4,64	10,77	-0,34	0,00	-9,42	-80,35	1,12	237.90
5,57	13,20	-0,15	0,00	-11,22	-80,06	2,50	551.25
6,19	14,06	-0,25	0,00	-12,13	-80,52	-0,13	317.52
7,12	15,47	-1,33	-0,02	-12,38	-80,32	-1,16	60.24
7,74	16,48	-2,56	-0,04	-13,83	-80,27	-1,32	31.41
8,67	18,19	-4,22	-0,09	-14,97	-80,20	-1,63	19.01
9,29	19,58	-3,88	-0,10	-20,11	-80,06	-2,08	20.61
10,21	24,83	3,33	-0,02	-24,71	80,33	-0,46	24.12
10,85	25,70	11,39	0,14	-25,70	80,21	1,01	7.04
11,67	22,99	16,43	0,36	-22,52	80,10	1,73	4.88

Micropalo n° 7 ($D_t = 0,15200$ [m] - $S_t = 0,01000$ [m])

X	N	Mz	My	Nu	Muz	Muy	FS
0,00	-2,54	0,00	0,00	2,51	0,01	0,01	10000.00
1,54	-17,69	0,02	0,00	17,47	80,77	-0,05	4315.35
3,07	-33,72	0,05	0,00	33,30	80,87	0,06	1587.75
4,61	-47,27	0,09	0,00	46,68	80,90	0,31	936.11
6,14	-60,80	0,44	0,00	60,03	80,99	-0,19	182.86
7,68	-65,20	1,69	-0,01	64,36	80,97	-0,32	47.80
9,21	-69,09	4,33	0,00	68,18	81,04	-0,04	18.74
10,44	-72,55	-4,18	0,04	71,64	-80,92	0,71	19.35
11,31	-72,10	-15,32	0,09	71,13	-80,96	0,50	5.28

Micropalo n° 8 ($D_t = 0,15200$ [m] - $S_t = 0,01000$ [m])

X	N	Mz	My	Nu	Muz	Muy	FS
0,00	0,11	0,00	0,00	-0,11	0,01	0,01	10000.00
0,91	2,40	-0,03	0,00	-2,40	-80,60	-0,20	2391.39
1,53	4,15	-0,05	0,00	-4,46	-80,56	-0,32	1630.66
2,44	6,59	0,01	0,00	-6,10	80,52	-0,43	8856.80
3,05	8,02	-0,04	0,00	-8,34	-80,47	0,59	2115.07
3,96	10,28	-0,23	0,00	-10,28	-80,40	0,86	352.59
4,57	11,93	-0,37	0,00	-12,47	-80,34	1,03	218.55
5,49	14,79	-0,14	0,00	-14,79	-80,02	2,55	573.11
6,10	15,29	-0,23	0,00	-15,31	-80,49	-0,13	350.61
7,01	16,18	-1,29	-0,02	-15,96	-80,31	-1,01	62.19
7,62	16,96	-2,52	-0,04	-17,73	-80,24	-1,28	31.90
8,53	18,99	-4,29	-0,08	-18,99	-80,18	-1,54	18.69
9,15	21,61	-4,16	-0,10	-24,09	-80,05	-1,90	19.24
10,06	28,99	2,53	-0,03	-28,28	80,19	-0,92	31.75
10,73	29,95	10,39	0,12	-29,95	80,17	0,93	7.71
11,64	27,25	15,72	0,33	-27,25	80,05	1,68	5.09

Micropalo n° 9 ($D_t = 0,15200$ [m] - $S_t = 0,01000$ [m])

X	N	Mz	My	Nu	Muz	Muy	FS
0,00	-2,65	0,00	0,00	2,65	0,01	0,01	10000.00
1,51	-18,47	0,02	0,00	18,47	80,78	-0,05	4036.07
3,02	-35,18	0,05	0,00	35,18	80,88	0,05	1488.01
4,54	-49,29	0,09	0,00	49,29	80,91	0,29	858.08
6,05	-63,34	0,45	0,00	63,34	81,00	-0,16	181.94

7,56	-67,94	1,69	-0,01	67,94	80,99	-0,30	47.81
9,07	-72,01	4,53	0,00	72,01	81,04	-0,07	17.89
10,29	-75,64	-3,40	0,03	75,19	-80,93	0,70	23.78
11,24	-75,12	-14,58	0,09	75,12	-80,97	0,49	5.55

Micropalo n° 10 ($D_t = 0,15200$ [m] - $S_t = 0,01000$ [m])

X	N	Mz	My	Nu	Muz	Muy	FS
0,00	0,11	0,00	0,00	-0,11	0,01	0,01	10000.00
0,90	3,10	-0,03	0,00	-3,10	-80,59	-0,22	2448.18
1,50	5,31	-0,05	0,00	-5,62	-80,55	-0,34	1660.85
2,40	8,35	0,01	0,00	-6,38	80,52	-0,42	9659.58
3,00	10,13	-0,03	0,00	-10,45	-80,41	0,76	2314.23
3,90	12,92	-0,21	0,00	-12,92	-80,35	0,97	389.41
4,50	14,94	-0,33	0,00	-15,46	-80,29	1,13	243.08
5,40	18,26	-0,14	0,00	-18,26	-79,99	2,54	590.54
6,00	18,86	-0,29	0,00	-18,38	-80,47	-0,12	281.67
6,90	19,89	-1,44	-0,02	-19,17	-80,31	-0,87	55.70
7,50	20,77	-2,74	-0,04	-21,51	-80,23	-1,13	29.29
8,40	23,02	-4,63	-0,08	-23,02	-80,17	-1,36	17.33
9,01	25,86	-4,52	-0,10	-28,35	-80,04	-1,70	17.72
9,90	33,73	2,43	-0,04	-32,30	80,09	-1,19	32.92
10,60	34,26	10,64	0,10	-34,26	80,15	0,77	7.53
11,60	28,89	14,14	0,31	-28,89	80,02	1,73	5.66

Micropalo n° 11 ($D_t = 0,15200$ [m] - $S_t = 0,01000$ [m])

X	N	Mz	My	Nu	Muz	Muy	FS
0,00	-2,79	0,00	0,00	2,79	0,01	0,01	10000.00
1,49	-19,42	0,02	0,00	19,42	80,78	-0,05	3885.93
2,98	-36,96	0,06	0,00	36,96	80,90	0,04	1399.52
4,47	-51,77	0,08	0,00	51,77	80,91	0,36	1003.78
5,96	-66,45	0,36	0,00	66,45	81,01	-0,16	225.48
7,44	-71,31	1,66	-0,01	71,31	81,00	-0,29	48.72
8,93	-75,61	4,85	-0,01	75,61	81,05	-0,09	16.69
10,13	-79,44	-2,30	0,03	78,50	-80,91	0,81	35.20
11,17	-78,87	-14,12	0,08	78,87	-80,98	0,46	5.74

Micropalo n° 12 ($D_t = 0,15200$ [m] - $S_t = 0,01000$ [m])

X	N	Mz	My	Nu	Muz	Muy	FS
0,00	0,11	0,00	0,00	-0,11	0,01	0,01	10000.00
0,89	3,75	-0,03	0,00	-3,75	-80,57	-0,28	2731.04
1,48	6,38	-0,05	0,00	-6,68	-80,54	-0,33	1477.89
2,36	10,34	-0,01	0,00	-10,34	-80,44	-0,62	6372.27
2,96	12,41	-0,02	0,00	-12,73	-80,19	1,77	3280.31
3,84	15,68	-0,18	0,00	-15,68	-80,26	1,27	438.50
4,43	18,03	-0,32	0,00	-18,55	-80,24	1,26	253.35
5,32	21,75	-0,21	0,00	-21,75	-80,20	1,26	378.09
5,91	22,41	-0,46	0,00	-21,47	-80,37	-0,45	175.90
6,80	23,55	-1,87	-0,02	-23,55	-80,24	-0,96	43.02
7,39	24,58	-3,32	-0,04	-25,40	-80,20	-1,05	24.14
8,27	27,32	-5,12	-0,08	-27,32	-80,14	-1,25	15.64
8,86	30,76	-4,49	-0,09	-33,60	-80,00	-1,59	17.81
9,75	39,64	3,93	-0,01	-39,64	80,19	-0,24	20.42
10,70	35,85	12,30	0,13	-35,85	80,11	0,85	6.51
11,78	30,37	10,18	0,29	-30,37	79,89	2,31	7.85

Micropalo n° 13 ($D_t = 0,15200$ [m] - $S_t = 0,01000$ [m])

X	N	Mz	My	Nu	Muz	Muy	FS
0,00	-2,89	0,00	0,00	2,89	0,01	0,01	10000.00
1,72	-23,14	0,04	0,00	23,14	80,81	-0,03	2146.10
3,44	-44,09	0,00	0,00	39,96	80,54	1,94	55783.25
5,15	-60,60	0,20	0,00	60,60	81,00	0,12	405.84
6,87	-75,00	1,04	0,00	75,00	81,00	-0,31	77.88
8,59	-80,04	4,78	-0,01	80,04	81,05	-0,13	16.96
9,97	-84,54	-2,17	0,02	83,11	-80,95	0,66	37.23
10,69	-84,32	-10,62	0,05	84,32	-81,00	0,41	7.63
11,42	-83,52	-14,67	0,09	83,52	-80,98	0,49	5.52

Micropalo n° 14 ($D_t = 0,15200$ [m] - $S_t = 0,01000$ [m])

X	N	Mz	My	Nu	Muz	Muy	FS
0,00	0,14	0,00	0,00	-0,14	0,01	0,01	10000.00
1,02	5,05	-0,04	0,00	-5,05	-80,57	-0,23	1949.65
1,71	8,60	-0,06	0,00	-9,00	-80,52	-0,30	1245.28
2,73	13,45	0,00	0,00	-13,45	-80,15	1,96	17493.48
3,41	16,27	-0,09	0,00	-16,71	-80,28	1,15	909.63
4,43	20,78	-0,36	0,00	-20,78	-80,26	1,04	222.24
5,11	24,18	-0,43	0,01	-25,07	-80,22	0,99	187.07
6,14	26,48	-0,71	-0,01	-24,82	-80,32	-0,51	113.20
6,82	27,48	-1,83	-0,02	-26,41	-80,24	-0,79	43.81
7,84	29,75	-4,29	-0,06	-29,75	-80,14	-1,10	18.69
8,52	32,61	-5,06	-0,08	-35,12	-80,03	-1,33	15.81
9,55	41,27	1,24	-0,05	-38,95	79,63	-3,10	64.16
10,19	42,72	8,22	0,05	-42,72	80,11	0,46	9.74
10,94	39,70	12,51	0,17	-39,70	80,03	1,06	6.40
11,70	37,58	11,96	0,28	-37,58	79,88	1,90	6.68

Micropalo n° 15 ($D_t = 0,15200$ [m] - $S_t = 0,01000$ [m])

X	N	Mz	My	Nu	Muz	Muy	FS
0,00	-2,98	0,00	0,00	2,98	0,01	0,01	10000.00
1,69	-23,84	0,03	0,00	23,84	80,81	-0,04	2669.41
3,38	-46,14	0,05	0,00	46,14	80,92	0,16	1676.45
5,07	-63,87	0,21	0,00	63,87	81,01	0,14	381.90
6,76	-78,67	1,12	0,00	77,04	81,02	-0,24	72.12
8,45	-83,89	4,91	-0,01	83,89	81,05	-0,14	16.50
9,81	-88,56	-1,90	0,01	86,68	-80,97	0,56	42.73
10,59	-88,31	-10,48	0,05	88,31	-81,01	0,37	7.73
11,37	-87,44	-13,78	0,08	87,44	-80,99	0,48	5.88

Micropalo n° 16 ($D_t = 0,15200$ [m] - $S_t = 0,01000$ [m])

X	N	Mz	My	Nu	Muz	Muy	FS
0,00	0,14	0,00	0,00	-0,14	0,01	0,01	10000.00
1,01	5,77	-0,04	0,00	-5,77	-80,56	-0,25	1861.00
1,68	9,82	-0,07	0,00	-10,23	-80,51	-0,29	1217.83
2,68	15,32	0,02	0,00	-14,21	80,28	1,27	4791.75
3,36	18,50	-0,05	0,00	-18,95	-79,92	2,86	1766.38
4,36	23,57	-0,28	0,00	-23,57	-80,15	1,40	288.48
5,03	27,26	-0,41	0,00	-28,04	-80,21	0,86	195.62
6,04	29,67	-1,02	-0,01	-27,59	-80,26	-0,63	78.44
6,71	30,77	-2,42	-0,03	-31,39	-80,17	-0,86	33.10
7,71	33,45	-5,12	-0,06	-33,45	-80,12	-0,98	15.65
8,39	36,97	-5,51	-0,08	-39,75	-80,00	-1,17	14.52
9,39	47,18	2,85	-0,02	-43,54	80,08	-0,56	28.07
10,21	44,62	10,33	0,07	-44,62	80,06	0,55	7.75
11,03	41,18	12,22	0,16	-41,18	80,00	1,07	6.55
11,84	38,57	7,93	0,26	-38,57	79,74	2,58	10.05

Micropalo n° 17 ($D_t = 0,15200$ [m] - $S_t = 0,01000$ [m])

X	N	Mz	My	Nu	Muz	Muy	FS
0,00	-3,10	0,00	0,00	3,10	0,01	0,01	10000.00
1,66	-24,72	0,03	0,00	24,72	80,82	-0,05	2781.44
3,33	-47,78	0,04	0,00	47,78	80,93	0,18	1811.19
4,99	-66,08	0,13	0,00	66,08	80,99	0,27	643.50
6,65	-81,32	1,05	0,00	81,32	81,02	-0,27	77.08
8,32	-86,72	5,11	-0,01	86,72	81,06	-0,15	15.86
9,65	-91,55	-0,69	0,01	89,27	-80,88	1,03	116.81
10,49	-91,27	-9,85	0,04	91,27	-81,02	0,35	8.23
11,33	-90,33	-13,69	0,08	90,33	-81,00	0,45	5.92

Micropalo n° 18 ($D_t = 0,15200$ [m] - $S_t = 0,01000$ [m])

X	N	Mz	My	Nu	Muz	Muy	FS
0,00	0,14	0,00	0,00	-0,14	0,01	0,01	10000.00
0,99	6,36	-0,04	0,00	-6,36	-80,56	-0,21	1814.67
1,65	10,82	-0,06	0,00	-11,23	-80,50	-0,28	1278.73
2,64	16,86	0,05	0,00	-15,54	80,46	0,28	1771.21
3,30	20,34	0,04	0,00	-19,15	79,99	2,50	2242.80
4,29	25,77	-0,21	0,00	-25,77	-80,09	1,61	384.30
4,95	29,58	-0,55	0,00	-30,18	-80,22	0,67	147.00
5,94	33,60	-1,31	-0,01	-33,60	-80,21	-0,51	61.43

6,60	34,71	-2,76	-0,02	-35,32	-80,15	-0,72	29.06
7,59	37,57	-5,49	-0,06	-37,57	-80,09	-0,86	14.58
8,25	41,34	-5,77	-0,08	-44,29	-79,97	-1,04	13.86
9,24	51,76	2,99	-0,03	-47,55	80,02	-0,61	26.79
10,09	49,02	10,87	0,06	-49,02	80,03	0,44	7.36
10,96	44,94	12,48	0,15	-44,94	79,98	0,95	6.41
11,83	39,82	4,91	0,24	-39,82	79,48	3,82	16.20

Micropalo n° 19 ($D_t = 0,15200$ [m] - $S_t = 0,01000$ [m])

X	N	Mz	My	Nu	Muz	Muy	FS
0,00	-3,21	0,00	0,00	3,21	0,01	0,01	10000.00
1,64	-25,52	0,03	0,00	25,52	80,82	-0,05	2729.50
3,27	-49,27	0,04	0,00	49,27	80,93	0,20	1928.98
4,91	-68,08	0,12	0,00	68,08	80,98	0,33	678.15
6,54	-83,70	1,13	0,00	81,42	81,03	-0,22	71.42
8,18	-89,25	5,26	-0,01	89,25	81,06	-0,15	15.41
9,49	-94,22	-0,40	0,01	91,58	-80,89	1,04	204.09
10,39	-93,89	-9,72	0,04	93,89	-81,03	0,31	8.34
11,28	-92,90	-13,08	0,07	92,90	-81,01	0,43	6.20

Micropalo n° 20 ($D_t = 0,15200$ [m] - $S_t = 0,01000$ [m])

X	N	Mz	My	Nu	Muz	Muy	FS
0,00	0,13	0,00	0,00	-0,13	0,01	0,01	10000.00
0,97	6,96	-0,04	0,00	-6,96	-80,56	-0,21	1847.15
1,62	11,82	-0,06	0,00	-12,23	-80,50	-0,27	1342.08
2,60	18,38	0,05	0,00	-16,87	80,44	0,31	1510.26
3,25	22,15	0,04	0,00	-20,72	80,06	2,06	1824.01
4,22	28,02	-0,22	0,00	-28,02	-80,09	1,43	364.30
4,87	32,11	-0,60	0,00	-32,69	-80,21	0,55	134.51
5,84	36,40	-1,49	-0,01	-33,45	-80,24	-0,38	53.93
6,49	37,60	-2,98	-0,02	-38,22	-80,13	-0,63	26.91
7,46	40,66	-5,72	-0,05	-40,66	-80,07	-0,76	14.00
8,11	44,63	-5,91	-0,07	-47,65	-79,95	-0,94	13.54
9,08	55,02	3,00	-0,03	-50,34	79,98	-0,64	26.70
9,96	52,07	10,81	0,05	-52,07	80,01	0,37	7.40
10,89	47,99	11,84	0,13	-47,99	79,96	0,89	6.75
11,81	44,72	4,48	0,21	-44,72	79,42	3,79	17.73

Micropalo n° 21 ($D_t = 0,15200$ [m] - $S_t = 0,01000$ [m])

X	N	Mz	My	Nu	Muz	Muy	FS
0,00	-3,27	0,00	0,00	3,27	0,01	0,01	10000.00
1,61	-25,90	0,04	0,00	25,90	80,83	-0,04	2263.81
3,22	-49,95	0,03	0,00	49,95	80,93	0,22	2395.79
4,83	-68,94	0,09	0,00	68,94	80,96	0,42	912.89
6,43	-88,03	1,48	0,00	85,41	81,05	-0,16	54.72
8,04	-93,64	5,47	-0,01	93,64	81,06	-0,16	14.81
9,33	-98,69	-0,78	0,00	95,68	-81,06	0,18	103.69
10,28	-98,30	-10,22	0,03	98,30	-81,05	0,27	7.93
11,24	-97,24	-12,14	0,06	97,24	-81,01	0,43	6.67

Micropalo n° 22 ($D_t = 0,15200$ [m] - $S_t = 0,01000$ [m])

X	N	Mz	My	Nu	Muz	Muy	FS
0,00	0,14	0,00	0,00	-0,14	0,01	0,01	10000.00
0,96	7,48	-0,04	0,00	-7,48	-80,55	-0,21	1877.84
1,60	12,69	-0,06	0,00	-13,11	-80,49	-0,24	1363.05
2,55	19,71	0,05	0,00	-18,02	80,42	0,38	1563.44
3,19	23,73	0,04	0,00	-22,09	80,04	2,08	1846.40
4,15	30,01	-0,19	0,00	-30,01	-80,04	1,57	432.08
4,79	34,40	-0,50	0,00	-34,96	-80,18	0,58	160.94
5,74	38,98	-1,26	-0,01	-35,69	-80,20	-0,43	63.75
6,38	40,28	-2,62	-0,02	-40,80	-80,09	-0,66	30.60
7,34	43,31	-5,29	-0,05	-43,31	-80,04	-0,75	15.14
7,98	47,03	-5,82	-0,06	-49,56	-79,94	-0,86	13.75
8,93	56,90	1,48	-0,03	-52,08	79,82	-1,32	53.92
9,84	54,93	8,59	0,04	-54,93	79,97	0,39	9.31
10,82	52,59	10,96	0,12	-52,59	79,91	0,84	7.29
11,80	51,18	7,67	0,19	-51,18	79,70	1,98	10.39

Micropalo n° 23 ($D_t = 0,15200$ [m] - $S_t = 0,01000$ [m])

X	N	Mz	My	Nu	Muz	Muy	FS
0,00	-3,36	0,00	0,00	3,36	0,01	0,01	10000.00
1,58	-26,56	0,04	0,00	26,56	80,83	-0,05	2196.30
3,16	-51,17	0,03	0,00	51,17	80,92	0,29	2856.56
4,74	-70,55	0,09	0,00	70,55	80,96	0,48	882.83
6,32	-89,97	1,66	0,00	87,11	81,06	-0,14	48.94
7,91	-95,69	5,77	-0,01	95,69	81,06	-0,17	14.05
9,17	-100,84	-0,76	0,00	97,55	-81,07	-0,14	107.23
10,18	-100,35	-10,56	0,03	100,35	-81,06	0,23	7.68
11,19	-99,23	-11,64	0,06	99,23	-81,01	0,43	6.96

Micropalo n° 24 ($D_t = 0,15200$ [m] - $S_t = 0,01000$ [m])

X	N	Mz	My	Nu	Muz	Muy	FS
0,00	0,14	0,00	0,00	-0,14	0,01	0,01	10000.00
0,94	8,01	-0,04	0,00	-8,01	-80,55	-0,19	1896.34
1,57	13,59	-0,05	0,00	-14,00	-80,49	-0,22	1494.75
2,51	21,06	0,08	0,00	-19,20	80,43	0,28	1044.79
3,14	25,33	0,08	0,00	-23,47	80,20	1,15	1057.05
4,08	31,93	-0,20	0,00	-31,93	-80,07	1,31	400.73
4,70	36,48	-0,66	0,00	-33,67	-80,24	0,33	121.78
5,64	41,16	-1,91	-0,01	-37,53	-80,21	-0,27	41.95
6,27	42,51	-3,55	-0,02	-39,46	-80,16	-0,39	22.60
7,21	45,92	-6,41	-0,04	-45,92	-80,05	-0,54	12.48
7,84	50,28	-6,53	-0,06	-53,36	-79,93	-0,68	12.25
8,78	60,84	2,88	-0,03	-55,36	79,91	-0,66	27.79
9,71	58,00	11,05	0,03	-58,00	79,96	0,24	7.23
10,75	53,63	12,20	0,10	-53,63	79,93	0,65	6.55
11,79	47,85	-2,25	0,17	-27,08	-80,11	1,42	35.59

Micropalo n° 25 ($D_t = 0,15200$ [m] - $S_t = 0,01000$ [m])

X	N	Mz	My	Nu	Muz	Muy	FS
0,00	-3,46	0,00	0,00	3,46	0,01	0,01	10000.00
1,55	-27,19	0,03	0,00	27,19	80,83	-0,06	2416.16
3,11	-52,31	0,02	0,00	52,31	80,89	0,50	4203.09
4,66	-72,05	0,02	0,00	72,05	80,58	2,42	3699.25
6,21	-91,76	1,57	0,00	88,67	81,06	-0,16	51.56
7,77	-97,58	5,86	-0,01	97,58	81,06	-0,18	13.83
9,01	-102,81	1,19	0,00	102,81	81,04	-0,31	68.04
10,08	-102,21	-9,77	0,03	102,21	-81,06	0,24	8.30
11,15	-101,03	-11,68	0,06	101,03	-81,02	0,43	6.94

Micropalo n° 26 ($D_t = 0,15200$ [m] - $S_t = 0,01000$ [m])

X	N	Mz	My	Nu	Muz	Muy	FS
0,00	0,13	0,00	0,00	-0,13	0,01	0,01	10000.00
0,92	8,31	-0,04	0,00	-8,31	-80,56	-0,15	1921.21
1,54	14,08	-0,05	0,00	-14,50	-80,49	-0,19	1705.87
2,46	21,82	0,11	0,00	-19,86	80,45	0,14	725.27
3,08	26,23	0,13	0,00	-24,21	80,33	0,48	597.64
4,00	32,97	-0,14	0,00	-30,00	-80,12	1,20	552.70
4,62	37,51	-0,76	0,00	-34,38	-80,26	0,23	105.36
5,54	44,05	-2,40	-0,01	-40,02	-80,20	-0,17	33.46
6,16	45,39	-4,08	-0,02	-41,96	-80,15	-0,29	19.65
7,08	48,95	-6,86	-0,04	-48,95	-80,03	-0,44	11.67
7,70	53,56	-6,77	-0,05	-56,77	-79,91	-0,56	11.81
8,62	64,14	3,33	-0,02	-58,22	79,90	-0,53	23.97
9,59	61,22	11,40	0,02	-61,22	79,92	0,17	7.01
10,69	56,76	12,12	0,08	-56,76	79,92	0,54	6.60
11,78	50,94	-2,78	0,14	-27,86	-80,18	0,99	28.86

Micropalo n° 27 ($D_t = 0,15200$ [m] - $S_t = 0,01000$ [m])

X	N	Mz	My	Nu	Muz	Muy	FS
0,00	-3,48	0,00	0,00	3,48	0,01	0,01	10000.00
1,53	-27,20	0,03	0,00	27,20	80,83	-0,06	2609.81
3,05	-52,26	0,03	0,00	52,26	80,92	0,36	2775.53
4,58	-73,62	-0,03	0,00	73,62	-80,69	1,86	2791.14
6,11	-94,98	1,96	0,00	91,60	81,07	-0,12	41.38
7,63	-102,54	6,06	-0,02	102,54	81,06	-0,21	13.38
8,85	-107,79	1,23	-0,01	107,79	81,01	-0,52	65.64

9,98	-107,03	-9,96	0,03	107,03	-81,06	0,23	8.14
11,10	-105,78	-11,02	0,06	105,78	-81,02	0,47	7.35

Micropalo n° 28 ($D_t = 0,15200$ [m] - $S_t = 0,01000$ [m])

X	N	Mz	My	Nu	Muz	Muy	FS
0,00	0,13	0,00	0,00	-0,13	0,01	0,01	10000.00
0,91	8,57	-0,04	0,00	-8,57	-80,56	-0,13	2101.39
1,51	14,51	-0,04	0,00	-14,91	-80,49	-0,16	1947.39
2,42	22,46	0,11	0,00	-20,41	80,44	0,15	741.27
3,03	26,98	0,13	0,00	-24,84	80,33	0,44	626.13
3,93	33,91	-0,13	0,00	-30,81	-80,13	1,07	598.21
4,54	38,60	-0,70	0,00	-35,31	-80,25	0,20	115.29
5,45	45,31	-2,18	0,00	-41,12	-80,19	-0,16	36.83
6,05	46,74	-3,71	-0,01	-43,05	-80,14	-0,26	21.58
6,96	50,25	-6,29	-0,03	-50,25	-80,03	-0,38	12.71
7,56	54,57	-6,40	-0,04	-57,35	-79,92	-0,48	12.49
8,47	64,44	2,20	-0,02	-58,59	79,86	-0,71	36.26
9,46	62,22	9,19	0,02	-62,22	79,91	0,15	8.69
10,62	59,51	10,56	0,06	-59,51	79,89	0,47	7.57
11,77	57,49	3,80	0,11	-57,49	79,57	2,25	20.93

Micropalo n° 29 ($D_t = 0,15200$ [m] - $S_t = 0,01000$ [m])

X	N	Mz	My	Nu	Muz	Muy	FS
0,00	-3,57	0,00	0,00	3,57	0,01	0,01	10000.00
1,50	-27,83	0,03	0,00	27,83	80,83	-0,07	2538.19
3,00	-53,42	0,01	0,00	53,42	80,77	1,14	6832.02
4,50	-75,16	-0,02	0,00	75,16	-80,31	3,81	4666.91
6,00	-96,83	2,39	0,00	93,20	81,07	-0,12	33.91
7,49	-104,51	6,73	-0,02	104,51	81,06	-0,22	12.04
8,69	-109,84	0,90	-0,01	109,84	80,90	-1,06	89.41
9,87	-108,89	-11,27	0,03	108,89	-81,07	0,21	7.20
11,06	-107,58	-10,46	0,07	107,58	-81,00	0,53	7.74

Micropalo n° 30 ($D_t = 0,15200$ [m] - $S_t = 0,01000$ [m])

X	N	Mz	My	Nu	Muz	Muy	FS
0,00	0,13	0,00	0,00	-0,13	0,01	0,01	10000.00
0,89	8,78	-0,03	0,00	-8,78	-80,56	-0,11	2333.67
1,49	14,86	-0,03	0,00	-15,25	-80,49	-0,16	2913.74
2,38	22,97	0,15	0,00	-20,86	80,45	0,10	537.08
2,97	27,56	0,17	0,00	-25,32	80,36	0,27	473.68
3,86	34,53	-0,21	0,00	-31,30	-80,23	0,52	389.50
4,46	39,17	-0,99	0,00	-35,65	-80,27	0,10	80.69
5,35	45,78	-3,04	0,00	-41,47	-80,20	-0,09	26.36
5,94	47,23	-4,92	-0,01	-43,59	-80,16	-0,15	16.28
6,83	51,13	-7,62	-0,02	-51,13	-80,05	-0,23	10.51
7,43	56,12	-7,22	-0,03	-59,46	-79,92	-0,31	11.07
8,32	66,47	3,49	-0,02	-60,23	79,90	-0,36	22.92
9,34	63,55	11,62	0,01	-63,55	79,90	0,07	6.88
10,55	59,19	12,00	0,04	-59,19	79,93	0,28	6.66
11,76	53,47	-3,41	0,07	-28,40	-80,27	0,54	23.55

Micropalo n° 31 ($D_t = 0,15200$ [m] - $S_t = 0,01000$ [m])

X	N	Mz	My	Nu	Muz	Muy	FS
0,00	-3,64	0,00	0,00	3,64	0,01	0,01	10000.00
1,47	-28,20	0,03	0,00	28,20	80,83	-0,08	2714.04
2,94	-54,06	-0,02	0,00	51,93	-80,81	0,89	4691.82
4,41	-75,99	-0,12	0,00	75,99	-80,95	0,62	702.20
5,89	-97,75	2,29	0,00	93,85	81,07	-0,14	35.34
7,36	-109,10	6,67	-0,02	109,10	81,06	-0,27	12.16
8,54	-114,49	1,87	-0,02	114,49	80,98	-0,71	43.40
9,77	-113,33	-10,17	0,03	113,33	-81,07	0,24	7.97
11,01	-111,96	-10,58	0,08	111,96	-81,00	0,59	7.66

Micropalo n° 32 ($D_t = 0,15200$ [m] - $S_t = 0,01000$ [m])

X	N	Mz	My	Nu	Muz	Muy	FS
0,00	0,13	0,00	0,00	-0,13	0,01	0,01	10000.00
0,87	8,62	-0,03	0,00	-8,62	-80,57	-0,07	3126.21
1,46	14,57	-0,02	0,00	-14,94	-80,50	-0,11	4007.74

2,33	23,40	0,17	0,00	-21,25	80,45	0,05	482.95
2,92	27,86	0,23	0,00	-28,17	80,35	0,12	351.10
3,79	34,58	-0,18	0,00	-31,34	-80,27	0,32	442.76
4,37	38,98	-1,13	0,00	-35,32	-80,28	0,05	71.17
5,25	45,94	-3,76	0,00	-41,56	-80,21	-0,03	21.32
5,83	48,66	-5,60	-0,01	-44,92	-80,16	-0,08	14.30
6,71	52,63	-8,14	-0,01	-52,63	-80,05	-0,13	9.83
7,29	57,86	-7,43	-0,02	-61,36	-79,91	-0,18	10.75
8,16	67,91	3,76	-0,01	-61,52	79,90	-0,23	21.26
9,21	64,93	12,06	0,00	-64,93	79,88	0,02	6.62
10,48	60,67	12,19	0,02	-60,67	79,94	0,13	6.56
11,75	53,12	-4,19	0,04	-49,32	-79,98	0,68	19.08

Micropalo n° 33 ($D_t = 0,15200$ [m] - $S_t = 0,01000$ [m])

X	N	Mz	My	Nu	Muz	Muy	FS
0,00	-3,76	0,00	0,00	3,76	0,01	0,01	10000.00
1,44	-29,02	0,03	0,00	29,02	80,84	-0,09	2514.35
2,89	-55,56	-0,03	0,00	53,21	-80,87	0,64	2506.88
4,33	-78,02	-0,10	0,00	78,02	-80,91	0,82	780.37
5,78	-100,22	2,63	-0,01	95,93	81,07	-0,14	30.77
7,22	-111,79	7,08	-0,03	111,79	81,06	-0,30	11.45
8,38	-117,31	1,81	-0,02	117,31	80,93	-0,95	44.80
9,67	-115,91	-10,71	0,03	115,91	-81,07	0,25	7.57
10,96	-114,47	-10,03	0,09	114,47	-80,98	0,71	8.07

Micropalo n° 34 ($D_t = 0,15200$ [m] - $S_t = 0,01000$ [m])

X	N	Mz	My	Nu	Muz	Muy	FS
0,00	0,13	0,00	0,00	-0,13	0,01	0,01	10000.00
0,86	8,47	-0,02	0,00	-8,47	-80,58	-0,03	5050.55
1,43	14,31	0,02	0,00	-13,34	80,54	-0,02	4020.64
2,29	22,96	0,20	0,00	-20,87	80,46	0,02	404.80
2,86	27,30	0,25	0,00	-27,56	80,38	0,04	321.46
3,72	33,75	-0,29	0,00	-30,62	-80,33	0,07	273.92
4,29	37,93	-1,41	0,00	-34,37	-80,30	0,01	56.85
5,15	44,69	-4,32	0,00	-40,52	-80,22	-0,01	18.59
5,72	47,54	-6,14	0,00	-44,09	-80,18	-0,03	13.05
6,58	51,99	-8,34	0,00	-51,99	-80,07	-0,04	9.61
7,15	57,79	-6,67	-0,01	-61,59	-79,93	-0,06	11.98
8,29	63,82	7,12	0,00	-58,12	80,00	-0,04	11.23
9,35	61,37	12,13	0,00	-61,37	79,95	-0,02	6.59
10,68	58,22	8,71	0,01	-58,22	80,00	-0,01	9.18
12,00	56,44	-5,52	0,01	-29,79	-80,32	0,21	14.55

Micropalo n° 35 ($D_t = 0,15200$ [m] - $S_t = 0,01000$ [m])

X	N	Mz	My	Nu	Muz	Muy	FS
0,00	-3,87	0,00	0,00	3,87	0,01	0,01	10000.00
1,42	-29,72	0,03	0,00	29,72	80,84	-0,12	2998.19
2,83	-56,83	-0,07	0,00	54,23	-80,92	0,39	1151.71
4,25	-81,57	-0,08	0,00	81,57	-80,82	1,28	1038.77
5,67	-104,17	3,57	-0,01	99,35	81,08	-0,13	22.74
7,08	-115,96	8,21	-0,03	115,96	81,06	-0,30	9.87
8,22	-121,61	1,09	-0,03	121,61	80,70	-1,98	74.25
9,57	-119,94	-12,84	0,04	119,94	-81,06	0,23	6.31
10,92	-118,44	-9,38	0,10	118,44	-80,95	0,85	8.63

Micropalo n° 36 ($D_t = 0,15200$ [m] - $S_t = 0,01000$ [m])

X	N	Mz	My	Nu	Muz	Muy	FS
0,00	0,13	0,00	0,00	-0,13	0,01	0,01	10000.00
0,84	8,17	0,01	0,00	-7,46	80,59	-0,02	11687.33
1,40	13,82	0,06	0,00	-12,94	80,54	-0,02	1283.45
2,24	22,15	0,27	0,00	-20,19	80,47	-0,03	293.29
2,81	26,27	0,30	0,00	-26,49	80,39	-0,06	267.99
3,65	32,26	-0,54	0,00	-29,22	-80,36	-0,02	147.89
4,21	36,01	-2,15	0,00	-32,46	-80,32	0,01	37.41
5,05	42,27	-5,96	0,00	-38,38	-80,25	0,02	13.45
5,61	45,20	-8,05	0,00	-42,48	-80,20	0,03	9.96
6,45	50,25	-10,07	0,01	-50,25	-80,09	0,05	7.95
7,02	57,08	-7,36	0,01	-61,22	-79,94	0,07	10.87
8,14	62,81	9,17	0,00	-57,15	80,01	-0,02	8.73

9,24	59,48	15,34	-0,01	-59,48	79,97	-0,06	5.21
10,62	54,20	9,58	-0,02	-54,20	80,01	-0,20	8.35
12,00	49,50	-14,23	-0,04	-49,50	-80,07	-0,20	5.63

Micropalo n° 37 ($D_t = 0,15200$ [m] - $S_t = 0,01000$ [m])

X	N	Mz	My	Nu	Muz	Muy	FS
0,00	-3,99	0,00	0,00	3,99	0,01	0,01	10000.00
1,39	-30,45	0,03	0,00	30,45	80,84	-0,11	3062.96
2,78	-58,16	-0,09	0,00	55,26	-80,93	0,39	932.00
4,17	-83,37	-0,18	0,00	83,37	-80,96	0,60	460.19
5,56	-106,34	3,42	-0,01	101,00	81,07	-0,15	23.72
6,95	-122,18	8,22	-0,03	122,18	81,02	-0,34	9.86
8,06	-127,96	1,86	-0,03	127,96	80,77	-1,37	43.53
9,47	-126,00	-11,93	0,04	126,00	-81,01	0,25	6.79
10,87	-124,44	-9,39	0,11	124,44	-80,89	0,91	8.61

Micropalo n° 38 ($D_t = 0,15200$ [m] - $S_t = 0,01000$ [m])

X	N	Mz	My	Nu	Muz	Muy	FS
0,00	0,15	0,00	0,00	-0,15	0,01	0,01	10000.00
1,00	9,21	0,03	0,00	-8,45	80,58	0,00	2864.75
1,66	15,61	0,14	0,00	-14,70	80,52	-0,04	575.48
2,66	24,03	0,32	0,00	-24,03	80,40	-0,11	248.94
3,32	28,53	-0,16	0,00	-25,87	-80,35	-0,28	515.07
4,32	34,69	-3,23	0,00	-31,36	-80,34	0,01	24.85
4,99	39,36	-6,66	0,00	-37,22	-80,26	0,04	12.05
5,98	44,48	-9,99	0,01	-44,48	-80,16	0,10	8.02
6,65	50,32	-9,64	0,02	-54,74	-80,02	0,14	8.30
7,64	61,90	5,23	0,01	-56,39	80,00	0,12	15.31
8,61	58,95	13,58	-0,01	-58,95	79,99	-0,05	5.89
9,67	55,79	15,57	-0,03	-55,79	80,01	-0,14	5.14
10,73	51,48	8,39	-0,05	-51,48	80,00	-0,43	9.54
11,79	44,78	-11,69	-0,06	-44,78	-80,09	-0,44	6.85

Micropalo n° 39 ($D_t = 0,15200$ [m] - $S_t = 0,01000$ [m])

X	N	Mz	My	Nu	Muz	Muy	FS
0,00	-4,16	0,00	0,00	4,16	0,01	0,01	10000.00
1,65	-37,42	0,02	0,00	37,42	80,90	0,03	3521.44
3,29	-72,84	-0,25	0,00	68,91	-80,99	0,31	319.18
4,94	-101,11	1,72	0,00	95,63	81,08	-0,09	47.25
6,58	-124,83	8,41	-0,03	124,83	81,01	-0,30	9.64
7,90	-131,72	1,64	-0,03	131,72	80,69	-1,65	49.17
8,98	-130,03	-10,86	0,02	130,03	-81,00	0,13	7.46
10,06	-128,64	-13,03	0,07	128,64	-80,95	0,42	6.21
11,14	-127,44	-5,99	0,12	127,44	-80,73	1,58	13.47

Micropalo n° 40 ($D_t = 0,15200$ [m] - $S_t = 0,01000$ [m])

X	N	Mz	My	Nu	Muz	Muy	FS
0,00	0,15	0,00	0,00	-0,15	0,01	0,01	10000.00
0,98	8,35	0,04	0,00	-7,72	80,59	-0,02	2057.90
1,63	14,17	0,18	0,00	-13,47	80,53	-0,05	453.19
2,61	21,80	0,42	0,00	-20,08	80,45	-0,10	190.18
3,26	25,79	0,08	0,00	-25,75	80,24	-0,84	959.25
4,23	30,99	-3,32	0,00	-28,13	-80,37	0,01	24.24
4,89	34,74	-7,34	0,01	-32,68	-80,31	0,05	10.94
5,86	42,12	-10,52	0,02	-42,12	-80,18	0,13	7.62
6,52	47,74	-9,73	0,02	-52,09	-80,04	0,20	8.23
7,49	58,63	5,16	0,02	-53,72	80,02	0,20	15.51
8,48	55,79	13,52	-0,01	-55,79	80,03	-0,04	5.92
9,58	52,83	15,33	-0,03	-52,83	80,04	-0,16	5.22
10,68	48,77	7,91	-0,06	-48,77	80,01	-0,56	10.12
11,78	44,40	-11,12	-0,08	-41,98	-80,11	-0,48	7.21

Micropalo n° 41 ($D_t = 0,15200$ [m] - $S_t = 0,01000$ [m])

X	N	Mz	My	Nu	Muz	Muy	FS
0,00	-4,26	0,00	0,00	4,26	0,01	0,01	10000.00
1,61	-38,09	0,02	0,00	38,09	80,90	0,07	3264.35
3,22	-74,02	-0,38	0,00	69,75	-81,01	0,20	215.03
4,84	-102,61	2,07	0,00	96,65	81,08	-0,07	39.23

6,45	-131,43	10,71	-0,03	131,43	80,97	-0,22	7.56
7,74	-138,41	-1,10	-0,03	130,28	-80,61	-2,06	73.45
8,86	-136,45	-13,65	0,01	136,45	-80,96	0,06	5.93
9,98	-134,93	-14,88	0,05	134,93	-80,93	0,29	5.44
11,10	-133,69	-4,18	0,10	133,69	-80,62	1,88	19.31

Micropalo n° 42 ($D_t = 0,15200$ [m] - $S_t = 0,01000$ [m])

X	N	Mz	My	Nu	Muz	Muy	FS
0,00	0,16	0,00	0,00	-0,16	0,01	0,01	10000.00
0,96	7,72	0,10	0,00	-7,21	80,59	-0,05	803.69
1,60	13,10	0,31	0,00	-12,55	80,53	-0,06	256.85
2,55	19,96	0,51	0,00	-19,96	80,45	-0,13	158.09
3,19	23,26	-0,39	0,00	-21,02	-80,44	-0,14	206.52
4,15	27,23	-5,03	0,00	-24,76	-80,41	0,03	15.99
4,79	30,47	-10,16	0,01	-29,60	-80,35	0,06	7.91
5,74	39,35	-12,98	0,02	-39,35	-80,22	0,14	6.18
6,38	46,69	-9,82	0,03	-51,55	-80,04	0,22	8.15
7,66	53,14	11,51	0,01	-49,02	80,11	0,04	6.96
8,57	50,30	17,53	-0,01	-50,30	80,09	-0,05	4.57
9,72	46,72	15,82	-0,03	-46,72	80,12	-0,16	5.07
10,86	42,16	3,13	-0,05	-42,16	79,94	-1,35	25.54
12,00	39,56	-20,62	-0,07	-39,56	-80,18	-0,29	3.89

Micropalo n° 43 ($D_t = 0,15200$ [m] - $S_t = 0,01000$ [m])

X	N	Mz	My	Nu	Muz	Muy	FS
0,00	-4,37	0,00	0,00	4,37	0,01	0,01	10000.00
1,58	-38,82	-0,02	0,00	36,49	-80,89	0,08	4769.66
3,16	-75,31	-0,66	0,00	70,78	-81,04	0,08	122.57
4,74	-104,26	4,24	0,00	97,96	81,10	-0,02	19.11
6,32	-133,31	15,92	-0,02	133,31	80,98	-0,10	5.09
7,58	-140,37	-5,13	-0,02	131,78	-80,95	-0,33	15.78
8,74	-137,17	-21,56	0,00	137,17	-80,97	0,00	3.76
9,91	-135,32	-19,78	0,02	135,32	-80,97	0,10	4.09
11,07	-134,03	3,07	0,05	76,14	81,06	-0,03	26.42

Micropalo n° 44 ($D_t = 0,15200$ [m] - $S_t = 0,01000$ [m])

X	N	Mz	My	Nu	Muz	Muy	FS
0,00	-4,35	0,00	0,00	4,35	0,01	0,01	10000.00
1,59	-38,77	0,02	0,00	38,77	80,90	-0,10	4835.42
3,18	-75,26	-0,58	0,00	70,75	-81,05	0,01	140.74
4,77	-104,24	3,55	0,00	97,96	81,10	0,01	22.82
6,36	-133,37	14,37	0,00	133,37	81,00	-0,01	5.64
7,64	-140,44	-4,21	-0,01	131,88	-80,98	-0,16	19.23
8,78	-137,39	-19,27	-0,02	137,39	-80,96	-0,07	4.20
9,93	-135,60	-18,20	-0,02	135,60	-80,96	-0,10	4.45
11,08	-134,33	2,62	-0,03	76,49	81,06	0,06	30.96

Micropalo n° 45 ($D_t = 0,15200$ [m] - $S_t = 0,01000$ [m])

X	N	Mz	My	Nu	Muz	Muy	FS
0,00	0,15	0,00	0,00	-0,15	0,01	0,01	10000.00
0,97	7,61	0,07	0,00	-7,12	80,60	0,00	1100.79
1,62	12,93	0,26	0,00	-12,44	80,54	-0,02	312.29
2,59	19,80	0,49	0,00	-19,80	80,47	-0,07	164.95
3,24	23,18	-0,23	0,00	-21,14	-80,42	-0,19	353.37
4,21	27,32	-4,35	0,00	-24,99	-80,41	0,01	18.51
4,86	30,52	-9,14	0,00	-29,51	-80,36	0,03	8.79
5,83	38,71	-12,27	0,01	-38,71	-80,23	0,07	6.54
6,48	45,55	-9,85	0,02	-50,65	-80,07	0,13	8.13
7,77	52,54	10,85	0,01	-48,60	80,11	0,09	7.38
8,66	49,93	16,63	0,01	-49,93	80,10	0,05	4.82
9,77	46,63	15,59	0,01	-46,63	80,14	0,04	5.14
10,89	41,78	4,17	-0,01	-41,78	80,19	0,08	19.21
12,00	36,81	-20,93	-0,02	-36,81	-80,27	0,00	3.84

Micropalo n° 46 ($D_t = 0,15200$ [m] - $S_t = 0,01000$ [m])

X	N	Mz	My	Nu	Muz	Muy	FS
0,00	-4,26	0,00	0,00	4,26	0,01	0,01	10000.00
1,65	-38,44	0,02	0,00	38,44	80,89	-0,13	3519.83

3,29	-74,83	-0,29	0,00	70,57	-81,04	-0,06	283.35
4,94	-103,89	2,05	0,00	97,96	81,09	0,06	39.57
6,59	-128,29	9,15	0,01	128,29	81,03	0,06	8.86
7,90	-135,41	0,97	0,00	135,41	80,93	-0,27	83.79
8,98	-133,75	-12,39	-0,03	133,75	-80,96	-0,18	6.53
10,06	-132,37	-14,11	-0,05	132,37	-80,95	-0,30	5.74
11,14	-131,17	-5,08	-0,08	131,17	-80,77	-1,23	15.91

Micropalo n° 47 ($D_t = 0,15200$ [m] - $S_t = 0,01000$ [m])

X	N	Mz	My	Nu	Muz	Muy	FS
0,00	0,13	0,00	0,00	-0,13	0,01	0,01	10000.00
0,83	6,79	0,01	0,00	-6,31	80,56	0,25	13850.68
1,39	11,51	0,07	0,00	-11,02	80,56	0,01	1227.23
2,22	18,49	0,30	0,00	-17,14	80,49	-0,05	264.50
2,77	21,93	0,36	0,00	-22,15	80,43	-0,10	225.51
3,60	26,82	-0,41	0,00	-24,69	-80,39	-0,15	193.89
4,16	29,75	-2,01	0,00	-27,17	-80,38	-0,02	40.03
4,99	34,49	-6,14	0,00	-31,76	-80,33	0,03	13.09
5,54	39,05	-8,32	0,01	-37,44	-80,25	0,06	9.65
6,38	43,47	-9,92	0,02	-43,47	-80,16	0,13	8.08
6,93	49,78	-7,28	0,02	-53,75	-80,01	0,24	10.98
8,04	55,23	8,63	0,02	-50,97	80,06	0,16	9.28
9,17	52,18	14,61	0,01	-52,18	80,06	0,08	5.48
10,59	47,57	9,25	-0,01	-47,57	80,12	0,08	8.66
12,00	44,06	-12,21	-0,02	-44,06	-80,18	0,02	6.57

Micropalo n° 48 ($D_t = 0,15200$ [m] - $S_t = 0,01000$ [m])

X	N	Mz	My	Nu	Muz	Muy	FS
0,00	-4,12	0,00	0,00	4,12	0,01	0,01	10000.00
1,41	-31,67	0,03	0,00	31,67	80,87	-0,03	3125.22
2,82	-60,55	-0,08	0,00	57,39	-80,98	-0,20	1021.47
4,23	-86,90	-0,08	0,00	86,90	-81,07	0,07	1063.75
5,64	-110,97	3,66	0,00	105,12	81,09	0,08	22.14
7,05	-123,56	8,36	0,01	123,56	81,06	0,08	9.70
8,17	-129,63	1,14	-0,01	129,63	80,96	-0,36	71.28
9,54	-127,94	-12,97	-0,05	127,94	-80,98	-0,29	6.24
10,91	-126,43	-9,28	-0,09	126,43	-80,90	-0,77	8.72

Micropalo n° 49 ($D_t = 0,15200$ [m] - $S_t = 0,01000$ [m])

X	N	Mz	My	Nu	Muz	Muy	FS
0,00	0,12	0,00	0,00	-0,12	0,01	0,01	10000.00
0,86	7,38	-0,02	0,00	-7,38	-80,56	0,19	3970.44
1,43	12,49	0,01	0,00	-11,86	80,49	0,33	5545.16
2,29	20,07	0,20	0,00	-18,53	80,48	-0,06	411.96
2,87	23,88	0,25	0,00	-24,16	80,39	-0,19	321.18
3,72	29,52	-0,26	0,00	-27,17	-80,30	-0,43	307.79
4,30	33,12	-1,38	0,00	-30,40	-80,33	-0,09	58.39
5,16	38,89	-4,36	0,00	-35,73	-80,28	0,03	18.42
5,73	41,30	-6,32	0,01	-38,98	-80,23	0,10	12.69
6,59	45,18	-8,75	0,02	-45,18	-80,13	0,21	9.15
7,16	50,52	-7,67	0,03	-54,26	-79,99	0,32	10.42
8,02	60,04	4,24	0,03	-55,09	79,94	0,51	18.86
9,10	56,83	12,83	0,02	-56,83	80,00	0,10	6.24
10,42	52,08	12,13	-0,01	-52,08	80,08	0,00	6.60
11,74	46,84	-5,22	-0,03	-44,23	-80,13	-0,25	15.36

Micropalo n° 50 ($D_t = 0,15200$ [m] - $S_t = 0,01000$ [m])

X	N	Mz	My	Nu	Muz	Muy	FS
0,00	-3,95	0,00	0,00	3,95	0,01	0,01	10000.00
1,46	-30,68	0,03	0,00	30,68	80,86	-0,03	2689.04
2,91	-58,78	-0,03	0,00	56,00	-80,91	-0,47	2928.12
4,37	-82,60	-0,11	0,00	82,60	-81,05	0,14	710.62
5,82	-106,20	2,48	0,00	101,13	81,08	0,11	32.66
7,28	-118,56	6,95	0,00	118,56	81,10	0,05	11.67
8,44	-124,48	1,90	-0,01	124,48	80,97	-0,50	42.72
9,71	-123,24	-10,54	-0,05	123,24	-81,00	-0,39	7.68
10,98	-121,83	-10,30	-0,09	121,83	-80,95	-0,70	7.86

Micropalo n° 51 ($D_t = 0,15200$ [m] - $S_t = 0,01000$ [m])

X	N	Mz	My	Nu	Muz	Muy	FS
0,00	0,12	0,00	0,00	-0,12	0,01	0,01	10000.00
0,89	7,99	-0,03	0,00	-7,99	-80,55	0,19	2447.86
1,48	13,53	-0,02	0,00	-13,91	-80,46	0,36	3377.56
2,37	20,93	0,16	0,00	-19,27	80,46	-0,11	515.90
2,96	25,12	0,18	0,00	-23,40	80,36	-0,36	451.49
3,84	31,44	-0,21	0,00	-28,89	-80,20	-0,82	388.64
4,44	35,61	-1,02	0,00	-32,83	-80,28	-0,18	78.34
5,32	41,54	-3,18	0,00	-38,15	-80,24	0,09	25.27
5,92	42,88	-5,12	0,01	-40,18	-80,19	0,18	15.65
6,80	46,61	-7,85	0,03	-46,61	-80,09	0,32	10.20
7,39	51,54	-7,40	0,04	-54,92	-79,95	0,46	10.81
8,28	61,67	3,51	0,04	-56,50	79,88	0,75	22.77
9,31	58,79	11,82	0,01	-58,79	79,98	0,08	6.77
10,53	54,39	12,37	-0,02	-54,39	80,03	-0,12	6.47
11,76	47,35	-3,62	-0,05	-28,62	-80,24	-0,67	22.15

Micropalo n° 52 ($D_t = 0,15200$ [m] - $S_t = 0,01000$ [m])

X	N	Mz	My	Nu	Muz	Muy	FS
0,00	-3,81	0,00	0,00	3,81	0,01	0,01	10000.00
1,50	-29,82	0,03	0,00	29,82	80,85	-0,05	2834.14
3,00	-57,25	0,01	0,00	57,25	80,83	-0,94	6792.38
4,51	-80,60	-0,05	0,00	80,60	-80,90	0,88	1646.26
6,01	-103,88	2,10	0,00	99,44	81,08	0,10	38.67
7,51	-112,21	6,45	0,00	112,21	81,11	-0,02	12.57
8,71	-118,02	1,54	-0,02	118,02	80,91	-1,05	52.60
9,89	-117,14	-10,24	-0,05	117,14	-81,04	-0,39	7.92
11,06	-115,84	-10,95	-0,08	115,84	-81,00	-0,58	7.40

Micropalo n° 53 ($D_t = 0,15200$ [m] - $S_t = 0,01000$ [m])

X	N	Mz	My	Nu	Muz	Muy	FS
0,00	0,12	0,00	0,00	-0,12	0,01	0,01	10000.00
0,92	8,27	-0,04	0,00	-8,27	-80,55	0,20	2141.82
1,53	14,01	-0,04	0,00	-14,38	-80,47	0,30	2022.06
2,44	21,69	0,12	0,00	-19,95	80,45	-0,13	697.95
3,05	26,07	0,15	0,00	-24,29	80,33	-0,49	553.06
3,97	32,77	-0,12	0,00	-30,12	-79,99	-1,80	691.01
4,58	37,25	-0,73	0,00	-34,43	-80,24	-0,33	110.49
5,49	43,61	-2,44	0,00	-40,05	-80,20	0,14	32.91
6,10	44,98	-4,17	0,02	-41,97	-80,15	0,29	19.20
7,02	48,53	-6,98	0,04	-48,53	-80,03	0,47	11.46
7,63	53,10	-6,94	0,06	-56,19	-79,90	0,64	11.52
8,54	63,55	2,96	0,04	-58,23	79,80	1,02	26.93
9,52	60,84	11,01	0,00	-60,84	79,96	0,02	7.26
10,65	56,57	11,94	-0,04	-56,57	79,97	-0,29	6.70
11,77	52,15	-2,63	-0,09	-29,32	-80,15	-1,05	30.52

Micropalo n° 54 ($D_t = 0,15200$ [m] - $S_t = 0,01000$ [m])

X	N	Mz	My	Nu	Muz	Muy	FS
0,00	-3,67	0,00	0,00	3,67	0,01	0,01	10000.00
1,55	-28,99	0,04	0,00	28,99	80,84	-0,06	2268.55
3,10	-55,77	0,01	0,00	55,77	80,83	-0,86	8139.77
4,65	-76,84	-0,02	0,00	73,92	-80,54	2,62	3571.62
6,19	-99,74	2,02	0,00	95,93	81,08	0,07	40.18
7,74	-107,92	6,19	-0,01	107,92	81,09	-0,11	13.10
8,98	-113,61	0,72	-0,03	113,61	80,48	-3,18	111.75
10,06	-113,02	-10,64	-0,05	113,02	-81,05	-0,35	7.62
11,14	-111,82	-11,39	-0,06	111,82	-81,02	-0,46	7.11

Micropalo n° 55 ($D_t = 0,15200$ [m] - $S_t = 0,01000$ [m])

X	N	Mz	My	Nu	Muz	Muy	FS
0,00	0,12	0,00	0,00	-0,12	0,01	0,01	10000.00
0,94	8,52	-0,04	0,00	-8,52	-80,53	0,26	2106.29
1,57	14,41	-0,05	0,00	-14,78	-80,46	0,33	1657.55
2,51	22,31	0,07	0,00	-20,53	80,41	-0,28	1112.43
3,14	26,84	0,08	0,00	-25,04	80,17	-1,22	1023.79
4,09	33,85	-0,16	0,00	-33,85	-79,91	-2,02	507.48
4,72	38,68	-0,58	0,00	-35,94	-80,18	-0,52	139.06

5,66	43,62	-1,80	0,01	-40,14	-80,18	0,26	44.54
6,29	45,09	-3,39	0,02	-42,12	-80,12	0,43	23.60
7,23	48,61	-6,25	0,05	-48,61	-80,00	0,64	12.80
7,86	52,94	-6,45	0,07	-55,87	-79,87	0,84	12.38
8,80	63,49	2,48	0,05	-58,25	79,74	1,30	32.17
9,73	60,76	10,40	-0,01	-60,76	79,95	-0,07	7.69
10,76	56,92	11,64	-0,07	-56,92	79,93	-0,48	6.87
11,79	54,17	4,03	-0,13	-54,17	79,55	-2,56	19.73

Micropalo n° 56 ($D_t = 0,15200$ [m] - $S_t = 0,01000$ [m])

X	N	Mz	My	Nu	Muz	Muy	FS
0,00	-3,57	0,00	0,00	3,57	0,01	0,01	10000.00
1,59	-28,38	0,03	0,00	28,38	80,83	-0,10	2532.50
3,19	-54,71	0,02	0,00	54,71	80,95	-0,25	3248.44
4,78	-75,52	0,03	0,00	75,52	80,46	3,04	2341.53
6,38	-96,41	1,52	0,00	93,12	81,09	0,03	53.40
7,97	-102,67	5,78	-0,01	102,67	81,06	-0,21	14.02
9,25	-108,28	0,54	-0,04	108,28	80,06	-5,29	147.56
10,23	-107,90	-10,14	-0,04	107,90	-81,04	-0,34	7.99
11,21	-106,81	-12,45	-0,05	106,81	-81,05	-0,32	6.51

Micropalo n° 57 ($D_t = 0,15200$ [m] - $S_t = 0,01000$ [m])

X	N	Mz	My	Nu	Muz	Muy	FS
0,00	0,12	0,00	0,00	-0,12	0,01	0,01	10000.00
0,97	8,52	-0,04	0,00	-8,52	-80,53	0,26	2013.04
1,62	14,42	-0,05	0,00	-14,80	-80,46	0,34	1468.34
2,59	22,34	0,06	0,00	-20,60	80,42	-0,26	1424.12
3,24	26,91	0,06	0,00	-25,16	80,10	-1,59	1343.05
4,21	34,01	-0,16	0,00	-34,01	-79,86	-2,27	509.31
4,86	38,93	-0,52	-0,01	-39,43	-80,09	-0,78	155.24
5,82	44,01	-1,52	0,01	-40,60	-80,16	0,33	52.59
6,47	45,49	-3,09	0,02	-46,04	-80,04	0,61	25.87
7,44	48,98	-5,98	0,06	-48,98	-79,96	0,78	13.37
8,09	53,27	-6,27	0,08	-56,23	-79,83	1,00	12.73
9,06	64,21	2,66	0,05	-58,99	79,75	1,23	29.96
9,95	61,51	10,79	-0,02	-61,51	79,91	-0,17	7.41
10,88	57,43	12,48	-0,10	-57,43	79,89	-0,62	6.40
11,81	53,08	4,75	-0,17	-53,08	79,51	-2,83	16.73

Micropalo n° 58 ($D_t = 0,15200$ [m] - $S_t = 0,01000$ [m])

X	N	Mz	My	Nu	Muz	Muy	FS
0,00	-3,48	0,00	0,00	3,48	0,01	0,01	10000.00
1,64	-27,86	0,03	0,00	27,86	80,82	-0,14	2874.60
3,28	-53,83	0,04	0,00	53,83	80,97	-0,11	2095.76
4,92	-74,45	0,10	0,00	74,45	80,78	1,43	793.53
6,56	-91,63	1,23	0,00	88,84	81,08	-0,02	66.09
8,21	-97,85	5,53	-0,02	97,85	81,04	-0,31	14.64
9,52	-103,40	-0,55	-0,04	100,17	-80,01	-5,47	145.91
10,41	-103,15	-10,10	-0,04	103,15	-81,04	-0,32	8.02
11,29	-102,16	-13,68	-0,04	102,16	-81,06	-0,22	5.92

Micropalo n° 59 ($D_t = 0,15200$ [m] - $S_t = 0,01000$ [m])

X	N	Mz	My	Nu	Muz	Muy	FS
0,00	0,12	0,00	0,00	-0,12	0,01	0,01	10000.00
1,00	8,53	-0,04	0,00	-8,53	-80,52	0,32	2188.81
1,67	14,43	-0,05	0,00	-14,79	-80,45	0,39	1463.09
2,66	22,36	0,03	0,00	-20,67	80,32	-0,76	2951.16
3,33	26,95	-0,03	0,00	-12,70	-80,31	-1,19	2867.26
4,33	34,17	-0,23	-0,01	-34,17	-79,95	-1,80	342.66
4,99	39,32	-0,44	-0,01	-39,95	-80,05	-0,93	181.30
5,99	42,62	-1,31	0,01	-39,48	-80,15	0,43	61.09
6,66	44,21	-2,91	0,03	-44,82	-80,03	0,71	27.55
7,66	47,76	-5,75	0,07	-47,76	-79,95	0,91	13.91
8,32	52,07	-5,97	0,09	-55,15	-79,81	1,18	13.36
9,32	63,33	3,30	0,04	-58,32	79,82	0,94	24.18
10,16	60,32	11,33	-0,04	-60,32	79,91	-0,27	7.05
10,99	56,11	12,82	-0,12	-56,11	79,88	-0,76	6.23
11,83	52,18	6,26	-0,20	-52,18	79,56	-2,60	12.72

Micropalo n° 60 ($D_t = 0,15200$ [m] - $S_t = 0,01000$ [m])

X	N	Mz	My	Nu	Muz	Muy	FS
0,00	-3,35	0,00	0,00	3,35	0,01	0,01	10000.00
1,69	-27,00	0,03	0,00	27,00	80,81	-0,15	3081.76
3,38	-52,27	0,04	0,00	52,27	80,96	-0,15	1991.55
5,06	-72,42	0,11	0,00	72,42	80,77	1,47	718.96
6,75	-89,30	1,14	0,00	86,90	81,08	-0,04	71.32
8,44	-95,41	5,34	-0,03	95,41	81,02	-0,40	15.16
9,79	-100,86	-1,24	-0,05	98,08	-80,54	-2,80	65.17
10,58	-100,68	-10,39	-0,04	100,68	-81,04	-0,31	7.80
11,37	-99,81	-14,90	-0,03	99,81	-81,07	-0,17	5.44

Micropalo n° 61 ($D_t = 0,15200$ [m] - $S_t = 0,01000$ [m])

X	N	Mz	My	Nu	Muz	Muy	FS
0,00	0,12	0,00	0,00	-0,12	0,01	0,01	10000.00
1,03	8,30	-0,03	0,00	-8,30	-80,53	0,29	2306.79
1,71	14,04	-0,05	0,00	-14,40	-80,45	0,40	1464.17
2,74	21,78	0,01	0,00	-20,23	80,41	-0,33	6694.33
3,42	26,28	-0,05	0,00	-26,66	-79,98	-2,06	1628.49
4,45	33,42	-0,25	-0,01	-33,42	-79,99	-1,62	316.41
5,13	38,60	-0,34	-0,01	-39,31	-79,95	-1,48	237.02
6,16	42,04	-0,82	0,00	-39,10	-80,18	0,33	98.10
6,84	43,65	-2,05	0,02	-41,17	-80,08	0,68	39.07
7,87	46,88	-4,69	0,06	-46,88	-79,93	1,08	17.03
8,56	50,49	-5,54	0,10	-53,02	-79,80	1,38	14.42
9,58	60,61	1,24	0,08	-56,69	79,16	4,36	63.91
10,22	62,27	8,54	-0,02	-62,27	79,90	-0,19	9.36
10,96	59,26	13,27	-0,13	-59,26	79,83	-0,80	6.02
11,70	57,24	13,32	-0,25	-57,24	79,72	-1,48	5.98

Micropalo n° 62 ($D_t = 0,15200$ [m] - $S_t = 0,01000$ [m])

X	N	Mz	My	Nu	Muz	Muy	FS
0,00	-3,28	0,00	0,00	3,28	0,01	0,01	10000.00
1,48	-23,14	0,02	0,00	23,14	80,79	-0,16	4385.97
2,96	-44,07	0,05	0,00	44,07	80,90	-0,24	1573.96
4,44	-61,78	0,05	0,00	61,78	80,73	1,52	1647.68
5,92	-79,35	0,30	0,00	79,35	80,90	0,89	274.10
7,40	-85,37	1,85	-0,01	83,37	81,04	-0,20	43.92
8,87	-90,72	5,40	-0,04	90,72	80,98	-0,54	15.00
10,06	-95,50	-1,73	-0,06	93,21	-80,64	-2,29	46.50
11,14	-95,00	-14,46	-0,03	95,00	-81,06	-0,19	5.61

Micropalo n° 63 ($D_t = 0,15200$ [m] - $S_t = 0,01000$ [m])

X	N	Mz	My	Nu	Muz	Muy	FS
0,00	0,10	0,00	0,00	-0,10	0,01	0,01	10000.00
0,90	7,02	-0,03	0,00	-7,02	-80,55	0,26	2841.52
1,50	11,86	-0,04	0,00	-12,15	-80,47	0,41	1907.49
2,40	18,35	0,01	0,00	-17,13	80,24	1,30	7458.97
3,00	22,10	-0,02	0,00	-22,40	-80,25	-1,00	3494.67
3,90	27,98	-0,16	0,00	-27,98	-80,12	-1,31	513.08
4,50	32,14	-0,24	0,00	-32,60	-80,00	-1,63	328.38
5,40	38,33	-0,07	-0,01	-35,79	-79,19	-5,52	1202.10
6,00	39,64	-0,25	0,00	-37,28	-80,22	-0,26	326.93
6,89	41,74	-1,45	0,02	-39,10	-80,09	0,79	55.38
7,50	43,33	-2,82	0,04	-43,95	-79,97	1,09	28.36
8,39	46,65	-4,99	0,08	-46,65	-79,88	1,35	16.00
8,99	50,26	-5,20	0,11	-52,63	-79,74	1,67	15.34
9,89	59,61	1,43	0,07	-55,96	79,36	3,38	55.63
10,59	61,14	9,75	-0,06	-61,14	79,85	-0,53	8.19
11,60	59,04	16,86	-0,26	-59,04	79,75	-1,21	4.73

Micropalo n° 64 ($D_t = 0,15200$ [m] - $S_t = 0,01000$ [m])

X	N	Mz	My	Nu	Muz	Muy	FS
0,00	-3,14	0,00	0,00	3,14	0,01	0,01	10000.00
1,52	-22,25	0,02	0,00	22,25	80,78	-0,15	4801.13
3,04	-42,43	0,05	0,00	42,43	80,88	-0,28	1633.68
4,56	-59,57	0,02	0,00	59,57	80,36	3,33	3627.14
6,07	-76,66	0,21	0,00	76,66	80,80	1,38	376.86

7,59	-82,50	1,90	-0,01	82,50	81,03	-0,26	42.68
9,11	-87,72	5,47	-0,04	87,72	80,96	-0,62	14.80
10,33	-92,34	-3,00	-0,06	90,50	-80,79	-1,50	26.90
11,26	-91,96	-16,21	-0,04	91,96	-81,06	-0,18	5.00

Micropalo n° 65 ($D_t = 0,15200$ [m] - $S_t = 0,01000$ [m])

X	N	Mz	My	Nu	Muz	Muy	FS
0,00	0,10	0,00	0,00	-0,10	0,01	0,01	10000.00
0,92	6,89	-0,03	0,00	-6,89	-80,55	0,23	2827.10
1,54	11,64	-0,04	0,00	-11,93	-80,48	0,39	1894.42
2,46	18,03	0,01	0,00	-16,92	80,24	1,32	6380.88
3,08	21,72	-0,02	0,00	-22,02	-80,27	-0,90	4685.51
4,00	27,54	-0,15	0,00	-27,54	-80,12	-1,33	548.12
4,62	31,65	-0,24	0,00	-32,12	-79,99	-1,68	336.96
5,54	37,80	-0,08	-0,01	-35,50	-79,29	-5,01	1032.39
6,15	39,11	-0,29	0,00	-37,00	-80,21	-0,28	279.84
7,08	41,22	-1,57	0,02	-38,84	-80,10	0,77	51.08
7,69	42,85	-3,00	0,04	-43,52	-79,97	1,10	26.63
8,62	46,35	-5,09	0,09	-46,35	-79,87	1,43	15.69
9,23	50,24	-4,92	0,12	-52,91	-79,70	1,87	16.21
10,15	60,22	3,15	0,06	-56,69	79,76	1,32	25.31
10,80	61,34	12,04	-0,09	-61,34	79,83	-0,61	6.63
11,66	57,39	17,90	-0,29	-57,39	79,76	-1,29	4.46

Micropalo n° 66 ($D_t = 0,15200$ [m] - $S_t = 0,01000$ [m])

X	N	Mz	My	Nu	Muz	Muy	FS
0,00	-3,05	0,00	0,00	3,05	0,01	0,01	10000.00
1,56	-21,70	0,02	0,00	21,70	80,78	-0,15	4300.04
3,12	-41,47	0,04	0,00	41,47	80,87	-0,34	2029.01
4,67	-56,93	0,06	0,00	56,93	80,70	1,55	1419.03
6,23	-72,34	0,05	0,00	71,26	80,10	4,80	1545.91
7,79	-76,64	2,03	-0,01	76,64	81,02	-0,27	39.92
9,35	-81,72	5,48	-0,05	81,72	80,94	-0,72	14.78
10,60	-86,19	-5,12	-0,07	84,85	-80,89	-0,98	15.80
11,38	-85,92	-18,48	-0,04	85,92	-81,05	-0,17	4.39

Micropalo n° 67 ($D_t = 0,15200$ [m] - $S_t = 0,01000$ [m])

X	N	Mz	My	Nu	Muz	Muy	FS
0,00	0,10	0,00	0,00	-0,10	0,01	0,01	10000.00
0,95	6,86	-0,02	0,00	-6,86	-80,55	0,26	3254.75
1,58	11,59	-0,04	0,00	-11,86	-80,47	0,41	2058.60
2,52	17,95	0,00	0,00	-9,90	80,38	0,98	18645.48
3,16	21,65	-0,05	0,00	-21,93	-80,36	-0,47	1653.15
4,10	27,51	-0,18	0,00	-27,51	-80,15	-1,16	442.41
4,74	31,72	-0,20	-0,01	-32,22	-79,93	-2,01	398.93
5,68	36,37	0,10	-0,01	-36,37	79,43	-4,25	828.00
6,31	37,79	-0,22	0,00	-36,02	-80,21	-0,35	371.69
7,26	40,01	-1,55	0,02	-40,01	-80,04	0,96	51.57
7,89	41,68	-3,04	0,04	-42,30	-79,97	1,18	26.32
8,84	45,27	-5,15	0,10	-45,27	-79,87	1,52	15.50
9,47	49,35	-4,82	0,12	-52,07	-79,68	2,00	16.53
10,42	60,05	4,23	0,04	-56,82	79,88	0,70	18.89
11,01	61,88	14,01	-0,13	-61,88	79,80	-0,73	5.69
11,72	57,28	20,77	-0,33	-57,28	79,76	-1,26	3.84

Micropalo n° 68 ($D_t = 0,15200$ [m] - $S_t = 0,01000$ [m])

X	N	Mz	My	Nu	Muz	Muy	FS
0,00	-2,88	0,00	0,00	2,88	0,01	0,01	10000.00
1,60	-20,54	0,03	0,00	20,54	80,58	-1,11	3205.79
3,20	-39,31	0,05	0,00	39,31	80,53	-1,98	1630.51
4,79	-54,01	0,15	0,00	54,01	80,74	-1,28	542.83
6,39	-68,75	0,16	0,00	68,75	80,65	-2,00	507.76
7,99	-72,81	2,09	-0,02	72,81	80,94	-0,62	38.69
9,59	-77,66	4,90	-0,04	77,66	80,95	-0,62	16.51
10,87	-81,90	-8,41	-0,05	81,90	-80,98	-0,52	9.63
11,50	-81,74	-20,50	-0,06	81,74	-81,03	-0,25	3.95

Involuppo verifiche a taglio pali in c.a.

Palo n° 1

X	Ved	V_{Rd}	FS
0,00	0,00	641,61	1000.00
1,61	0,02	641,61	1000.00
3,21	0,06	641,61	1000.00
4,82	0,24	641,61	1000.00
6,42	0,28	641,61	1000.00
8,03	1,82	641,61	352.12
9,64	1,84	641,61	348.03
10,92	17,61	641,61	36.44
11,52	15,98	641,61	40.16

Palo n° 2

X	Ved	V_{Rd}	FS
0,00	0,36	641,61	1000.00
0,96	0,48	641,61	1000.00
1,60	0,50	641,61	1000.00
2,55	0,48	641,61	1000.00
3,19	0,66	641,61	1000.00
4,15	0,88	641,61	732.66
4,78	0,89	641,61	592.62
5,74	0,45	641,61	1000.00
6,38	1,29	641,61	1000.00
7,33	2,53	641,61	254.02
7,97	3,27	641,61	1000.00
8,93	3,37	641,61	190.18
9,57	1,63	641,61	80.21
10,52	7,84	641,61	81.89
11,10	12,48	641,61	51.43
11,74	8,17	641,61	78.53

Palo n° 3

X	Ved	V_{Rd}	FS
0,00	0,00	641,61	1000.00
1,58	0,02	641,61	1000.00
3,17	0,05	641,61	1000.00
4,75	0,12	641,61	1000.00
6,33	0,08	641,61	1000.00
7,91	2,00	641,61	320.40
9,50	1,28	641,61	501.60
10,76	16,94	641,61	37.87
11,45	14,54	641,61	44.13

Palo n° 4

X	Ved	V_{Rd}	FS
0,00	0,37	641,61	1000.00
0,94	0,49	641,61	1000.00
1,57	0,52	641,61	1000.00
2,51	0,50	641,61	1000.00
3,14	0,69	641,61	1000.00
4,08	0,92	641,61	700.38
4,71	0,92	641,61	562.69
5,66	0,46	641,61	1000.00
6,28	1,34	641,61	1000.00
7,23	2,65	641,61	242.20
7,86	3,43	641,61	952.75
8,80	3,57	641,61	179.84
9,43	1,79	641,61	81.05
10,37	7,84	641,61	81.87
10,97	11,05	641,61	58.08
11,71	2,14	641,61	300.36

Palo n° 5

X	Ved	V_{Rd}	FS
0,00	0,00	641,61	1000.00
1,56	0,02	641,61	1000.00
3,12	0,05	641,61	1000.00

4,68	0,13	641,61	1000.00
6,24	0,09	641,61	1000.00
7,80	2,03	641,61	316.25
9,35	0,89	641,61	723.05
10,60	15,77	641,61	40.68
11,38	12,28	641,61	52.23

Palo n° 6

X	Ved	V_{Rd}	FS
0,00	0,38	641,61	1000.00
0,93	0,51	641,61	1000.00
1,55	0,53	641,61	1000.00
2,48	0,49	641,61	1000.00
3,10	0,68	641,61	1000.00
4,02	0,94	641,61	684.04
4,64	1,06	641,61	795.44
5,57	0,16	641,61	1000.00
6,19	1,18	641,61	1000.00
7,12	2,67	641,61	240.73
7,74	3,51	641,61	978.05
8,67	3,76	641,61	170.76
9,29	2,15	641,61	86.39
10,21	7,14	641,61	89.83
10,85	10,07	641,61	63.72
11,67	2,75	641,61	232.99

Palo n° 7

X	Ved	V_{Rd}	FS
0,00	0,00	641,61	1000.00
1,54	0,01	641,61	1000.00
3,07	0,02	641,61	1000.00
4,61	0,18	641,61	1000.00
6,14	0,08	641,61	1000.00
7,68	1,91	641,61	335.18
9,21	0,78	641,61	820.24
10,44	14,46	641,61	44.39
11,31	9,56	641,61	67.14

Palo n° 8

X	Ved	V_{Rd}	FS
0,00	0,41	641,61	1000.00
0,91	0,55	641,61	1000.00
1,53	0,58	641,61	1000.00
2,44	0,54	641,61	1000.00
3,05	0,74	641,61	1000.00
3,96	1,01	641,61	633.02
4,57	1,14	641,61	728.38
5,49	0,13	641,61	1000.00
6,10	1,19	641,61	1000.00
7,01	2,72	641,61	235.53
7,62	3,60	641,61	891.99
8,53	3,93	641,61	163.25
9,15	2,43	641,61	93.33
10,06	6,71	641,61	95.60
10,73	9,51	641,61	67.46
11,64	2,83	641,61	226.67

Palo n° 9

X	Ved	V_{Rd}	FS
0,00	0,00	641,61	1000.00
1,51	0,02	641,61	1000.00
3,02	0,02	641,61	1000.00
4,54	0,19	641,61	1000.00
6,05	0,11	641,61	1000.00
7,56	1,98	641,61	323.36
9,07	0,53	641,61	1000.00
10,29	13,94	641,61	46.01
11,24	7,76	641,61	82.65

Palo n° 10

X	Ved	V_{Rd}	FS
0,00	0,40	641,61	1000.00
0,90	0,54	641,61	1000.00
1,50	0,56	641,61	1000.00
2,40	0,52	641,61	1000.00
3,00	0,72	641,61	1000.00
3,90	0,97	641,61	659.39
4,50	1,08	641,61	750.82
5,40	0,19	641,61	1000.00
6,00	1,24	641,61	1000.00
6,90	2,81	641,61	228.51
7,50	3,71	641,61	673.12
8,40	4,01	641,61	160.13
9,01	2,38	641,61	90.49
9,90	7,14	641,61	89.83
10,60	9,19	641,61	69.82
11,60	2,34	641,61	274.48

Palo n° 11

X	Ved	V_{Rd}	FS
0,00	0,00	641,61	1000.00
1,49	0,02	641,61	1000.00
2,98	0,02	641,61	1000.00
4,47	0,16	641,61	1000.00
5,96	0,11	641,61	1000.00
7,44	2,11	641,61	304.79
8,93	0,28	641,61	1000.00
10,13	13,51	641,61	47.50
11,17	7,18	641,61	89.31

Palo n° 12

X	Ved	V_{Rd}	FS
0,00	0,42	641,61	1000.00
0,89	0,54	641,61	1000.00
1,48	0,59	641,61	1000.00
2,36	0,44	641,61	1000.00
2,96	0,69	641,61	1000.00
3,84	0,99	641,61	647.14
4,43	1,12	641,61	788.04
5,32	0,32	641,61	1000.00
5,91	1,48	641,61	1000.00
6,80	3,17	641,61	202.55
7,39	4,06	641,61	645.26
8,27	3,95	641,61	162.33
8,86	1,62	641,61	71.40
9,75	12,96	641,61	49.49
10,70	4,31	641,61	148.95
11,78	7,60	641,61	84.41

Palo n° 13

X	Ved	V_{Rd}	FS
0,00	0,00	641,61	1000.00
1,72	0,03	641,61	1000.00
3,44	0,11	641,61	1000.00
5,15	0,33	641,61	1000.00
6,87	1,28	641,61	502.53
8,59	1,18	641,61	541.73
9,97	12,82	641,61	50.06
10,69	8,73	641,61	73.49
11,42	2,74	641,61	234.27

Palo n° 14

X	Ved	V_{Rd}	FS
0,00	0,51	641,61	1000.00
1,02	0,67	641,61	952.21
1,71	0,73	641,61	842.31
2,73	0,73	641,61	884.11

3,41	1,01	641,61	1000.00
4,43	1,39	641,61	462.53
5,11	1,43	641,61	338.72
6,14	1,96	641,61	327.44
6,82	3,35	641,61	694.68
7,84	4,74	641,61	135.37
8,52	4,04	641,61	114.56
9,55	5,65	641,61	113.63
10,19	9,13	641,61	70.29
10,94	2,23	641,61	287.14
11,70	3,12	641,61	205.82

Palo n° 15

X	Ved	V_{Rd}	FS
0,00	0,00	641,61	1000.00
1,69	0,02	641,61	1000.00
3,38	0,10	641,61	1000.00
5,07	0,37	641,61	1000.00
6,76	1,34	641,61	479.01
8,45	1,26	641,61	508.40
9,81	12,65	641,61	50.72
10,59	7,77	641,61	82.63
11,37	1,02	641,61	629.95

Palo n° 16

X	Ved	V_{Rd}	FS
0,00	0,53	641,61	1000.00
1,01	0,70	641,61	918.75
1,68	0,75	641,61	810.29
2,68	0,71	641,61	897.42
3,36	0,97	641,61	931.57
4,36	1,32	641,61	485.95
5,03	1,45	641,61	447.36
6,04	2,26	641,61	283.56
6,71	3,70	641,61	460.51
7,71	4,82	641,61	133.01
8,39	3,36	641,61	89.24
9,39	12,35	641,61	51.95
10,21	6,09	641,61	105.34
11,03	1,68	641,61	382.03
11,84	8,00	641,61	80.22

Palo n° 17

X	Ved	V_{Rd}	FS
0,00	0,00	641,61	1000.00
1,66	0,02	641,61	1000.00
3,33	0,10	641,61	1000.00
4,99	0,27	641,61	1000.00
6,65	1,45	641,61	442.54
8,32	1,67	641,61	383.99
9,65	12,06	641,61	53.21
10,49	8,11	641,61	79.12
11,33	1,13	641,61	565.53

Palo n° 18

X	Ved	V_{Rd}	FS
0,00	0,51	641,61	1000.00
0,99	0,69	641,61	936.41
1,65	0,73	641,61	804.67
2,64	0,66	641,61	979.26
3,30	0,89	641,61	910.32
4,29	1,29	641,61	497.83
4,95	1,68	641,61	1000.00
5,94	2,18	641,61	294.60
6,60	3,78	641,61	420.86
7,59	4,95	641,61	129.62
8,25	3,29	641,61	82.32
9,24	12,71	641,61	50.50
10,09	6,06	641,61	105.79

10,96	2,93	641,61	219.19
11,83	13,73	641,61	46.73

Palo n° 19

X	Ved	V_{Rd}	FS
0,00	0,00	641,61	1000.00
1,64	0,02	641,61	1000.00
3,27	0,11	641,61	1000.00
4,91	0,28	641,61	1000.00
6,54	1,54	641,61	416.59
8,18	1,77	641,61	362.57
9,49	11,87	641,61	54.03
10,39	7,53	641,61	85.22
11,28	0,82	641,61	782.78

Palo n° 20

X	Ved	V_{Rd}	FS
0,00	0,50	641,61	1000.00
0,97	0,68	641,61	941.37
1,62	0,72	641,61	802.12
2,60	0,65	641,61	994.66
3,25	0,88	641,61	933.60
4,22	1,31	641,61	488.91
4,87	1,74	641,61	1000.00
5,84	2,31	641,61	277.21
6,49	3,92	641,61	398.62
7,46	5,00	641,61	128.43
8,11	3,18	641,61	76.40
9,08	12,63	641,61	50.82
9,96	5,55	641,61	115.61
10,89	3,57	641,61	179.61
11,81	11,29	641,61	56.83

Palo n° 21

X	Ved	V_{Rd}	FS
0,00	0,00	641,61	1000.00
1,61	0,03	641,61	1000.00
3,22	0,15	641,61	1000.00
4,83	0,37	641,61	1000.00
6,43	1,45	641,61	441.26
8,04	1,67	641,61	383.64
9,33	12,36	641,61	51.91
10,28	6,44	641,61	99.57
11,24	2,17	641,61	295.73

Palo n° 22

X	Ved	V_{Rd}	FS
0,00	0,52	641,61	1000.00
0,96	0,70	641,61	922.09
1,60	0,73	641,61	793.20
2,55	0,65	641,61	991.65
3,19	0,87	641,61	923.56
4,15	1,25	641,61	514.51
4,79	1,60	641,61	1000.00
5,74	2,09	641,61	306.44
6,38	3,60	641,61	391.19
7,34	4,72	641,61	135.86
7,98	3,29	641,61	99.40
8,93	11,00	641,61	58.35
9,84	5,53	641,61	116.04
10,82	1,35	641,61	474.83
11,80	5,33	641,61	120.43

Palo n° 23

X	Ved	V_{Rd}	FS
0,00	0,00	641,61	1000.00
1,58	0,03	641,61	1000.00
3,16	0,16	641,61	1000.00

4,74	0,41	641,61	1000.00
6,32	1,63	641,61	393.27
7,91	1,72	641,61	373.33
9,17	12,72	641,61	50.43
10,18	6,01	641,61	106.75
11,19	3,74	641,61	171.68

Palo n° 24

X	Ved	V_{Rd}	FS
0,00	0,51	641,61	1000.00
0,94	0,69	641,61	923.56
1,57	0,73	641,61	775.65
2,51	0,63	641,61	1000.00
3,14	0,86	641,61	946.25
4,08	1,32	641,61	487.48
4,70	1,82	641,61	1000.00
5,64	2,65	641,61	242.02
6,27	4,25	641,61	318.07
7,21	5,14	641,61	124.91
7,84	2,97	641,61	67.19
8,78	12,90	641,61	49.72
9,71	5,78	641,61	111.10
10,75	4,10	641,61	156.53
11,79	16,43	641,61	39.06

Palo n° 25

X	Ved	V_{Rd}	FS
0,00	0,00	641,61	1000.00
1,55	0,03	641,61	1000.00
3,11	0,15	641,61	1000.00
4,66	0,32	641,61	1000.00
6,21	1,81	641,61	355.30
7,77	2,00	641,61	321.42
9,01	11,93	641,61	53.79
10,08	6,27	641,61	102.27
11,15	2,88	641,61	222.50

Palo n° 26

X	Ved	V_{Rd}	FS
0,00	0,50	641,61	1000.00
0,92	0,68	641,61	940.20
1,54	0,70	641,61	766.25
2,46	0,57	641,61	1000.00
3,08	0,78	641,61	937.81
4,00	1,28	641,61	500.63
4,62	1,97	641,61	786.85
5,54	2,64	641,61	243.15
6,16	4,31	641,61	296.92
7,08	5,11	641,61	125.44
7,70	2,63	641,61	59.12
8,62	12,94	641,61	49.58
9,59	5,48	641,61	117.16
10,69	4,68	641,61	136.98
11,78	17,19	641,61	37.33

Palo n° 27

X	Ved	V_{Rd}	FS
0,00	0,00	641,61	1000.00
1,53	0,02	641,61	1000.00
3,05	0,11	641,61	1000.00
4,58	0,38	641,61	1000.00
6,11	2,03	641,61	316.78
7,63	1,95	641,61	329.04
8,85	12,24	641,61	52.42
9,98	5,56	641,61	115.35
11,10	3,67	641,61	174.81

Palo n° 28

X	Ved	V_{Rd}	FS
0,00	0,49	641,61	1000.00
0,91	0,66	641,61	975.30
1,51	0,67	641,61	794.12
2,42	0,54	641,61	1000.00
3,03	0,74	641,61	999.33
3,93	1,21	641,61	529.90
4,54	1,83	641,61	869.14
5,45	2,43	641,61	263.85
6,05	3,96	641,61	310.25
6,96	4,72	641,61	135.81
7,56	2,58	641,61	70.43
8,47	11,24	641,61	57.11
9,46	4,76	641,61	134.76
10,62	2,62	641,61	244.74
11,77	8,54	641,61	75.13

Palo n° 29

X	Ved	V_{Rd}	FS
0,00	0,00	641,61	1000.00
1,50	0,02	641,61	1000.00
3,00	0,13	641,61	1000.00
4,50	0,50	641,61	1000.00
6,00	2,42	641,61	265.13
7,49	1,79	641,61	358.85
8,69	13,63	641,61	47.07
9,87	4,95	641,61	129.65
11,06	6,35	641,61	100.98

Palo n° 30

X	Ved	V_{Rd}	FS
0,00	0,48	641,61	1000.00
0,89	0,64	641,61	998.64
1,49	0,64	641,61	777.48
2,38	0,50	641,61	1000.00
2,97	0,71	641,61	1000.00
3,86	1,30	641,61	493.49
4,46	2,16	641,61	454.66
5,35	3,16	641,61	202.86
5,94	4,69	641,61	252.84
6,83	5,05	641,61	127.06
7,43	1,98	641,61	54.49
8,32	13,12	641,61	48.89
9,34	5,17	641,61	124.00
10,55	5,06	641,61	126.69
11,76	17,67	641,61	36.32

Palo n° 31

X	Ved	V_{Rd}	FS
0,00	0,00	641,61	1000.00
1,47	0,02	641,61	1000.00
2,94	0,14	641,61	1000.00
4,41	0,38	641,61	1000.00
5,89	2,92	641,61	220.01
7,36	1,99	641,61	322.20
8,54	12,63	641,61	50.79
9,77	5,08	641,61	126.30
11,01	4,77	641,61	134.40

Palo n° 32

X	Ved	V_{Rd}	FS
0,00	0,48	641,61	1000.00
0,87	0,62	641,61	1000.00
1,46	0,62	641,61	839.38
2,33	0,33	641,61	1000.00
2,92	0,59	641,61	1000.00
3,79	1,31	641,61	490.16
4,37	2,40	641,61	307.85
5,25	4,52	641,61	141.99

5,83	4,73	641,61	247.42
6,71	4,91	641,61	130.76
7,29	1,46	641,61	52.25
8,16	13,38	641,61	47.97
9,21	4,97	641,61	129.11
10,48	5,23	641,61	122.59
11,75	21,10	641,61	30.41

Palo n° 33

X	Ved	V_{Rd}	FS
0,00	0,00	641,61	1000.00
1,44	0,02	641,61	1000.00
2,89	0,16	641,61	1000.00
4,33	0,50	641,61	1000.00
5,78	3,23	641,61	198.78
7,22	1,89	641,61	339.38
8,38	13,33	641,61	48.15
9,67	4,46	641,61	143.80
10,96	5,79	641,61	110.83

Palo n° 34

X	Ved	V_{Rd}	FS
0,00	0,47	641,61	1000.00
0,86	0,58	641,61	1000.00
1,43	0,57	641,61	828.38
2,29	0,29	641,61	1000.00
2,86	0,58	641,61	1000.00
3,72	1,45	641,61	441.20
4,29	2,70	641,61	250.32
5,15	4,89	641,61	131.30
5,72	4,82	641,61	270.25
6,58	4,17	641,61	153.76
7,15	3,38	641,61	44.25
8,29	8,81	641,61	72.80
9,35	1,56	641,61	412.20
10,68	6,84	641,61	93.87
12,00	12,85	641,61	49.91

Palo n° 35

X	Ved	V_{Rd}	FS
0,00	0,00	641,61	1000.00
1,42	0,00	641,61	1000.00
2,83	0,16	641,61	1000.00
4,25	0,74	641,61	866.95
5,67	4,06	641,61	158.13
7,08	1,38	641,61	464.96
8,22	15,30	641,61	41.94
9,57	3,73	641,61	171.94
10,92	9,09	641,61	70.55

Palo n° 36

X	Ved	V_{Rd}	FS
0,00	0,48	641,61	1000.00
0,84	0,56	641,61	1000.00
1,40	0,53	641,61	778.57
2,24	0,24	641,61	1000.00
2,81	0,58	641,61	1000.00
3,65	1,86	641,61	344.44
4,21	3,60	641,61	168.00
5,05	6,22	641,61	103.09
5,61	5,74	641,61	237.67
6,45	4,17	641,61	153.69
7,02	6,20	641,61	35.84
8,14	10,76	641,61	59.62
9,24	1,61	641,61	399.72
10,62	10,60	641,61	60.52
12,00	21,81	641,61	29.42

Palo n° 37

X	Ved	V_{Rd}	FS
0,00	0,00	641,61	1000.00
1,39	0,00	641,61	1000.00
2,78	0,20	641,61	1000.00
4,17	0,66	641,61	967.51
5,56	4,51	641,61	142.12
6,95	1,39	641,61	462.47
8,06	14,63	641,61	43.86
9,47	3,61	641,61	177.80
10,87	7,65	641,61	83.90

Palo n° 38

X	Ved	V_{Rd}	FS
0,00	0,57	641,61	1000.00
1,00	0,66	641,61	973.41
1,66	0,59	641,61	610.73
2,66	0,55	641,61	1000.00
3,32	1,33	641,61	379.75
4,32	4,64	641,61	138.29
4,99	7,10	641,61	237.24
5,98	6,26	641,61	102.55
6,65	2,67	641,61	44.65
7,64	15,01	641,61	42.75
8,61	5,96	641,61	107.57
9,67	2,89	641,61	222.23
10,73	11,95	641,61	53.69
11,79	25,91	641,61	24.76

Palo n° 39

X	Ved	V_{Rd}	FS
0,00	0,00	641,61	1000.00
1,65	0,05	641,61	1000.00
3,29	0,22	641,61	1000.00
4,94	3,54	641,61	181.13
6,58	2,57	641,61	250.07
7,90	15,29	641,61	41.96
8,98	6,23	641,61	102.97
10,06	2,57	641,61	250.08
11,14	11,15	641,61	57.53

Palo n° 40

X	Ved	V_{Rd}	FS
0,00	0,56	641,61	1000.00
0,98	0,63	641,61	1000.00
1,63	0,53	641,61	587.62
2,61	0,45	641,61	1000.00
3,26	1,31	641,61	345.52
4,23	4,84	641,61	132.47
4,89	7,96	641,61	138.73
5,86	5,39	641,61	119.01
6,52	2,91	641,61	44.02
7,49	14,93	641,61	42.97
8,48	5,74	641,61	111.85
9,58	3,00	641,61	213.79
10,68	11,71	641,61	54.78
11,78	21,73	641,61	29.52

Palo n° 41

X	Ved	V_{Rd}	FS
0,00	0,00	641,61	1000.00
1,61	0,07	641,61	1000.00
3,22	0,31	641,61	1000.00
4,84	4,67	641,61	137.40
6,45	1,02	641,61	629.29
7,74	17,86	641,61	35.93
8,86	6,49	641,61	98.93
9,98	4,47	641,61	143.65
11,10	14,89	641,61	43.09

Palo n° 42

X	Ved	V_{Rd}	FS
0,00	0,60	641,61	1000.00
0,96	0,53	641,61	1000.00
1,60	0,37	641,61	563.70
2,55	0,45	641,61	1000.00
3,19	1,90	641,61	201.97
4,15	6,62	641,61	96.91
4,79	10,24	641,61	118.72
5,74	4,75	641,61	134.98
6,38	7,20	641,61	31.41
7,66	11,72	641,61	54.76
8,57	3,04	641,61	210.72
9,72	6,26	641,61	102.47
10,86	16,43	641,61	39.05
12,00	23,4898068059,23	641,61	1000.00

Palo n° 43

X	Ved	V_{Rd}	FS
0,00	0,00	641,61	1000.00
1,58	0,18	641,61	1000.00
3,16	0,31	641,61	1000.00
4,74	8,31	641,61	77.16
6,32	6,44	641,61	99.62
7,58	25,36	641,61	25.30
8,74	6,54	641,61	98.12
9,91	9,50	641,61	67.50
11,07	25,10	641,61	25.56

Palo n° 44

X	Ved	V_{Rd}	FS
0,00	0,00	641,61	1000.00
1,59	0,14	641,61	1000.00
3,18	0,34	641,61	1000.00
4,77	7,22	641,61	88.85
6,36	4,63	641,61	138.68
7,64	23,56	641,61	27.24
8,78	6,22	641,61	103.08
9,93	8,07	641,61	79.55
11,08	22,13	641,61	29.00

Palo n° 45

X	Ved	V_{Rd}	FS
0,00	0,58	641,61	1000.00
0,97	0,57	641,61	1000.00
1,62	0,43	641,61	567.13
2,59	0,43	641,61	1000.00
3,24	1,64	641,61	245.60
4,21	5,91	641,61	108.60
4,86	9,45	641,61	121.58
5,83	5,08	641,61	126.31
6,48	5,97	641,61	32.67
7,77	11,27	641,61	56.94
8,66	3,26	641,61	196.89
9,77	5,49	641,61	116.97
10,89	16,03	641,61	40.02
12,00	27,11	641,61	23.66

Palo n° 46

X	Ved	V_{Rd}	FS
0,00	0,00	641,61	1000.00
1,65	0,06	641,61	1000.00
3,29	0,22	641,61	1000.00
4,94	4,05	641,61	158.30
6,59	2,32	641,61	276.04
7,90	16,57	641,61	38.71
8,98	6,51	641,61	98.56

10,06	3,69	641,61	174.02
11,14	13,47	641,61	47.63

Palo n° 47

X	Ved	V_{Rd}	FS
0,00	0,48	641,61	1000.00
0,83	0,57	641,61	1000.00
1,39	0,53	641,61	751.09
2,22	0,20	641,61	1000.00
2,77	0,52	641,61	1000.00
3,60	1,80	641,61	357.41
4,16	3,57	641,61	158.04
4,99	6,67	641,61	96.22
5,54	4,96	641,61	281.55
6,38	3,74	641,61	171.63
6,93	6,16	641,61	37.15
8,04	10,44	641,61	61.45
9,17	1,51	641,61	424.54
10,59	9,61	641,61	66.74
12,00	18,82	641,61	34.09

Palo n° 48

X	Ved	V_{Rd}	FS
0,00	0,00	641,61	1000.00
1,41	0,01	641,61	1000.00
2,82	0,17	641,61	1000.00
4,23	0,78	641,61	826.60
5,64	4,16	641,61	154.18
7,05	1,35	641,61	473.56
8,17	15,46	641,61	41.50
9,54	3,62	641,61	177.22
10,91	9,22	641,61	69.56

Palo n° 49

X	Ved	V_{Rd}	FS
0,00	0,47	641,61	1000.00
0,86	0,59	641,61	1000.00
1,43	0,58	641,61	835.44
2,29	0,29	641,61	1000.00
2,87	0,57	641,61	1000.00
3,72	1,39	641,61	460.18
4,30	2,70	641,61	245.68
5,16	5,01	641,61	128.14
5,73	5,05	641,61	232.92
6,59	4,84	641,61	132.58
7,16	2,90	641,61	48.79
8,02	13,88	641,61	46.22
9,10	4,77	641,61	134.54
10,42	6,37	641,61	100.69
11,74	18,37	641,61	34.92

Palo n° 50

X	Ved	V_{Rd}	FS
0,00	0,00	641,61	1000.00
1,46	0,02	641,61	1000.00
2,91	0,15	641,61	1000.00
4,37	0,44	641,61	1000.00
5,82	3,12	641,61	205.70
7,28	1,98	641,61	324.31
8,44	13,12	641,61	48.89
9,71	4,79	641,61	134.00
10,98	5,43	641,61	118.25

Palo n° 51

X	Ved	V_{Rd}	FS
0,00	0,46	641,61	1000.00
0,89	0,62	641,61	1000.00
1,48	0,61	641,61	799.78

2,37	0,46	641,61	1000.00
2,96	0,67	641,61	1000.00
3,84	1,27	641,61	505.56
4,44	2,18	641,61	412.05
5,32	3,29	641,61	194.80
5,92	4,79	641,61	240.00
6,80	5,06	641,61	126.80
7,39	1,85	641,61	53.80
8,28	13,29	641,61	48.27
9,31	5,33	641,61	120.44
10,53	5,02	641,61	127.79
11,76	19,91	641,61	32.23

Palo n° 52

X	Ved	V_{Rd}	FS
0,00	0,00	641,61	1000.00
1,50	0,02	641,61	1000.00
3,00	0,12	641,61	1000.00
4,51	0,40	641,61	1000.00
6,01	2,31	641,61	277.28
7,51	2,02	641,61	317.33
8,71	12,63	641,61	50.81
9,89	5,45	641,61	117.78
11,06	4,41	641,61	145.33

Palo n° 53

X	Ved	V_{Rd}	FS
0,00	0,46	641,61	1000.00
0,92	0,62	641,61	1000.00
1,53	0,63	641,61	832.25
2,44	0,50	641,61	1000.00
3,05	0,68	641,61	1000.00
3,97	1,16	641,61	554.59
4,58	1,84	641,61	665.65
5,49	2,73	641,61	235.40
6,10	4,30	641,61	270.75
7,02	5,01	641,61	128.15
7,63	2,51	641,61	60.62
8,54	12,74	641,61	50.37
9,52	5,53	641,61	116.11
10,65	4,36	641,61	147.00
11,77	14,52	641,61	44.18

Palo n° 54

X	Ved	V_{Rd}	FS
0,00	0,00	641,61	1000.00
1,55	0,03	641,61	1000.00
3,10	0,18	641,61	1000.00
4,65	0,37	641,61	1000.00
6,19	2,07	641,61	309.23
7,74	1,82	641,61	353.09
8,98	12,94	641,61	49.58
10,06	5,76	641,61	111.44
11,14	4,19	641,61	153.11

Palo n° 55

X	Ved	V_{Rd}	FS
0,00	0,46	641,61	1000.00
0,94	0,62	641,61	1000.00
1,57	0,65	641,61	864.54
2,51	0,56	641,61	1000.00
3,14	0,76	641,61	1000.00
4,09	1,17	641,61	547.72
4,72	1,66	641,61	1000.00
5,66	2,54	641,61	253.05
6,29	4,06	641,61	313.23
7,23	4,97	641,61	129.06
7,86	2,97	641,61	72.94
8,80	12,50	641,61	51.34

9,73	5,58	641,61	114.98
10,76	3,36	641,61	191.08
11,79	10,41	641,61	61.64

Palo n° 56

X	Ved	V_{Rd}	FS
0,00	0,00	641,61	1000.00
1,59	0,02	641,61	1000.00
3,19	0,14	641,61	1000.00
4,78	0,31	641,61	1000.00
6,38	1,69	641,61	378.76
7,97	1,86	641,61	345.86
9,25	12,40	641,61	51.76
10,23	6,75	641,61	95.00
11,21	1,89	641,61	339.56

Palo n° 57

X	Ved	V_{Rd}	FS
0,00	0,46	641,61	1000.00
0,97	0,63	641,61	1000.00
1,62	0,67	641,61	867.05
2,59	0,58	641,61	1000.00
3,24	0,79	641,61	969.80
4,21	1,17	641,61	546.47
4,86	1,60	641,61	1000.00
5,82	2,36	641,61	272.40
6,47	3,93	641,61	341.19
7,44	5,03	641,61	127.62
8,09	3,21	641,61	77.92
9,06	12,79	641,61	50.15
9,95	6,15	641,61	104.37
10,88	3,00	641,61	213.68
11,81	12,61	641,61	50.86

Palo n° 58

X	Ved	V_{Rd}	FS
0,00	0,00	641,61	1000.00
1,64	0,02	641,61	1000.00
3,28	0,10	641,61	1000.00
4,92	0,27	641,61	1000.00
6,56	1,65	641,61	389.53
8,21	1,82	641,61	352.41
9,52	12,44	641,61	51.58
10,41	7,93	641,61	80.94
11,29	0,75	641,61	858.71

Palo n° 59

X	Ved	V_{Rd}	FS
0,00	0,45	641,61	1000.00
1,00	0,60	641,61	1000.00
1,67	0,65	641,61	924.93
2,66	0,61	641,61	1000.00
3,33	0,83	641,61	1000.00
4,33	1,19	641,61	540.91
4,99	1,42	641,61	672.16
5,99	2,46	641,61	261.06
6,66	3,94	641,61	386.01
7,66	5,04	641,61	127.35
8,32	3,32	641,61	77.54
9,32	13,22	641,61	48.52
10,16	6,15	641,61	104.28
10,99	3,00	641,61	214.15
11,83	11,66	641,61	55.01

Palo n° 60

X	Ved	V_{Rd}	FS
0,00	0,00	641,61	1000.00
1,69	0,02	641,61	1000.00

3,38	0,10	641,61	1000.00
5,06	0,26	641,61	1000.00
6,75	1,53	641,61	420.43
8,44	1,61	641,61	397.81
9,79	12,89	641,61	49.76
10,58	8,92	641,61	71.92
11,37	2,79	641,61	229.86

Palo n° 61

X	Ved	V_{Rd}	FS
0,00	0,46	641,61	1000.00
1,03	0,60	641,61	1000.00
1,71	0,65	641,61	949.02
2,74	0,63	641,61	1000.00
3,42	0,86	641,61	1000.00
4,45	1,16	641,61	553.39
5,13	1,25	641,61	453.62
6,16	1,95	641,61	329.68
6,84	3,32	641,61	512.47
7,87	4,76	641,61	134.75
8,56	4,05	641,61	110.85
9,58	6,15	641,61	104.32
10,22	9,81	641,61	65.38
10,96	2,95	641,61	217.58
11,70	2,23	641,61	287.43

Palo n° 62

X	Ved	V_{Rd}	FS
0,00	0,00	641,61	1000.00
1,48	0,02	641,61	1000.00
2,96	0,02	641,61	1000.00
4,44	0,11	641,61	1000.00
5,92	0,13	641,61	1000.00
7,40	2,28	641,61	280.94
8,87	0,59	641,61	1000.00
10,06	13,75	641,61	46.67
11,14	8,48	641,61	75.65

Palo n° 63

X	Ved	V_{Rd}	FS
0,00	0,38	641,61	1000.00
0,90	0,50	641,61	1000.00
1,50	0,52	641,61	1000.00
2,40	0,48	641,61	1000.00
3,00	0,65	641,61	1000.00
3,90	0,86	641,61	747.81
4,50	0,94	641,61	793.70
5,40	0,19	641,61	1000.00
6,00	1,17	641,61	1000.00
6,89	2,72	641,61	235.46
7,50	3,69	641,61	463.90
8,39	4,19	641,61	153.10
8,99	2,72	641,61	100.46
9,89	7,03	641,61	91.28
10,59	10,28	641,61	62.43
11,60	4,42	641,61	145.12

Palo n° 64

X	Ved	V_{Rd}	FS
0,00	0,00	641,61	1000.00
1,52	0,02	641,61	1000.00
3,04	0,02	641,61	1000.00
4,56	0,06	641,61	1000.00
6,07	0,16	641,61	1000.00
7,59	2,34	641,61	274.58
9,11	0,34	641,61	1000.00
10,33	15,46	641,61	41.51
11,26	11,45	641,61	56.03

Palo n° 65

X	Ved	V_{Rd}	FS
0,00	0,38	641,61	1000.00
0,92	0,49	641,61	1000.00
1,54	0,52	641,61	1000.00
2,46	0,48	641,61	1000.00
3,08	0,64	641,61	1000.00
4,00	0,85	641,61	757.08
4,62	0,94	641,61	815.39
5,54	0,22	641,61	1000.00
6,15	1,23	641,61	1000.00
7,08	2,81	641,61	228.44
7,69	3,77	641,61	507.32
8,62	4,12	641,61	155.92
9,23	2,32	641,61	81.77
10,15	8,25	641,61	77.79
10,80	11,38	641,61	56.37
11,66	2,66	641,61	240.96

Palo n° 66

X	Ved	V_{Rd}	FS
0,00	0,00	641,61	1000.00
1,56	0,02	641,61	1000.00
3,12	0,05	641,61	1000.00
4,67	0,07	641,61	1000.00
6,23	0,14	641,61	1000.00
7,79	2,42	641,61	264.60
9,35	0,83	641,61	775.32
10,60	17,96	641,61	35.72
11,38	14,40	641,61	44.56

Palo n° 67

X	Ved	V_{Rd}	FS
0,00	0,36	641,61	1000.00
0,95	0,46	641,61	1000.00
1,58	0,49	641,61	1000.00
2,52	0,47	641,61	1000.00
3,16	0,63	641,61	1000.00
4,10	0,81	641,61	796.09
4,74	0,79	641,61	599.66
5,68	0,44	641,61	1000.00
6,31	1,32	641,61	1000.00
7,26	2,75	641,61	233.51
7,89	3,69	641,61	478.09
8,84	3,99	641,61	160.80
9,47	1,99	641,61	77.58
10,42	9,50	641,61	67.54
11,01	14,26	641,61	44.98
11,72	4,74	641,61	135.26

Palo n° 68

X	Ved	V_{Rd}	FS
0,00	0,00	641,61	1000.00
1,60	0,02	641,61	1000.00
3,20	0,07	641,61	1000.00
4,79	0,20	641,61	1000.00
6,39	0,19	641,61	1000.00
7,99	2,36	641,61	271.65
9,59	1,94	641,61	330.94
10,87	19,88	641,61	32.28
11,50	16,45	641,61	39.00

Verifiche a torsione pali in c.a.

Non ci sono sollecitazioni torcenti sui pali.

Armature Micropali

Micropalo n° 1	$D_t = 0,15200$ [m]	$S_t = 0,01000$ [m]
Micropalo n° 2	$D_t = 0,15200$ [m]	$S_t = 0,01000$ [m]
Micropalo n° 3	$D_t = 0,15200$ [m]	$S_t = 0,01000$ [m]
Micropalo n° 4	$D_t = 0,15200$ [m]	$S_t = 0,01000$ [m]
Micropalo n° 5	$D_t = 0,15200$ [m]	$S_t = 0,01000$ [m]
Micropalo n° 6	$D_t = 0,15200$ [m]	$S_t = 0,01000$ [m]
Micropalo n° 7	$D_t = 0,15200$ [m]	$S_t = 0,01000$ [m]
Micropalo n° 8	$D_t = 0,15200$ [m]	$S_t = 0,01000$ [m]
Micropalo n° 9	$D_t = 0,15200$ [m]	$S_t = 0,01000$ [m]
Micropalo n° 10	$D_t = 0,15200$ [m]	$S_t = 0,01000$ [m]
Micropalo n° 11	$D_t = 0,15200$ [m]	$S_t = 0,01000$ [m]
Micropalo n° 12	$D_t = 0,15200$ [m]	$S_t = 0,01000$ [m]
Micropalo n° 13	$D_t = 0,15200$ [m]	$S_t = 0,01000$ [m]
Micropalo n° 14	$D_t = 0,15200$ [m]	$S_t = 0,01000$ [m]
Micropalo n° 15	$D_t = 0,15200$ [m]	$S_t = 0,01000$ [m]
Micropalo n° 16	$D_t = 0,15200$ [m]	$S_t = 0,01000$ [m]
Micropalo n° 17	$D_t = 0,15200$ [m]	$S_t = 0,01000$ [m]
Micropalo n° 18	$D_t = 0,15200$ [m]	$S_t = 0,01000$ [m]
Micropalo n° 19	$D_t = 0,15200$ [m]	$S_t = 0,01000$ [m]
Micropalo n° 20	$D_t = 0,15200$ [m]	$S_t = 0,01000$ [m]
Micropalo n° 21	$D_t = 0,15200$ [m]	$S_t = 0,01000$ [m]
Micropalo n° 22	$D_t = 0,15200$ [m]	$S_t = 0,01000$ [m]
Micropalo n° 23	$D_t = 0,15200$ [m]	$S_t = 0,01000$ [m]
Micropalo n° 24	$D_t = 0,15200$ [m]	$S_t = 0,01000$ [m]
Micropalo n° 25	$D_t = 0,15200$ [m]	$S_t = 0,01000$ [m]
Micropalo n° 26	$D_t = 0,15200$ [m]	$S_t = 0,01000$ [m]
Micropalo n° 27	$D_t = 0,15200$ [m]	$S_t = 0,01000$ [m]
Micropalo n° 28	$D_t = 0,15200$ [m]	$S_t = 0,01000$ [m]
Micropalo n° 29	$D_t = 0,15200$ [m]	$S_t = 0,01000$ [m]
Micropalo n° 30	$D_t = 0,15200$ [m]	$S_t = 0,01000$ [m]
Micropalo n° 31	$D_t = 0,15200$ [m]	$S_t = 0,01000$ [m]
Micropalo n° 32	$D_t = 0,15200$ [m]	$S_t = 0,01000$ [m]
Micropalo n° 33	$D_t = 0,15200$ [m]	$S_t = 0,01000$ [m]
Micropalo n° 34	$D_t = 0,15200$ [m]	$S_t = 0,01000$ [m]
Micropalo n° 35	$D_t = 0,15200$ [m]	$S_t = 0,01000$ [m]
Micropalo n° 36	$D_t = 0,15200$ [m]	$S_t = 0,01000$ [m]
Micropalo n° 37	$D_t = 0,15200$ [m]	$S_t = 0,01000$ [m]
Micropalo n° 38	$D_t = 0,15200$ [m]	$S_t = 0,01000$ [m]
Micropalo n° 39	$D_t = 0,15200$ [m]	$S_t = 0,01000$ [m]
Micropalo n° 40	$D_t = 0,15200$ [m]	$S_t = 0,01000$ [m]
Micropalo n° 41	$D_t = 0,15200$ [m]	$S_t = 0,01000$ [m]
Micropalo n° 42	$D_t = 0,15200$ [m]	$S_t = 0,01000$ [m]
Micropalo n° 43	$D_t = 0,15200$ [m]	$S_t = 0,01000$ [m]
Micropalo n° 44	$D_t = 0,15200$ [m]	$S_t = 0,01000$ [m]
Micropalo n° 45	$D_t = 0,15200$ [m]	$S_t = 0,01000$ [m]
Micropalo n° 46	$D_t = 0,15200$ [m]	$S_t = 0,01000$ [m]
Micropalo n° 47	$D_t = 0,15200$ [m]	$S_t = 0,01000$ [m]
Micropalo n° 48	$D_t = 0,15200$ [m]	$S_t = 0,01000$ [m]
Micropalo n° 49	$D_t = 0,15200$ [m]	$S_t = 0,01000$ [m]
Micropalo n° 50	$D_t = 0,15200$ [m]	$S_t = 0,01000$ [m]
Micropalo n° 51	$D_t = 0,15200$ [m]	$S_t = 0,01000$ [m]
Micropalo n° 52	$D_t = 0,15200$ [m]	$S_t = 0,01000$ [m]
Micropalo n° 53	$D_t = 0,15200$ [m]	$S_t = 0,01000$ [m]
Micropalo n° 54	$D_t = 0,15200$ [m]	$S_t = 0,01000$ [m]
Micropalo n° 55	$D_t = 0,15200$ [m]	$S_t = 0,01000$ [m]
Micropalo n° 56	$D_t = 0,15200$ [m]	$S_t = 0,01000$ [m]
Micropalo n° 57	$D_t = 0,15200$ [m]	$S_t = 0,01000$ [m]
Micropalo n° 58	$D_t = 0,15200$ [m]	$S_t = 0,01000$ [m]
Micropalo n° 59	$D_t = 0,15200$ [m]	$S_t = 0,01000$ [m]
Micropalo n° 60	$D_t = 0,15200$ [m]	$S_t = 0,01000$ [m]
Micropalo n° 61	$D_t = 0,15200$ [m]	$S_t = 0,01000$ [m]
Micropalo n° 62	$D_t = 0,15200$ [m]	$S_t = 0,01000$ [m]
Micropalo n° 63	$D_t = 0,15200$ [m]	$S_t = 0,01000$ [m]
Micropalo n° 64	$D_t = 0,15200$ [m]	$S_t = 0,01000$ [m]
Micropalo n° 65	$D_t = 0,15200$ [m]	$S_t = 0,01000$ [m]
Micropalo n° 66	$D_t = 0,15200$ [m]	$S_t = 0,01000$ [m]
Micropalo n° 67	$D_t = 0,15200$ [m]	$S_t = 0,01000$ [m]
Micropalo n° 68	$D_t = 0,15200$ [m]	$S_t = 0,01000$ [m]

Risultati cordoli

Risultati inviluppo sollecitazioni cordoli

Cordolo n° 1 - Tratto n° 1

X	N ⁺	N ⁻	T ⁺ y	T ⁻ y	T ⁺ z	T ⁻ z	M ⁺ t	M ⁻ t	M ⁺ y	M ⁻ y	M ⁺ z	M ⁻ z
0,00	0,00	0,00	0,00	0,00	0,00	0,00	0,00	0,00	0,00	0,00	0,00	0,00
1,50	0,25	0,00	29,87	0,00	22,70	0,00	58,77	0,00	0,00	-14,37	0,00	-4,26
2,50	0,40	0,00	0,00	-34,63	39,52	0,00	157,40	0,00	0,00	-46,70	0,20	-2,68
4,00	0,59	0,00	0,00	-11,20	52,02	0,00	203,42	0,00	0,00	-119,27	10,42	0,00
5,00	0,97	0,00	11,48	0,00	78,32	0,00	231,29	0,00	0,00	-185,75	12,57	0,00
6,50	1,07	0,00	40,15	0,00	82,66	0,00	257,03	0,00	0,00	-301,30	0,63	-3,90
7,50	1,14	0,00	0,00	-44,29	79,35	0,00	326,30	0,00	0,00	-383,24	0,93	-4,87
9,00	1,21	0,00	0,00	-19,92	82,67	0,00	342,84	0,00	0,00	-512,20	18,15	0,00
10,00	1,37	0,00	23,46	0,00	98,26	0,00	309,88	0,00	0,00	-599,58	17,82	0,00
11,50	1,41	0,00	49,94	0,00	107,00	0,00	315,29	0,00	0,00	-742,05	0,00	-4,61
12,50	1,41	0,00	0,00	-44,86	80,77	0,00	351,38	0,00	0,00	-835,84	0,00	-5,91
14,00	1,43	0,00	0,00	-19,19	75,84	0,00	340,14	0,00	0,00	-962,84	9,97	0,00
15,00	1,46	0,00	32,77	0,00	96,37	0,00	269,91	0,00	0,00	-1053,89	11,47	-1,84
16,50	1,44	0,00	57,09	0,00	85,10	0,00	248,64	0,00	0,00	-1180,02	1,23	-28,37
17,50	1,35	0,00	0,00	-63,74	51,94	0,00	270,88	0,00	0,00	-1250,78	3,05	-27,00
19,00	1,29	0,00	0,00	-54,08	34,21	0,00	246,23	0,00	0,00	-1326,42	18,03	0,00
20,00	1,21	0,00	17,90	-25,41	17,17	0,00	155,37	0,00	0,00	-1350,49	56,04	0,00
21,50	1,15	0,00	47,54	-31,33	7,13	-14,18	127,50	-9,41	0,00	-1342,17	142,05	-6,87

Cordolo n° 2 - Tratto n° 2

X	N ⁺	N ⁻	T ⁺ y	T ⁻ y	T ⁺ z	T ⁻ z	M ⁺ t	M ⁻ t	M ⁺ y	M ⁻ y	M ⁺ z	M ⁻ z
0,00	1,13	0,00	134,53	0,00	0,00	-27,67	5,64	-69,65	0,00	-1310,17	214,93	-0,61
1,50	1,13	0,00	129,46	0,00	0,00	-74,03	0,00	-108,69	0,00	-1221,76	60,42	-0,21
2,50	1,18	0,00	0,00	-39,40	0,00	-129,01	0,00	-86,38	0,00	-1118,57	8,86	0,00
4,00	1,20	0,00	0,00	-13,48	0,00	-142,45	0,00	-98,67	0,00	-925,11	14,89	-6,65
5,00	1,16	0,00	26,05	0,00	0,00	-135,03	0,00	-163,51	0,00	-782,61	13,76	-12,75
6,50	1,12	0,00	44,06	0,00	0,00	-133,31	0,00	-165,80	0,00	-569,57	0,09	-25,81
7,50	1,04	0,00	0,00	-58,76	0,00	-147,29	0,00	-115,97	0,00	-428,01	0,93	-16,40
9,00	0,93	0,00	0,00	-31,11	0,00	-137,64	0,00	-108,90	0,00	-223,29	15,25	0,00
10,00	0,57	0,00	18,02	0,00	0,00	-72,96	0,00	-120,28	0,00	-115,60	19,00	0,00
11,50	0,31	0,00	48,13	0,00	0,00	-40,38	0,00	-91,78	0,00	-21,23	3,11	0,00
12,50	0,00	0,00	0,00	-25,77	0,00	0,00	0,00	0,00	0,00	0,00	0,00	-6,44

Risultati inviluppo spostamenti cordoli (minimi e massimi)

Tratto	Umin	Umax	Vmin	Vmax	Wmin	Wmax
1	-0,000056	0,000000	0,000000	0,008997	-0,000966	0,001071
2	-0,000056	0,000000	0,000000	0,008987	-0,000957	0,000836

Verifiche strutturali

Inviluppo verifiche presso-flessione cordoli in c.a.

Cordolo n° 1

X	A _{fi}	A _{fs}	N	M _z	M _y	Nu	M _{uz}	M _{uy}	FS
0,05	0,002413	0,002815	0,00	0,00	0,00	0,00	0,01	0,01	10000,00
1,50	0,002413	0,002815	0,25	-4,26	-14,37	-0,25	-842,16	-2840,31	197,59
2,50	0,002413	0,002815	0,40	-2,68	-46,70	-0,40	-179,00	-3118,96	66,78
4,00	0,002413	0,002815	0,59	10,42	-119,27	-0,59	246,72	-2965,92	24,87
5,00	0,002413	0,002815	0,97	12,57	-185,75	-0,97	202,45	-2992,60	16,11
6,50	0,002413	0,002815	1,07	-3,90	-301,30	-1,07	6,39	-3077,94	10,22
7,50	0,002413	0,002815	1,14	-4,87	-383,24	-1,14	7,49	-3077,61	8,03
9,00	0,002413	0,002815	1,21	18,15	-512,20	-1,21	108,10	-3050,18	5,96
10,00	0,002413	0,002815	1,37	17,82	-599,58	-1,37	90,94	-3059,24	5,10
11,50	0,002413	0,002815	1,41	-4,61	-742,05	-1,41	-10,22	-3081,07	4,15
12,50	0,002413	0,002815	1,41	-5,91	-835,84	-1,41	-21,82	-3083,58	3,69
14,00	0,002413	0,002815	1,43	9,97	-962,84	-1,43	11,69	-3076,30	3,20

15,00	0,002413	0,002815	1,46	11,47	-1053,89	-1,46	-5,38	-3079,95	2.92
16,50	0,002413	0,002815	1,44	-28,37	-1180,02	-1,44	-74,40	-3094,92	2.62
17,50	0,002413	0,002815	1,35	-27,00	-1250,78	-1,35	-66,77	-3093,39	2.47
19,00	0,002413	0,002815	1,29	18,03	-1326,42	-1,29	41,72	-3069,99	2.31
20,00	0,002413	0,002815	1,21	56,04	-1350,49	-1,21	126,12	-3039,13	2.25
21,50	0,002413	0,002815	1,15	142,05	-1342,17	-1,15	306,55	-2896,47	2.16

Cordolo n° 2

X	A _{ri}	A _{rs}	N	Mz	My	Nu	Muz	Muy	FS
0,05	0,002413	0,002815	1,13	214,93	-1310,17	-1,13	405,85	-2474,02	1.89
1,50	0,002413	0,002815	1,13	60,42	-1221,76	-1,13	149,78	-3028,76	2.48
2,50	0,002413	0,002815	1,18	8,86	-1118,57	-1,18	24,40	-3078,35	2.75
4,00	0,002413	0,002815	1,20	14,89	-925,11	-1,20	-22,19	-3088,46	3.34
5,00	0,002413	0,002815	1,16	13,76	-782,61	-1,16	-50,41	-3094,65	3.95
6,50	0,002413	0,002815	1,12	-25,81	-569,57	-1,12	-141,11	-3114,44	5.47
7,50	0,002413	0,002815	1,04	-16,40	-428,01	-1,04	-119,13	-3109,76	7.27
9,00	0,002413	0,002815	0,93	15,25	-223,29	-0,93	190,15	-3003,93	13.45
10,00	0,002413	0,002815	0,57	19,00	-115,60	-0,57	406,27	-2471,20	21.38
11,50	0,002413	0,002815	0,31	3,11	-21,23	-0,31	388,78	-2654,08	125.02
12,50	0,002413	0,002815	0,00	-6,44	0,00	0,00	-657,09	0,00	102.00

Inviluppo verifiche a taglio cordoli in c.a.

Cordolo n° 1

X	Dir	T	V _{Rsd}	V _{Rcd}	V _{Rd}	Fs
0,05	Z	0,00	207,20	3284,74	207,20	1000,00
0,05	Y	0,00	160,22	3238,19	160,22	1000,00
1,50	Z	29,87	207,20	3284,74	207,20	6,94
1,50	Y	0,01	160,22	3238,19	160,22	7,06
2,50	Z	-34,63	207,20	3284,74	207,20	5,98
2,50	Y	0,02	160,22	3238,19	160,22	4,05
4,00	Z	-11,20	207,20	3284,74	207,20	18,50
4,00	Y	0,04	160,22	3238,19	160,22	3,08
5,00	Z	11,48	207,20	3284,74	207,20	18,06
5,00	Y	0,05	160,22	3238,19	160,22	2,05
6,50	Z	40,15	207,20	3284,74	207,20	5,16
6,50	Y	0,06	160,22	3238,19	160,22	1,94
7,50	Z	-44,29	207,20	3284,74	207,20	4,68
7,50	Y	0,07	160,22	3238,19	160,22	2,02
9,00	Z	-19,92	207,20	3284,74	207,20	10,40
9,00	Y	0,09	160,22	3238,19	160,22	1,94
10,00	Z	23,46	207,20	3284,74	207,20	8,83
10,00	Y	0,10	160,22	3238,19	160,22	1,63
11,50	Z	49,94	207,20	3284,74	207,20	4,15
11,50	Y	0,11	160,22	3238,19	160,22	1,50
12,50	Z	-44,86	207,20	3284,74	207,20	4,62
12,50	Y	0,12	160,22	3238,19	160,22	1,98
14,00	Z	-19,19	207,20	3284,74	207,20	10,80
14,00	Y	0,14	160,22	3238,19	160,22	2,11
15,00	Z	32,77	207,20	3284,74	207,20	6,32
15,00	Y	0,15	160,22	3238,19	160,22	1,66
16,50	Z	57,09	207,20	3284,74	207,20	3,63
16,50	Y	0,16	160,22	3238,19	160,22	1,88
17,50	Z	-63,74	207,20	3284,74	207,20	3,25
17,50	Y	0,17	160,22	3238,19	160,22	3,08
19,00	Z	-54,08	207,20	3284,74	207,20	3,83
19,00	Y	0,19	160,22	3238,19	160,22	4,68
20,00	Z	-25,41	207,20	3284,74	207,20	8,15
20,00	Y	0,20	160,22	3238,19	160,22	9,33
21,50	Z	47,54	207,20	3284,74	207,20	4,36
21,50	Y	0,21	160,22	3238,19	160,22	11,30

Cordolo n° 2

X	Dir	T	V _{Rsd}	V _{Rcd}	V _{Rd}	Fs
0,05	Z	134,53	291,22	3284,74	291,22	2,16
0,05	Y	0,00	225,19	3238,19	225,19	8,14
1,50	Z	129,46	291,22	3284,74	291,22	2,25
1,50	Y	0,01	225,19	3238,19	225,19	3,04
2,50	Z	-39,40	291,22	3284,74	291,22	7,39

2,50	Y	0,02	225,19	3238,19	225,19	1,75
4,00	Z	-13,48	291,22	3284,74	291,22	21,60
4,00	Y	0,04	225,19	3238,19	225,19	1,58
5,00	Z	26,05	291,22	3284,74	291,22	11,18
5,00	Y	0,05	225,19	3238,19	225,19	1,67
6,50	Z	44,06	291,22	3284,74	291,22	6,61
6,50	Y	0,06	225,19	3238,19	225,19	1,69
7,50	Z	-58,76	291,22	3284,74	291,22	4,96
7,50	Y	0,07	225,19	3238,19	225,19	1,53
9,00	Z	-31,11	291,22	3284,74	291,22	9,36
9,00	Y	0,09	225,19	3238,19	225,19	1,64
10,00	Z	18,02	291,22	3284,74	291,22	16,16
10,00	Y	0,10	225,19	3238,19	225,19	3,09
11,50	Z	48,13	291,22	3284,74	291,22	6,05
11,50	Y	0,11	225,19	3238,19	225,19	5,58
12,50	Z	-25,77	291,22	3284,74	291,22	11,30
12,50	Y	0,12	225,19	3238,19	225,19	1000,00

Tratti armatura a torsione

Cordolo n° 1

T _A	X _i	X _f	L _{tratto}	n _{staffe}	n _{staffe/m}	AI (nfl φdfit)
1	0,00	22,00	22,00	51	2.32	0,003456 (11 φ0,020)

Cordolo n° 2

T _A	X _i	X _f	L _{tratto}	n _{staffe}	n _{staffe/m}	AI (nfl φdfit)
1	0,00	13,00	13,00	16	1.23	0,001571 (5 φ0,020)

Inviluppo verifiche a torsione cordoli in c.a.

Cordolo n° 1

X	T _A	M _t	T _{Rcd}	T _{Rld}	T _{Rsd}	T _{Rd}	F _s
0,05	1	0,00	2540,98	381,54	455,61	381,54	1000,00
1,50	1	58,77	2540,98	381,54	455,61	381,54	6,49
2,50	1	157,40	2540,98	381,54	455,61	381,54	2,42
4,00	1	203,42	2540,98	381,54	455,61	381,54	1,88
5,00	1	231,29	2540,98	381,54	455,61	381,54	1,65
6,50	1	257,03	2540,98	381,54	455,61	381,54	1,48
7,50	1	326,30	2540,98	381,54	455,61	381,54	1,17
9,00	1	342,84	2540,98	381,54	455,61	381,54	1,11
10,00	1	309,88	2540,98	381,54	455,61	381,54	1,23
11,50	1	315,29	2540,98	381,54	455,61	381,54	1,21
12,50	1	351,38	2540,98	381,54	455,61	381,54	1,09
14,00	1	340,14	2540,98	381,54	455,61	381,54	1,12
15,00	1	269,91	2540,98	381,54	455,61	381,54	1,41
16,50	1	248,64	2540,98	381,54	455,61	381,54	1,53
17,50	1	270,88	2540,98	381,54	455,61	381,54	1,41
19,00	1	246,23	2540,98	381,54	455,61	381,54	1,55
20,00	1	155,37	2540,98	381,54	455,61	381,54	2,46
21,50	1	127,50	2540,98	381,54	455,61	381,54	2,99

Cordolo n° 2

X	T _A	M _t	T _{Rcd}	T _{Rld}	T _{Rsd}	T _{Rd}	F _s
0,05	1	-69,65	2540,98	173,43	241,89	173,43	2,49
1,50	1	-108,69	2540,98	173,43	241,89	173,43	1,60
2,50	1	-86,38	2540,98	173,43	241,89	173,43	2,01
4,00	1	-98,67	2540,98	173,43	241,89	173,43	1,76
5,00	1	-163,51	2540,98	173,43	241,89	173,43	1,06
6,50	1	-165,80	2540,98	173,43	241,89	173,43	1,05
7,50	1	-115,97	2540,98	173,43	241,89	173,43	1,50
9,00	1	-108,90	2540,98	173,43	241,89	173,43	1,59
10,00	1	-120,28	2540,98	173,43	241,89	173,43	1,44
11,50	1	-91,78	2540,98	173,43	241,89	173,43	1,89
12,50	1	0,00	2540,98	173,43	241,89	173,43	1000,00

Armature Cordoli

Subs	descrizione cordolo
Yi, Yf	Quota superiore e inferiore tratto armature espresse in [m]
Al	Armatura longitudinale, numero e diametro espresso in [m]
Yti, Ytf	Quota superiore e inferiore tratto staffe espresse in [m]
At	Armatura trasversale, diametro espresso in [m] e passo espresso in [m]

Ip	yi	yf	Al	yti	ytf	At
CORDOLO 1	0,00	22,00	26φ0,016	0,00	22,00	φ0,012/0,20
CORDOLO 2	0,00	13,00	26φ0,016	0,00	13,00	φ0,012/0,20

Risultati stabilità globale

Verifica stabilità globale (elenco fattori di sicurezza)

Comb. n° 1 SLU-STR

It	(Xc, Yc)	R	(Xv, Yv)	(Xm, Ym)	FS
1	(-10,80; 6,00)	20,99	(-18,61; -13,49)	(9,32; 0,00)	1,82
2	(-10,80; 4,80)	19,97	(-18,71; -13,54)	(8,59; 0,00)	1,93

Comb. n° 2 SLU-GEO

It	(Xc, Yc)	R	(Xv, Yv)	(Xm, Ym)	FS
1	(-1,20; 2,40)	14,45	(-14,71; -2,73)	(13,05; 0,00)	3,96
2	(-1,20; 2,40)	14,45	(-14,71; -2,73)	(13,05; 0,00)	5,18

Comb. n° 3 SLU-GEO - Sismica

It	(Xc, Yc)	R	(Xv, Yv)	(Xm, Ym)	FS
1	(-1,20; 8,40)	20,44	(-18,34; -2,73)	(17,44; 0,00)	3,92
2	(-1,20; 9,60)	21,63	(-18,97; -2,73)	(18,19; 0,00)	4,13

Metodo di Fellenius

Verifica stabilità globale (dettagli)

Comb. n° 1 SLU-STR

Tratto n° 1

Fattore di sicurezza FS=1.822

Numero di strisce 51

Caratteristiche delle strisce

N°	W	α(°)	Wsinα	L	φ	c	u	(Ctn; Ctt)
1	3,2865	-21,03	-120,27	0,59	23,00	18,0	0,0	(0,00; 0,00)
2	9,9164	-19,44	-336,53	0,58	23,00	18,0	0,0	(0,00; 0,00)
3	16,3282	-17,86	-510,72	0,57	23,00	18,0	0,0	(0,00; 0,00)
4	22,5281	-16,30	-644,74	0,57	23,00	18,0	0,0	(0,00; 0,00)
5	28,5211	-14,75	-740,44	0,57	23,00	18,0	0,0	(0,00; 0,00)
6	34,3121	-13,21	-799,55	0,56	23,00	18,0	0,0	(0,00; 0,00)
7	39,9049	-11,68	-823,79	0,56	24,00	34,0	0,0	(0,00; 0,00)
8	45,3031	-10,16	-814,78	0,56	25,00	50,0	0,0	(0,00; 0,00)
9	50,5096	-8,64	-774,14	0,55	25,00	50,0	0,0	(0,00; 0,00)
10	55,5270	-7,14	-703,41	0,55	25,00	50,0	0,0	(0,00; 0,00)
11	60,3573	-5,63	-604,13	0,55	25,00	50,0	0,0	(0,00; 0,00)
12	65,0021	-4,13	-477,81	0,55	25,00	50,0	0,0	(0,00; 0,00)
13	69,4627	-2,64	-325,93	0,55	25,00	50,0	0,0	(0,00; 0,00)
14	73,7512	-1,14	-149,97	0,55	25,00	50,0	0,0	(0,00; 0,00)
15	78,1590	0,35	48,86	0,55	25,00	50,0	0,0	(0,00; 0,00)
16	82,5052	1,85	270,92	0,55	25,00	50,0	0,0	(0,00; 0,00)
17	86,6481	3,34	514,89	0,55	25,00	50,0	0,0	(0,00; 0,00)
18	90,5868	4,84	779,12	0,55	25,00	50,0	0,0	(0,00; 0,00)

19	94,3202	6,34	1061,99	0,55	25,00	50,0	0,0	(0,00; 0,00)
20	97,8468	7,84	1361,84	0,55	25,00	50,0	0,0	(0,00; 0,00)
21	101,1645	9,36	1676,97	0,55	25,00	50,0	0,0	(0,00; 0,00)
22	104,2707	10,87	2005,68	0,56	25,00	50,0	0,0	(0,00; 0,00)
23	107,1626	12,40	2346,21	0,56	25,00	50,0	0,0	(0,00; 0,00)
24	109,8364	13,93	2696,76	0,56	25,00	50,0	0,0	(0,00; 0,00)
25	112,2880	15,48	3055,49	0,57	25,00	50,0	0,0	(0,00; 0,00)
26	114,5128	17,03	3420,48	0,57	25,00	50,0	0,0	(0,00; 0,00)
27	116,5051	18,60	3789,73	0,58	25,00	50,0	0,0	(0,00; 0,00)
28	118,2589	20,19	4161,19	0,58	25,00	50,0	0,0	(0,00; 0,00)
29	119,7669	21,79	4532,68	0,59	25,00	50,0	0,0	(0,00; 0,00)
30	121,0212	23,40	4901,91	0,60	25,00	50,0	0,0	(0,00; 0,00)
31	122,0126	25,04	5266,47	0,60	25,00	50,0	0,0	(0,00; 0,00)
32	122,7308	26,70	5623,78	0,61	25,00	50,0	0,0	(0,00; 0,00)
33	123,1640	28,39	5971,10	0,62	25,00	50,0	0,0	(0,00; 0,00)
34	123,2986	30,10	6305,46	0,63	25,00	50,0	0,0	(0,00; 0,00)
35	156,3876	31,84	8413,85	0,65	25,00	50,0	0,0	(0,00; 0,00)
36	162,0666	33,62	9151,16	0,66	25,00	50,0	0,0	(0,00; 0,00)
37	156,6855	35,44	9264,76	0,67	25,00	50,0	0,0	(0,00; 0,00)
38	150,9260	37,30	9326,32	0,69	25,00	50,0	0,0	(0,00; 0,00)
39	144,7599	39,21	9330,98	0,71	25,00	50,0	0,0	(0,00; 0,00)
40	138,1536	41,17	9273,27	0,73	25,00	50,0	0,0	(0,00; 0,00)
41	131,0672	43,19	9146,85	0,75	25,00	50,0	0,0	(0,00; 0,00)
42	123,4669	45,28	8945,47	0,78	25,00	50,0	0,0	(0,00; 0,00)
43	115,8278	47,45	8700,69	0,81	25,00	50,0	0,0	(0,00; 0,00)
44	107,8464	49,71	8388,60	0,85	25,00	50,0	0,0	(0,00; 0,00)
45	99,1803	52,09	7978,93	0,89	25,00	50,0	0,0	(0,00; 0,00)
46	89,7145	54,60	7456,65	0,95	25,00	50,0	0,0	(0,00; 0,00)
47	79,2917	57,27	6801,86	1,01	23,00	18,0	0,0	(0,00; 0,00)
48	67,6855	60,16	5986,90	1,10	23,00	18,0	0,0	(0,00; 0,00)
49	54,5488	63,33	4970,68	1,22	23,00	18,0	0,0	(0,00; 0,00)
50	39,2941	66,91	3685,80	1,40	23,00	18,0	0,0	(0,00; 0,00)
51	20,8746	70,92	2011,63	1,68	23,00	18,0	0,0	(0,00; 0,00)

Resistenza a taglio paratia= 0,0000 [kN]

$\Sigma W_i = 4558,5465$ [kN]

$\Sigma W_i \sin \alpha_i = 1773,0679$ [kN]

$\Sigma W_i \cos \alpha_i \tan \phi_i = 1809,7715$ [kN]

$\Sigma c b_i / \cos \alpha_i = 1420,0924$ [kN]

Comb. n° 1 SLU-STR

Tratto n° 2

Fattore di sicurezza FS=1.932

Numero di strisce 51

Caratteristiche delle strisce

N°	W	$\alpha(^{\circ})$	$W \sin \alpha$	L	ϕ	c	u	(Ctn; Ctt)
1	3,1840	-22,49	-124,21	0,58	23,00	18,0	0,0	(0,00; 0,00)
2	9,6999	-20,84	-351,92	0,57	23,00	18,0	0,0	(0,00; 0,00)
3	15,9964	-19,21	-536,70	0,57	23,00	18,0	0,0	(0,00; 0,00)
4	22,0804	-17,59	-680,57	0,56	23,00	18,0	0,0	(0,00; 0,00)
5	27,9576	-15,99	-785,41	0,56	23,00	18,0	0,0	(0,00; 0,00)
6	33,6333	-14,40	-853,07	0,55	23,00	18,0	0,0	(0,00; 0,00)
7	39,1120	-12,82	-885,29	0,55	24,00	34,0	0,0	(0,00; 0,00)
8	44,3977	-11,26	-883,75	0,54	25,00	50,0	0,0	(0,00; 0,00)
9	49,4936	-9,70	-850,11	0,54	25,00	50,0	0,0	(0,00; 0,00)
10	54,4026	-8,15	-785,96	0,54	25,00	50,0	0,0	(0,00; 0,00)
11	59,1271	-6,60	-692,85	0,54	25,00	50,0	0,0	(0,00; 0,00)
12	63,6690	-5,06	-572,31	0,54	25,00	50,0	0,0	(0,00; 0,00)
13	68,0298	-3,52	-425,84	0,54	25,00	50,0	0,0	(0,00; 0,00)
14	72,2267	-1,98	-255,00	0,53	25,00	50,0	0,0	(0,00; 0,00)
15	76,5506	-0,45	-61,35	0,53	25,00	50,0	0,0	(0,00; 0,00)
16	80,7979	1,08	155,76	0,53	25,00	50,0	0,0	(0,00; 0,00)
17	84,8461	2,62	395,12	0,54	25,00	50,0	0,0	(0,00; 0,00)
18	88,6949	4,15	655,10	0,54	25,00	50,0	0,0	(0,00; 0,00)
19	92,3433	5,69	934,07	0,54	25,00	50,0	0,0	(0,00; 0,00)
20	95,7898	7,24	1230,36	0,54	25,00	50,0	0,0	(0,00; 0,00)
21	99,0326	8,78	1542,28	0,54	25,00	50,0	0,0	(0,00; 0,00)
22	102,0694	10,34	1868,14	0,54	25,00	50,0	0,0	(0,00; 0,00)

23	104,8973	11,90	2206,18	0,55	25,00	50,0	0,0	(0,00; 0,00)
24	107,5129	13,47	2554,61	0,55	25,00	50,0	0,0	(0,00; 0,00)
25	109,9122	15,06	2911,60	0,55	25,00	50,0	0,0	(0,00; 0,00)
26	112,0907	16,65	3275,22	0,56	25,00	50,0	0,0	(0,00; 0,00)
27	114,0429	18,26	3643,51	0,56	25,00	50,0	0,0	(0,00; 0,00)
28	115,7629	19,88	4014,41	0,57	25,00	50,0	0,0	(0,00; 0,00)
29	117,2437	21,52	4385,75	0,57	25,00	50,0	0,0	(0,00; 0,00)
30	118,4774	23,18	4755,25	0,58	25,00	50,0	0,0	(0,00; 0,00)
31	119,4550	24,86	5120,52	0,59	25,00	50,0	0,0	(0,00; 0,00)
32	120,1662	26,56	5478,98	0,60	25,00	50,0	0,0	(0,00; 0,00)
33	120,5993	28,29	5827,89	0,61	25,00	50,0	0,0	(0,00; 0,00)
34	120,7409	30,04	6164,28	0,62	25,00	50,0	0,0	(0,00; 0,00)
35	120,5756	31,83	6484,95	0,63	25,00	50,0	0,0	(0,00; 0,00)
36	153,0399	33,66	8649,71	0,65	25,00	50,0	0,0	(0,00; 0,00)
37	147,8663	35,53	8762,81	0,66	25,00	50,0	0,0	(0,00; 0,00)
38	142,3178	37,45	8824,31	0,68	25,00	50,0	0,0	(0,00; 0,00)
39	136,3653	39,42	8829,23	0,70	25,00	50,0	0,0	(0,00; 0,00)
40	129,9743	41,44	8771,93	0,72	25,00	50,0	0,0	(0,00; 0,00)
41	123,1030	43,53	8645,85	0,74	25,00	50,0	0,0	(0,00; 0,00)
42	115,7005	45,70	8443,33	0,77	25,00	50,0	0,0	(0,00; 0,00)
43	107,8259	47,95	8164,50	0,80	25,00	50,0	0,0	(0,00; 0,00)
44	99,9340	50,31	7841,13	0,84	25,00	50,0	0,0	(0,00; 0,00)
45	91,4264	52,79	7424,51	0,89	25,00	50,0	0,0	(0,00; 0,00)
46	82,0897	55,42	6891,66	0,95	25,00	50,0	0,0	(0,00; 0,00)
47	71,7461	58,24	6220,33	1,02	24,00	34,0	0,0	(0,00; 0,00)
48	60,1324	61,31	5378,71	1,12	23,00	18,0	0,0	(0,00; 0,00)
49	46,8262	64,71	4317,38	1,26	23,00	18,0	0,0	(0,00; 0,00)
50	31,0605	68,63	2949,53	1,47	23,00	18,0	0,0	(0,00; 0,00)
51	11,2185	73,26	1095,48	1,86	23,00	18,0	0,0	(0,00; 0,00)

Resistenza a taglio paratia= 0,0000 [kN]

$\Sigma W_i = 8893,7850$ [kN]

$\Sigma W_i \sin \alpha_i = 3401,6848$ [kN]

$\Sigma W_i \cos \alpha_i \tan \phi_i = 3539,1666$ [kN]

$\Sigma c_i b_i / \cos \alpha_i = 2836,4801$ [kN]

Dichiarazioni secondo NTC 2018 (punto 10.2)

Analisi e verifiche svolte con l'ausilio di codici di calcolo

Il sottoscritto, in qualità di calcolatore delle opere in progetto, dichiara quanto segue.

Tipo di analisi svolta

L'analisi strutturale e le verifiche sono condotte con l'ausilio di un codice di calcolo automatico. La verifica della sicurezza degli elementi strutturali è stata valutata con i metodi della scienza delle costruzioni. L'analisi strutturale è condotta con l'analisi statica non-lineare, utilizzando il metodo degli spostamenti per la valutazione dello stato limite indotto dai carichi statici. L'analisi strutturale sotto le azioni sismiche è condotta con il metodo dell'analisi statica equivalente secondo le disposizioni del capitolo 7 del DM 17/01/2018.

L'analisi strutturale viene effettuata con il metodo degli elementi finiti, schematizzando la struttura in elementi lineari e nodi. Le incognite del problema sono le componenti di spostamento in corrispondenza di ogni nodo (3 spostamenti e 3 rotazioni).

La verifica delle sezioni degli elementi strutturali è eseguita con il metodo degli Stati Limite. Le combinazioni di carico adottate sono esaustive relativamente agli scenari di carico più gravosi cui l'opera sarà soggetta.

Origine e caratteristiche dei codici di calcolo

Titolo	PAC 3D - Analisi e Calcolo Paratie
Versione	16.0
Produttore	Aztec Informatica srl, Casali del Manco - Loc. Casole Bruzio (CS)
Utente	AXIS ENGINEERING S.R.L.
Licenza	AIU5867W1

Affidabilità dei codici di calcolo

Un attento esame preliminare della documentazione a corredo del software ha consentito di valutarne l'affidabilità. La documentazione fornita dal produttore del software contiene un'esauriente descrizione delle basi teoriche, degli algoritmi impiegati e l'individuazione dei campi d'impiego. La società produttrice Aztec Informatica srl ha verificato l'affidabilità e la robustezza del codice di calcolo attraverso un numero significativo di casi prova in cui i risultati dell'analisi numerica sono stati confrontati con soluzioni teoriche.

Modalità di presentazione dei risultati

La relazione di calcolo strutturale presenta i dati di calcolo tale da garantirne la leggibilità, la corretta interpretazione e la riproducibilità. La relazione di calcolo illustra in modo esaustivo i dati in ingresso ed i risultati delle analisi in forma tabellare.

Informazioni generali sull'elaborazione

Il software prevede una serie di controlli automatici che consentono l'individuazione di errori di modellazione, di non rispetto di limitazioni geometriche e di armatura e di presenza di elementi non verificati. Il codice di calcolo consente di visualizzare e controllare, sia in forma grafica che tabellare, i dati del modello strutturale, in modo da avere una visione consapevole del comportamento corretto del modello strutturale.

Giudizio motivato di accettabilità dei risultati

I risultati delle elaborazioni sono stati sottoposti a controlli dal sottoscritto utente del software. Tale valutazione ha compreso il confronto con i risultati di semplici calcoli, eseguiti con metodi tradizionali. Inoltre sulla base di considerazioni riguardanti gli stati tensionali e deformativi determinati, si è valutata la validità delle scelte operate in sede di schematizzazione e di modellazione della struttura e delle azioni.

In base a quanto sopra, io sottoscritto asserisco che l'elaborazione è corretta ed idonea al caso specifico, pertanto i risultati di calcolo sono da ritenersi validi ed accettabili.

Luogo e data

Il progettista

Ing. Gianluca Terrosi - Arch. Roberta Meniconi